

Vol. 16. No. 5. 1968

КФЖ

KÖZLEMÉNYEK

ОБОБЩЕНИЯ ЦЕНТРАЛЬНОГО ИНСТИТУТА ФИЗИЧЕСКИХ ИССЛЕДОВАНИЙ
REPORTS OF THE CENTRAL RESEARCH INSTITUTE FOR PHYSICS

Szerkeszti: Ádám András

Редактор: А.Адам

Editor: A. Ádám

MTA KÖZPONTI FIZIKAI KUTATÓ INTÉZET KÖNYVTÁR- ÉS KIADÓI OSZTÁLYA
БИБЛИОТЕКА И ИЗДАТЕЛЬСКИЙ ОТДЕЛ
ЦЕНТРАЛЬНОГО ИНСТИТУТА ФИЗИЧЕСКИХ ИССЛЕДОВАНИЙ ВЕНГЕРСКОЙ АКАДЕМИИ НАУК
HUNGARIAN ACADEMY OF SCIENCES
CENTRAL RESEARCH INSTITUTE FOR PHYSICS LIBRARY AND DOCUMENTATION DEPARTMENT
BUDAPEST, 114. POB 49.

Technikai szerkesztő: Nagy Imréné
Megjelent: 1968. okt. 5.

Példányszám: 320
Rotaszám: 3981

A kiadásért felelős: Jánossy Lajos

Megjelenik: kéthavonta
Előfizethető a 173.144-52. MNB bevételi számlán
Előfizetési díj: egyes szám 5,-Ft, egy évre: 30,-Ft /6 szám/

Vol. 16. No. 5. 1968.

TARTALOM

1. Bagyinszki János és Viszt Éva: Digitális rendszerek logikai tervezéséről 289
2. Kovács István, Nagy László, Nagy Tibor és Vinnay István: A hármas hasadás hasadási termékeinek szög-anizotrópiája U-235 és U-238 esetén 325
3. Ádám András és Jéki László: Megjegyzések az $/n, 2n/$ reakciók hatáskeresztmetszetének hőj-effektusáról 331
4. Vajda Ferenc: Digitális spektrumstabilizátor vizsgálata 337
5. Elek Antal, Bogános János és Szabó Elek: Szubsztöchiometrikus és csoportos elválasztások fémkelátok extrakciójával 351
6. Deme Sándor, Makra Zsigmond és Veres Zoltán: Grafit prizma alkalmazott neutronfizikai mérésekhez 357

РЕЗЮМЕ

1. Об оболочечном эффекте в сечениях реакций ($n, 2n$)

А.Адам, Л.Йэки

Показано, что с учетом оболочечного эффекта энергии порога реакции сечение реакций ($n, 2n$) можно определить выражением, зависящим только от параметров симметрии $\frac{N-Z}{A}$. Хорошее совпадение рассчитанных значений сечения с экспериментальными данными показывает, что действие оболочечного эффекта параметра плотности ядерных уровней a и действие энергии спаривания b при настоящей точности экспериментальных данных не обнаруживаются в сечениях реакций ($n, 2n$).

2. Угловая анизотропия осколков тройного деления при $u-235$ и $u-238$

И.Ковач, Л.Надь, Т.Надь и И.Виннаи

С помощью полупроводниковых детекторов была измерена угловая анизотропия осколков тройного деления. Измерения были проведены на $u-235$ облучением нейтронами с энергией 2,5 и 14 Мэв, и на $u-238$ с 14 Мэв. В случае нейтронов с энергией 14 Мэв получена анизотропия больше, чем анизотропия осколков двойного деления. При 2,5 Мэв обе анизотропии оказались равными.

3. Графитовая призма для прикладных нейтронно-физических измерений

Ш.Деме, Ж.Макра и Э.Вереш

Нами построена графитовая призма с размерами 180см x 180см x 240см для исследований по прикладной нейтронной физике. Призма может быть применена для калибровки различных нейтронных детекторов, например активационных фольг и счетчиков. При изменении взаимного положения источника нейтронов и детектора, а также положения относительно призмы, спектр и поток использованных нейтронов изменяется в широких пределах. Поток медленных нейтронов определяется путем расчета при известном выходе источника или непосредственно путем измерения. С по-

мощью призмы легко и с удовлетворительной точностью можно сравнивать выход различных источников нейтронов. В будущем призма будет нами использована в первую очередь для калибровки нейтронных дозиметров широкого энергетического диапазона.

4. Субстехиометрические и групповые разделения с помощью экстракции хелатов металлов

А. Элек, Я. Боганч и Э. Сабо

В статье сообщаются соображения в связи с разработкой нового метода сепарации металлов, основанного на принципе субстехиометрии. Название метода указывает на проведение субстехиометрической сепарации какого-то металла совместно с количественной экстракцией многих металлов. Обсуждается необходимость разработки метода. Выведены формулы для порогового значения pH и для охарактеризования селективности разделения.

5. О логическом планировании цифровых систем

Я. Бадински и Е. Вист

В первой части статьи излагаются теоретические основы, в дальнейшем показывается их непосредственная связь с комбинационными сетями. Под названием "минимализации" подразумевается одна из общих формулировок проблемы минимума. Рассматриваются алгоритмы для нахождения тупиковых или минимальных выражений. Отдельно занимаемся вопросом минимализации с помощью ЦВМ и даем блок-схему двух программ, которые были исследованы на ЦВМ 1СТ-1905.

6. Исследование цифрового стабилизатора спектра

Ф. Вайда

Были проведены расчеты для определения важнейших параметров цифрового стабилизатора спектра, выработанного Электронным Отделом. Применение приспособления приводит к расширению опорного пика также и в стационарном случае, однако это зависит от рассеяния распределения колебания, вмешивающегося сигнала, данного регулятором, и так возможно хорошо контролировать и ограничивать. Если изменение параметра, причиняющего погрешность является постоянным по времени, величина сдвига пика зависит от скорости сигнала, обозначающего погрешность, определенной в следующей форме: поправочная величина шага

среднее время между отсчетами

и редуцируется практически до какой-угодно малой величины, соответствующим выбором параметров регулирующей системы. Результаты исследования созданного приспособления хорошо совпадают с рассчитанными значениями.

S u m m a r i e s

1. Importance of the Shell Effect in the /n,2n/ Reaction Cross Section
A. Ádám and L. Jéki

It is shown that if the shell effect of the threshold energy for reaction is taken into account, the /n,2n/ reaction cross section can be described by a phenomenological equation which is a function of the symmetry parameter $\frac{N-Z}{A}$, only. The thus predicted cross section values are in good agreement with the experimental data, indicating thereby that the shell effect of the level density parameter a and the effect of the pairing energy δ do not appear in the value of the /n,2n/ cross section within the systematical error of the measurement.

2. Angular Anisotropy of Fragments from Ternary Fission of U-235 and U-238
I. Kovács, L. Nagy, T. Nagy, I. Vinnay

Angular anisotropy measurements on fragments from ternary fission are reported. Semiconductor technique was used. The bombarding neutron energies were 14 MeV for U-238 and 2,5 MeV or 14 MeV for U-235. Using 14 MeV neutrons, the angular anisotropy was found to be higher than, while for 2,5 MeV neutrons similar to that observed for binary fission.

3. Graphite Prism for Applied Neutron Physical Measurements
S. Deme, Zs. Makra, Z. Veres

A graphite prism, with the dimensions 180 cm by 180 cm by 240 cm, is described. The prism will be used for applied neutron physical measurements, such as the calibration of detectors and the determination of the yield of neutron sources. By varying the location of the neutron source and/or the detector, the spectrum as well as the flux of neutrons can be varied in a wide range. The flux can be evaluated from

the activation of foils, or when a source of known yield is used, by calculation, too. The prism is applicable for the intercomparison of various neutron sources. The prism will be used primarily for the calibration of neutron survey equipment covering a wide range of energies.

4. Substoichiometric and Group Separations by Metal Chelate Extractions

A. Elek, J. Bogáncs, E. Szabó

The theory of a new separation method based on the substoichiometric principle is discussed. The name of the method implies the substoichiometric separation of a given metal with the simultaneous quantitative extraction of a group of other metals. It is shown why the development of the method is needed and the general relations determining the threshold value of pH and the selectivity of the separation are formulated.

5. Logic Design of Digital Systems

J. Bagyinszki and Éva Viszt

Theoretical considerations on the logic design of digital systems are presented with particular regard to the direct relationships with combination switching networks. A general formulation of the minimum problem is given and the algorithm for irredundant forms is discussed. The minimization by computer is dealt with separately and two schematic programs for ICT-1905 computer are described.

6. Investigation of a Digital Spectrum Stabilizer

F. Vajda

Calculations have been performed for estimating the main performance parameters of the digital spectrum stabilizer developed in the Electronic Department. The broadening of the reference peak, observable when the stabilizer is applied, even in the stationary case, is a function of the variance of the actuating signal distribution, only. Thus it can be kept under control and minimized. If the parameter responsible for the error changes at a constant rate, the drift of the peak position is determined by the drift rate, defined as correction step per mean value of the intervals between counts. With an appropriate choice of the control system parameters, the drift rate can be kept as small as required. The results obtained in a test were found to be in good agreement with the estimations.

DIGITÁLIS RENDSZEREK LOGIKAI TERVEZÉSÉRŐL

Irta: Bagyinszki János és Viszt Éva

Összefoglalás

Az első részben az elméleti alapok megadása található, majd rámutatunk ezek közvetlen kapcsolatára a kombinációs hálózatokkal. "Minimalizáció" címszó alatt a minimum-probléma egy általános megfogalmazása található, majd irredundáns kifejezések keresésére vonatkozó algoritmust tárgyaljuk. Külön foglalkozunk a gépi minimalizáció kérdésével és közöljük a két, ICT 1905-ös számológépre elkészített program blokk-sémáját.

Bevezetés

A témakör aktualitását az a tény emeli ki, hogy míg az automatizálás rohamos térhódításával egyre nagyobb jelentőségre tesznek szert a digitális működésű készülékek, ugyanakkor, bár hazánkban is számos intézetben foglalkoznak logikai tervezéssel, a tervezés elméleti alapjait kevesen ismerik, s így nem minden esetben az optimális megoldások valósulnak meg.

A dolgozatban mérnöki szempontból talán a szokásosnál kissé "matematikusabb" megfogalmazásban tárgyaljuk a témát, ügyelve azonban arra, hogy ez ne menjen az érthetőség rovására.

A műszaki gyakorlatból ismert kifejezések, mint pl. hálózat, kapcsolóelem, stb. definíció nélkül szerepelnek a dolgozatban.

I. Boole-algebra

1. Definíció. Ha az L /véges/ halmazon értelmezett két, ① és ② idempotens, kommutatív, asszociatív műveletre $a \circ a = a$, $a \circ b = b \circ a$, $a \circ (b \circ c) = (a \circ b) \circ c$; $a \circ$ jelenti ① és ② műveletek bármelyikét, de egy azonosságon belül csak az egyiket/ - melyek egymás duáljai - érvényes az

$$(a \text{ ① } b) \text{ ② } a = a \quad /a, b \in L/$$

elnyelési tulajdonság, akkor ezt a kétműveletes strukturát hálónak nevezzük.

Jelölje $A = \{A_r\}$ az L -re vonatkozó igaz állítások halmazát. A hálóelméleti dualitás elve azt mondja ki, hogy A -val együtt annak $D(A)$ duálisa is igaz állítások halmaza.

A hálók egy sokat vizsgált osztályát képezik a disztributív hálók.

2. Definíció. Az olyan L hálót, amelyben tetszőleges $a, b, c \in L$ esetén teljesül az

$$a \textcircled{1} (b \textcircled{2} c) = (a \textcircled{1} b) \textcircled{2} (a \textcircled{1} c)$$

azonosság, disztributív hálónak nevezzük.

Minden véges hálóban van egység és zéruselem; disztributív hálóban ezek egyértelműek/ $e \textcircled{1} a = a$, $0 \textcircled{2} a = a /$.

3. Definíció. Az a elem komplementumának nevezzük x -et, ha $a \in L$ -hez létezik olyan x , hogy

$$\begin{aligned} a \textcircled{1} x &= e \\ &\text{és} \\ a \textcircled{2} x &= 0 \end{aligned}$$

ahol e és 0 jelölik az egység, illetve a zéruselemét L -nek. Jelöljük: $x = a'$ vagy $x = \bar{a}$.

4. Definíció. A komplementumos, disztributív hálót Boole-algebrának nevezzük.

Megjegyezzük, hogy az így definiált Boole-algebrában az idempotencia a többi axióma következménye.

Bizonyítás nélkül megadunk néhány tételt, amelyeket a későbbiekben felhasználunk:

5. Tétel. a' egyértelmű.

6. Tétel. $a'' = a$

7. Tétel. $a \textcircled{1} (a' \textcircled{2} b) = a \textcircled{1} b$

8. Tétel. Boole-algebrában teljesül a De Morgan azonosság:

$$(a \textcircled{1} b)' = a' \textcircled{2} b'$$

9. Példa. Legyen $L = \{0,1\}$. Értelmezzük az $\textcircled{1}$ és $\textcircled{2}$ műveleteket, jelöljük $+$ és \circ .

+	0	1
0	0	1
1	1	1

o	0	1
0	0	0
1	0	1

Komplementum képzés:

$$0' = 1$$

$$1' = 0$$

Jelöljük ezt a Boole-algebrát A -val
[11, 18].

II. Boole-függvények

1. Definíció. Az $f(x_1, \dots, x_n)$ n -változós Boole-függvény a $\{0,1\}$ halmaz n -szeres Descartes szorzatának /jelölése: H^n / egyértelmű leképezése a $\{0,1\}$ halmazra.

Az n -változós Boole-függvények száma tehát 2^{2^n} . Jelöljük ezt a halmazt F_n -nel.

Értelmezzük a $+$ és \circ műveleteket, valamint a komplementum képzését F_n -ben.

2. Definíció. Legyen $f, g, h \in F_n$, $f + g = h$ akkor és csak akkor, ha $f(x_1, \dots, x_n) + g(x_1, \dots, x_n) = h(x_1, \dots, x_n)$ az összes $(x_1, \dots, x_n) \in H^n$ -re, ahol a függvényértékek összegét megadja az 1. pontban a 9. példában szereplő A Boole-algebránál definiált $+$ művelet. Az $f \circ g = h$ és az $\bar{f} = g / \bar{f}$ az f negáltját jelöli/ hasonlóan definiálható.

3. Tétel. F_n Boole-algebrát alkot az így definiált $+$ és \circ műveletekkel.

Az F_n vizsgálata kapcsán felmerül a Boole-függvények teljes rendszereinek kérdése.

4. Definíció. Boole-függvények egy S rendszerét funkcionálisan teljesnek nevezzük, ha tetszőleges $f(x_1, \dots, x_n)$ n -változós Boole-függvény előállítható az S rendszer elemeinek és az x_1, x_2, \dots, x_n változók szuperpozíciójaként, mindegyiket véges sokszor figyelembe véve.

5. Definíció. Két függvény szuperpozícióján az a függvény értendő, amelyik úgy keletkezik, hogy az egyik függvény valamely változója helyébe a másik függvényt helyettesítjük, azaz összetett függvényt képezünk. Kettőnél több függvény esetére a definíció úgy általánosítható, hogy a külső függvény argumentumában szereplő belső függvény is lehet összetett függvény.

6. Definíció. Boole-függvények egy S rendszerét bázisnak nevezzük, ha teljes rendszer és egyetlen valódi részhalmaza sem teljes.

A teljes rendszerek vizsgálatához szükséges a Boole-függvények néhány nevezetes osztályának áttekintése.

A Boole-függvények osztályai

1. A konstans 0-t őrző függvények osztálya

7. Definíció. Az $f(x_1, \dots, x_n)$ Boole-függvényt konstans 0-t őrzőnek nevezük, ha $f(0, 0, \dots, 0) = 0$ igaz.

Számuk: $2^{2^n - 1}$

8. Tétel. Tetszőleges számú konstans 0-t őrző függvény szuperpozíciója is 0-t őrző függvény.

2. A konstans 1-et őrző függvények osztálya

9. Definíció. Az $f(x_1, \dots, x_n)$ Boole-függvény konstans 1-et őrző, ha $f(1, 1, \dots, 1) = 1$ igaz.

Számuk: $2^{2^n - 1}$

10. Tétel. Tetszőleges számú 1-et őrző függvény szuperpozíciója is 1-et őrző.

3. Az önmagával duális függvények osztálya

11. Definíció. Az $f(x_1, \dots, x_n)$ Boole-függvényt önmagával duálisnak nevezük akkor, ha

$$f(x_1, \dots, x_n) = \bar{f}(\bar{x}_1, \dots, \bar{x}_n)$$

Számuk: $2^{2^{n-1}} = \sqrt{2^{2^n}}$

12. Tétel. Tetszőleges számú önmagával duális függvény szuperpozíciója is önmagával duális.

4. A lineáris függvények osztálya

13. Definíció. Az $f(x_1, \dots, x_n)$ Boole-függvényt lineárisnak nevezük, ha kanonikus polinómja lineáris, azaz $f(x_1, \dots, x_n) = a_0 \oplus a_1 x_1 \oplus \dots \oplus a_n x_n$ ahol $a_i \in \{0, 1\}$ és \oplus a mod 2 összeadást jelenti.

Számuk: 2^{n+1}

14. Tétel. Tetszőleges számú lineáris függvény szuperpozíciója is lineáris.

5. A monoton függvények osztálya

15. Definíció. Az $f(x_1, \dots, x_n)$ Boole-függvényt monoton növénynek nevezzük, ha $(x_1, \dots, x_n) \leq (y_1, \dots, y_n)$ esetén $f(x_1, \dots, x_n) \leq f(y_1, \dots, y_n)$ áll fenn, ahol (x_1, \dots, x_n) bináris vektorról azt mondjuk, hogy nem nagyobb az (y_1, \dots, y_n) bináris vektornál, ha $x_i \leq y_i$ fennáll $i=1, 2, \dots, n$ -re.

Számuk: ismeretlen, csak asszimptotikus becslések ismertek.

16. Tétel. Véges számú monoton függvény szorzata és összege is monoton.

17. Tétel. Tetszőleges számú monoton függvény szuperpozíciója is monoton.

18. Tétel. Annak szükséges és elégséges feltétele, hogy Boole-függvények egy S rendszere funkcionálisan teljes legyen az, hogy S tartalmazzon legalább egy függvényt, amelyik nem őrzí a konstans 0-t, egyet, amelyik nem őrzí a konstans 1-et, egyet, amelyik nem önmagával duális, egyet, amelyik nem lineáris és végül egyet, amelyik nem monoton.

19. Következmény. Minden minimális rendszer legfeljebb öt függvényből áll. Érvényes ennél a következménynél egy erősebb tétel is.

20. Tétel. Minden minimális teljes Boole-függvény rendszer legfeljebb 4 függvényből áll.

21. Példa. Háromváltozós esetben egy minimális teljes rendszer

$$f_1 = 0, \quad f_2 = 1, \quad f_3 = x_1 x_2, \quad f_4 = x_1 + x_2 + x_3$$

Mindezeket figyelembe véve elvileg könnyű megállapítani az n -változós Boole-függvények között az összes teljes rendszert. Ki kell választani azokat a függvényeket, amelyek nem monotonok, nem lineárisak, nem konstans 0-t vagy 1-et őrzők, nem önduálisak és minden osztályból venni kell legalább egyet.

Az a probléma, hogy egy adott Boole-függvényt előállítsunk más - általában egyszerűbb - Boole-függvények és a változók szuperpozíciójaként, felmerül logikai áramkörök tervezésénél is. Ennek a területnek vizsgálától és az eredmények logikai tervezésben, pontosabban a Boole-kifejezések minimalizálásában való alkalmazásától várhatjuk, hogy a minimalizálás sok változós és bonyolult rendszerek esetére is közelebb kerülhet a gyakorlati igényekhez.

[2, 9, 11, 18].

III. Boole-kifejezések

Legyen n természetes szám, legyen

$$\mathcal{L} = \{0, 1, x_1, \dots, x_n, \bar{x}_1, \dots, \bar{x}_n\}$$

$2n + 2$ elemű halmaza a $0, 1$ számoknak és az $\tilde{x}_1, \dots, \tilde{x}_n$ betűknek, ahol \tilde{x}_i vagy x_i vagy \bar{x}_i / $1 \leq i \leq n$ /. Értelmezzünk \mathcal{L} -en két műveletet $\boxed{1}$ és $\boxed{2}$ -t. Megjegyezzük, hogy ha $\boxed{1}$ és $\boxed{2}$ műveletekre egyaránt érvényes valamely azonosság, akkor a \square jelölést alkalmazzuk.

1. Definíció. \mathcal{L} fölötti Boole-kifejezésen vagy egyszerűen kifejezésen a következőt értjük:

1/ \mathcal{L} minden eleme kifejezés

2/ Ha A és B kifejezések, akkor $A \square B$ is az, $(A) \boxed{1} (B) \neq (A) \boxed{2} (B)$

2. Definíció. α átmenet leképezés, amely megvalósítja a Boole-kifejezésben szereplő betűk halmazának leképezését a H^n halmazba.

3. Definíció. $|A|_\alpha$ az A Boole-kifejezés értéke az α átmenet leképezés esetén a következőképpen definiálható rekurzive:

1/ $|0|_\alpha = 0, \quad |1|_\alpha = 1$

2/ Ha x_i egy betű, akkor $|x_i|_\alpha = \alpha(x_i) \quad i = 1, 2, \dots, n$

3/ Ha A egy kifejezés, $|\bar{A}|_\alpha = 1$ akkor és csak akkor, ha $|A|_\alpha = 0$.

4/ Ha A és B kifejezések, akkor $|A \boxed{1} B|_\alpha = 1$ akkor és csak akkor, ha $|A|_\alpha = 1$ vagy $|B|_\alpha = 1$.

5/ Ha A és B kifejezések, $|A \boxed{2} B|_\alpha = 1$ akkor és csak akkor, ha $|A|_\alpha = |B|_\alpha = 1$.

4. Definíció. Két Boole-kifejezés, A és B ekvivalens, ha minden α esetén

$$|A|_\alpha = |B|_\alpha$$

Jelöljük: $A \equiv B$

Boole-kifejezések között definiált ekvivalencia egy ekvivalencia reláció.

Elvégezve a Boole kifejezések egy kompatibilis osztályozását e szerint az ekvivalencia reláció szerint 2^{2^n} ekvivalencia osztályt nyerünk.

5. Tétel. A nem ekvivalens Boole-kifejezések, pontosabban a Boole-kifejezések ekvivalencia osztályai Boole-algebrát alkotnak.

Jelölése: B_n

6. Tétel. Az érték (11) egy-egy értelmű leképezést létesít a B_n és F_n között, ahol ha A egy Boole-kifejezés, akkor $|A| = \bigcup_\alpha (\alpha, |A|_\alpha)$.

A tétel azt jelenti, hogy F_n elemei, vagyis a Boole-függvények reprezentálhatók Boole-kifejezésekkel és ekvivalens Boole-kifejezések ugyanazt a függvényt reprezentálják. Ez a tétel képezi elvi alapját annak a gyakorlatnak, hogy egy Boole-függvény leírásakor az ekvivalensek közül a minimálisat választjuk.

Ahhoz, hogy a minimum feltételt pontosan megfogalmazzuk, még szükségesek további fogalmak.

7. Definíció. Egy A kifejezés $\ell(A)$ hosszát a következőképpen definiáljuk rekurzíve:

1/ $\ell(A) = 1$ ha $A \in \mathcal{L}$

2/ $\ell(A) = \ell(B) + \ell(C)$ ha $A = B \boxplus C$

8. Definíció. Legyen adott $A = \bigsqcup_{i=1}^r A_i$ Boole-kifejezés, A_j -t az A kifejezés első fokú komponensének nevezzük. /A kifejezés önmagának zérus fokú komponense/.

9. Definíció. s - vagy összeg-típusának nevezzük A -t, ha $A = \sum_{i=1}^r A_i$

alaku, p - vagy szorzat-típusának nevezzük A -t, ha $A = \prod_{i=1}^r A_i$ alaku.

10. Definíció. Az $F = \bigsqcup_{i=1}^r F_i$ kifejezés rendjét a következőképpen definiáljuk rekurzíve:

1/ $\omega(F) = 1 + \max \omega(F_j)$

2/ $\omega(x) = 1$ ha $x \in \mathcal{L} \setminus \{0,1\}$

Boole-kifejezések jelentősebb típusai

11. Definíció. Egy F kifejezés diszjunktív normál forma vagy polinom alak, ha F s-típusu, azaz

$$F = \sum_{i=1}^r F_i$$

és minden elsőfokú komponense a változók p-típusu kifejezése, azaz elemi konjunkció:

$$\prod_{k=1}^s x_{j_k}^{\alpha_k} \quad \begin{array}{l} j_k \in \{1,2,\dots,n\} \quad /1 \leq k \leq s/ \\ j_k \neq j_\ell \quad \text{ha } k \neq \ell \end{array}$$

12. Definíció. Egy F kifejezés kitüntetett diszjunktív normál forma, vagy

kanonikus polinom /KDNF/, ha $F = \sum_{i=1}^r F_i$ -ben $F_i \neq F_j$ ha $i \neq j$ és minden i-re $s = n$.

Értéktáblázatával adott Boole-függvényből KDNF a következő tétel alapján állitható elő:

13. Tétel. Ha $f(x_1, \dots, x_n)$ n -változós Boole-függvény, akkor

$$f(x_1, \dots, x_n) = \sum_{(i_1, \dots, i_n) \in V} f(i_1, \dots, i_n) x_1^{i_1} \dots x_n^{i_n}$$

ahol V az n -dimenziós bináris vektorok halmaza.

14. Definíció. A KDNF elemi konjunkcióit teljes elemi konjunkciónak nevezzük.

A fentiekhez hasonlóan értelemszerűen definiálható még a konjunktív normál forma és a kitüntetett konjunktív normál forma is.

[7, 11, 13, 18, 23, 26].


IV. Kombinációs kapcsoló hálózatok, szintézis és analízis

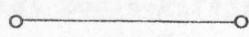
A Boole-kifejezések és a műszaki realizáció közötti kapcsolatot fogjuk megadni, áramköri megvalósítás nélkül.

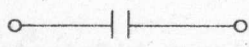
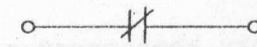
1. Definíció. Egy olyan hálózatot, amelynek a t időpontban a kimenetei csak a t időpontban felvett bemeneti értékektől függenek, kombinációs kapcsoló hálózatnak nevezzük.

2. Definíció. Egy olyan hálózatot, melynek a t időpontban a kimenetei az összes p ($0 \leq p \leq t$) időpontban felvett bemeneti értékektől függenek, szekvenciális hálózatnak /gépnek, automatának/ nevezzük. /Kauzalitási feltétel./

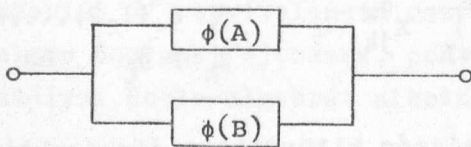
3. Definíció. Komplementálást csak változónként tartalmazó F Boole-kifejezések és N kétpólusu soros-parallel kapcsoló hálózatok között kölcsönösen egyértelmű leképezés létesíthető úgy, hogy $\phi(F) = N$, ahol ϕ a következőképpen definiált leképezés:

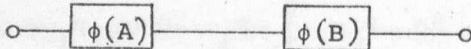
1/ $\phi(0)$: 

2/ $\phi(1)$: 

3/ $\phi(x_i)$:  és $\phi(\bar{x}_i)$:  ha

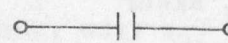
x_i változó

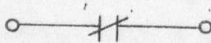
4/ $\phi(A+B)$:  és

$\phi(A \cdot B)$: 

ha A és B a

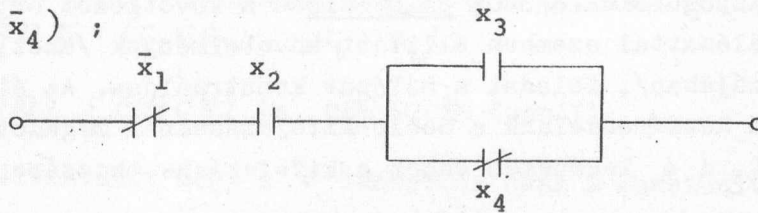
fenti értelemben megengedett Boole-kifejezések.

 jelöli a normál állapotban /áram mentes/ nyitott,

 pedig a zárt kapcsolót.

4. Példa.

$$F = \bar{x}_1 x_2 (x_3 + \bar{x}_4) ;$$



5. Definíció. Az x kapcsoló elemet kapu-típusnak nevezzük, hogy csak a bemenő pólusok bizonyos adott kombinációira ad a kimenő pólus jelet.

6. Definíció. Az x kapcsoló elemet ág-típusnak nevezzük, ha egy bemenettel és egy kimenettel rendelkezik.

7. Definíció. Ha N egy ág-típusú x_i / $i=1, 2, \dots, n$ elemekből konstruált kétpólusú hálózat, akkor N átviteli függvénye, f_N olyan Boole-függvény, amelynek értéke pontosan akkor 1, ha létezik zárt út a hálózat pólusai között.

A definícióból következik, hogy ha N az F_N -hez rendelt kétpólusú soros-parallel hálózat, akkor az F_N által reprezentált f_N Boole-függvény az N átviteli függvénye.

6. Definíció. Az N_1 és N_2 hálózatokat pontosan akkor tekintjük ekvivalensnek, ha $f_{N_1} = f_{N_2}$, azaz $F_{N_1} \equiv F_{N_2}$.

Jelöljük: $N_1 \equiv N_2$

7. Definíció. Legyen $F_N = \prod_i P_i$ a nem soros-parallel N kétpólusú hálózat-hoz tartozó Boole-kifejezés, ahol P_i a pólusok közti i -edik út mentén levő kapcsolóelemekhez tartozó betűk szorzata - "út-szorzat" - s az összegezés az összes útra vonatkozik. Akkor N átviteli függvénye az F_N által reprezentált f_N Boole-függvény.

Kapcsoló hálózatok analízise: konstruálandó az adott véges hálózat-hoz átviteli függvénye, azaz fel kell írni a hálózat-hoz rendelt Boole-kifejezést, erre vonatkozik a következő algoritmus.

8. Algoritmus.

1/ Kétpólusú ág-típusú hálózatoknál a ϕ leképezés egy Boole-kifejezéshez rendeli hozzá a hálózatot. Folytatás 4./-nél.

2/ Ha az ág-típusú hálózat k -pólusú, a $\binom{k}{2}$ póluspár mindegyikére alkalmazzuk a ϕ^{-1} leképezést. Folytatás 4./-nél.

3/ A k -kimenetű kapu-típusú hálózat esetén a k kimenet mindegyikére alkalmazzuk a ϕ^{-1} leképezést. Folytatás 5./-nél.

4/ Az átviteli függvényt visszaállítjuk az ekvivalens Boole-kifejezésekből.

Kapcsoló hálózatok szintézisén a következőt értjük: adottak a tervezendő hálózattal szemben állított követelmények /esetleg nem átviteli függvény formájában/, feladat a hálózat konstruálása. Az átviteli függvény felírása után hozzárendelünk a Boole-kifejezéseknél megadott módon egy Boole-kifejezést, a ϕ leképezés ehhez a kifejezéshez hozzárendeli a megfelelő hálózatot.

A kapcsoló hálózatok vizsgálatához nagyon hatásos ut a Boole-mátrix-analízis: erre azonban itt nem térünk ki.

[6, 11].

V. Minimalizáció

A szokásos szóhasználattal ellentétben nem a Boole-függvényt minimalizáljuk, hanem egy adott Boole-függvényhez megkeressük a vele ekvivalens Boole-kifejezések közül a minimálisat. A minimalizálási probléma általános precíz megfogalmazása a következő:

1. Definíció. Legyen adott az $x = \{x_1, x_2, \dots, x_n\}$ alaphalmazon értelmezett

$$f(x) = \{f_1(x), f_2(x), \dots, f_t(x)\}$$

Boole-függvény sorozat; $f(x)$ elemei lehetnek részben meghatározott Boole-függvények is. Tekintsük az $f_j(x)$ -t reprezentáló Boole-kifejezések

$$\{F_{j1}, F_{j2}, \dots, F_{ju_j}\} \quad /j=1, 2, \dots, t/$$

halmazát, ahol u_j az $f_j(x)$ -et reprezentáló különböző Boole-kifejezések száma.

Legyen továbbá adott a

$$c(F_{1i_1}, F_{2i_2}, \dots, F_{ti_t})$$

olyan leképezés, amely $f(x)$ -et reprezentáló kifejezéssorozatok halmazát a természetes számok egy véges részhalmazára képezi le egyértelmű módon.

Az

$$\mathcal{F}_0 = \{F_{1v_1}, F_{2v_2}, \dots, F_{tv_t}\}$$

kifejezés-sorozaton minimális a $c(\mathcal{F})$ leképezés, ha minden lehetséges \mathcal{F} -re áll, hogy

$$c(\mathcal{F}_0) \leq c(\mathcal{F})$$

A $c(\mathcal{F})$ leképezésről kézenfekvő megkövetelni a gyakorlatban jól teljesülő következő két feltételt:

1/ $c(\mathcal{F}) > c(\mathcal{G})$, valahányszor $\mathcal{F} = \mathcal{G} \square \mathcal{H}$, ahol \mathcal{G} és \mathcal{H} kifejezés-sorozatok $\mathcal{G} \square \mathcal{H} = \{G_1 \square H_1, \dots, G_t \square H_t\}$.

2/ $c(\mathcal{F} \square \mathcal{H}) > c(\mathcal{G} \square \mathcal{H})$ ha $c(\mathcal{F}) > c(\mathcal{G})$ fennáll.

2. Megjegyzés. Nyilvánvaló, hogy a C leképezés csak a monotonitás erejéig egyértelmű.

3. Definíció. Azokat az eljárásokat, amelyek az \mathcal{F}_0 minimum helyhez, illetve helyekhez vezetnek, minimalizáló eljárásoknak nevezzük.

A C leképezést, valamint az \mathcal{F} -ek halmazát alkalmasan választva, a már ismert minimalizáló eljárásokhoz jutunk.

1/ Ha az \mathcal{F} -ek halmazára nem teszünk semmi megkötést, akkor egy adott C leképezésre vonatkozó zárójeles minimális kifejezéseket, illetve az azokat előállító algoritmust nyerjük.

a/ Ha a C leképezés hosszjellegű, azaz

$$c(\mathcal{F}) = \sum_{j=1}^t l(F_{ji_j})$$

\mathcal{F} -re pedig áll 1/, akkor abszolút minimális kifejezéseket kapunk, illetve abszolút minimalizáló eljárást. Nyilvánvaló, hogy 2/ speciális esete 1/-nek.

3/ Ha a C leképezést oly módon választjuk meg, hogy teljesítse a megépítendő készülék költségére a gyakorlat által kirótt követelményeket, akkor C -t költségfüggvénynek nevezzük, s az algoritmust költség minimalizáló eljárásnak, az általa nyert kifejezéseket pedig költségminimális kifejezésekknek.

4/ Ha a C leképezés hosszjellegű és az \mathcal{F} elemei pedig csak a normálformák lehetnek, akkor kétszintes kifejezésekről, illetve klasszikus minimalizáló eljárásokról beszélünk.

Tekintsük most azt az esetet, amikor \mathcal{F} egyetlen Boole-függvényt reprezentáló kifejezések halmaza. Az ω rendű \mathcal{F} kifejezés komponensei legyenek: F_1, F_2, \dots, F_r ; $\mathcal{F} = \bigcap_{i=1}^r F_i$. A leképezést elég jól közelíti a követ-

kező rekurzió: $c(\mathcal{F}) = \psi_\omega(c(F_1), c(F_2), \dots, c(F_r))$: Megadását a mindenkori műszaki realizáció határozza meg; más a helyzet relés, diódás, tranzisztoros vagy ferrites elemek használata esetén, s más akkor, ha blokkokból vagy kártyákból, illetve integrált áramkörökből építjük fel a készüléket.

A rekurzió kezdő értékeit nyilvánvalóan e tényezők határozzák meg. A probléma alapja lényegében az, hogy a költségek /áramköri elemek árai, a készülékek megépítéséhez szükséges munkabér stb./ direkt módon áramköri szinten jelentkeznek, s ezt akarjuk közelítőleg leírni logikai szinten. Ezért célszerűnek látszik /különösen nagyobb volumenű gyártás esetén/ a költségfüggvényt a méréskiértékelések valószínűség-elméletéből ismert empirikus módszerekkel meghatározni. Minthogy a logikai szintet jelenleg lényegében az ÉS, VAGY, INVERTER szintek száma /a kifejezés rendje/ meghatározza /az áramköri terhelhetőségi feltételekkel együtt/, ezért a fent megadott típusu költségfüggvényre sok, viszonylag nagyméretű elektronikus készülék adataiból következtethetünk a gyakorlatot "átlagosan" legjobban megközelítő elméleti költségfüggvényre.

A klasszikus minimalizáló eljárások alapját a Quine algoritmus képezi. Mielőtt az algoritmus ismertetésére rátérnénk, szükséges néhány alapvető fogalom bevezetése.

4. Definíció. Egy bináris vektor sulyán a benne szereplő 1-esek számát értjük. Jelöljük w -vel.

5. Definíció. Egy $E = X_1^{\alpha_1} \dots X_k^{\alpha_k}$ k -hosszúságú elemi konjunkciónak $E' = X_{i_1}^{\alpha_{i_1}} \dots X_{i_\ell}^{\alpha_{i_\ell}}$ /elemi/ részkonjunkciója, ha $\{x_{i_1}, \dots, x_{i_\ell}\} \subset \{x_1, \dots, x_k\}$.

6. Definíció. Egy $f(x_1, \dots, x_n)$ n -változós Boole-függvény P primimplikánsa egy olyan ℓ ($\ell \leq n$) hosszúságú elemi konjunkció, melyre teljesül $P \rightarrow f$ és nincs P -nek olyan P' részkonjunkciója, hogy $P' \rightarrow f$ is teljesülne.

Primimplikánsok elemi konjunkciókból az $x_i x_j + x_i \bar{x}_j = x_i$ azonosság felhasználásával nyerhetők.

7. Definíció. Az f függvény egy P primimplikánsát lényeges primimplikánsnak nevezük akkor és csak akkor, ha részkonjunkciója f egy E /teljes/ elemi konjunkciónak és nincs f -nek Q ($Q \neq P$) primimplikánsa, amely részkonjunkciója lenne E -nek.

8. Definíció. A lényeges primimplikánsok összegét az f függvény magjának nevezük.

9. Definíció. Egy primimplikánst, amelynek következménye a függvény magja, de maga nem lényeges primimplikáns, lényegtelen primimplikánsnak nevezük.

10. Tétel. Egy f Boole-függvény irredundáns előállításában az összes lényeges primimplikánsnak szerepelnie kell és lényegtelen primimplikáns nem szerepelhet benne.

11. Definíció. Azt a primimplikánst, amelyik sem nem lényeges, sem nem lényegtelen, választható primimplikánsnak nevezük.

12. Definíció. Egy f függvény rövidített diszjunktív normál formája /RDNF/ az f összes primimplikánsainak összege.

13. Definíció. Egy f függvény irredundáns diszjunktív normál formája /IDNF/ primimplikánsainak összege oly módon, hogy nem szerepel benne egyetlen olyan primimplikáns sem, hogy azt elhagyva a kifejezés ugyanazt a függvényt határozza meg.

14. Definíció. A minimális hosszúságú IDNF-eket minimális diszjunktív normálformának nevezzük /MDNF/.

Irodalomban az $\{IDNF\} \setminus \{MDNF\}$ -beli normálformákat zsákutcás diszjunktív normálformának nevezik.

Az így definiált fogalmaknak megadjuk egy topológikus megfeleltetést az n -dimenziós egységkockán.

Ábrázoljuk az

$$x_{j_1}^{a_{j_1 1}} \dots x_{j_s}^{a_{j_s s}} \quad x_j^{a_j} \in \{0,1\}, \quad s \leq n$$

$$a_j \in \{0,1\}$$

elemi konjunkciót a következőképpen: minden m -re, $m \in \{1,2,\dots,n\} \setminus \{j_1,\dots,j_s\}$ vegyük hozzá a konjunkcióhoz tényezőként $(x_m + \bar{x}_m)$ -t; az így kapott kifejezés ekvivalens az eredetivel. Hozzuk DNF-ra ezt a kifejezést. Minden elemi konjunkcióban szerepel negálva vagy negálatlanul az x_1 betű. Ily módon teljes elemi konjunkciókat nyertünk. Rendeljük hozzá minden teljes elemi konjunkcióhoz egy $(a_{j_1}, \dots, a_{j_n})$ bináris vektort; ez a hozzárendelés egy-egy értelmű és $(a_{j_1}, \dots, a_{j_n})$ $j=1,2,\dots,2^n$ az n -dimenziós egységkocka egy-egy csucsának felel meg.

A $+$ műveletnek pontthalmazok elviseitése felel meg. $K^0(\bar{f})$ jelölje az n -dimenziós egységkocka azon pontjainak halmazát, amelyen a függvény a 0 értéket veszi fel, $K^0(f)$ pedig, ahol a függvény értéke 1.

Egy l hosszúságú elemi konjunkciónak egy $(n-l)$ -ed rangu részkocka vagy intervallum felel meg, röviden $(n-l)$ -kocka.

Igy tehát a csucsoknak 0-kocka, élnek 1-kocka, négyzetnek 2-kocka a megfelelője stb.

Az n -dimenziós egységkocka egy r -részkockájának is megfeleltethetünk egy (a_1, \dots, a_n) n -dimenziós vektort $a_i \in \{0,1,x\}$, ahol az x -et azokhoz a változókhoz rendeljük, amelyek nem szerepelnek az r -kockában.

$K^1(f)$ -el jelöljük a $K^0(f)$ által generált 1 -kockákat, $K^2(f)$ -
el a $K^1(f)$ által generált 2 -kockákat, ..., $K^r(f)$ -el a $K^{r-1}(f)$
által generált r -kockákat.

$K(f) = \bigcup_{i=0}^{n-1} K^i(f)$ az f által generált i -kockák halmazát jelöli.
 $K^r(f)$ -et $K^{r-1}(f)$ -ből a $\delta_i(a_1, \dots, a_n)$ generátor segítségével
nyerjük.

15. Definíció. Legyen (a_1, \dots, a_n) , $a_i \in \{0, 1, x\}$ -kocka. $i=1, 2, \dots, n$ -re gene-
rátornak nevezzük a következő operátort:

$$\delta_i(a_1, \dots, a_n) = \begin{cases} \emptyset & \text{ha } a_i = x \\ (a_1, \dots, a_{i-1}, x, a_{i+1}, \dots, a_n) = b & \text{ha } a_i \neq x \\ \emptyset & \text{és } b \in K(f) \\ \emptyset & \text{ha } a_i = x \\ \emptyset & \text{és } b \notin K(f) \end{cases}$$

ahol \emptyset az üres kockát jelöli.

Példa: Legyen $f(x_1, x_2) = x_1x_2 + \bar{x}_1x_2 + x_1\bar{x}_2$

$$K^0(f) = \{(1,1), (0,1), (1,0)\}$$

$$K^1(f) = \{(x,1), (1,x)\}$$

$$\delta_1(1,1) = (x,1) \quad \delta_1(0,1) = (x,1)$$

$$\delta_2(1,1) = (1,x) \quad \delta_2(0,1) = \emptyset \quad \text{mivel } (0,0) \notin K^0(f)$$

Egy $n-1$ hosszúságú primimplikánsnak egy olyan r -dimenziós
részkocka - maximális részkocka - felel meg, amelyre teljesül, hogy
 $\delta_i W^r = \emptyset$ $i=1, 2, \dots, n$ esetén.

A lényeges primimplikánsnak egy olyan maximális részkocka felel
meg, amelynek nem létezik egyetlen olyan csucsa sem, amelyik egy másik
maximális részkockához hozzátartozik.

A kiválasztható primimplikáns olyan maximális részkocka, amelynek
van legalább egy olyan csucsa, amelyiket egy másik maximális részkocka is
lefed, de nem minden csucsa ilyen tulajdonságú.

A lényegtelen primimplikánsnak egy olyan maximális részkoeka a megfelelője, melynek minden csucsát lefedi más maximális részkoeka.

A rövidített diszjunktív normálformának $K^0(f)$ összes szóbjövő maximális rész-kockákkal való lefedése felel meg.

Az irredundáns diszjunktív normálformának egy olyan maximális részkoekákkal való lefedés felel meg, amelyben nincs egyetlen olyan részkoeka sem, amelyet elhagyva a megmaradók $K^0(f)$ -et még lefednék; nevezük ezt irredundáns lefedő rendszernek.

Minimális diszjunktív normálformának minimális rangösszegű maximális részkoekákkal való lefedés a megfelelője.

$Z = \bigcup_{i=0}^{n-1} Z^i$ jelölje a primkockák halmazát. / Z elemeiből alkotott diszjunktív normálforma az RDNF./

Legyen adva $f(x_1, \dots, x_n)$ $K^0(f)$ -el, Z számítására vonatkozik a Quine által adott algoritmus.

16. Algoritmus.

- 1/ Osztályozzuk $K^0(f)$ elemeit súly szerint. Jelöljük S_i -vel az i súlyú elemek halmazát.
- 2/ $i=0, 1, 2, \dots, (n-1)$ -re hasonlitsuk össze az S_i halmaz elemeit az S_{i+1} elemeivel. Ha találunk olyan S_i -beli elemet, amelyeknek valamely S_{i+1} -beli elemtől vett távolsága 1, akkor jelöljük meg ezeket az elemeket és képezzünk ebből a két elemből 1-kockát.
- 3/ Azok az elemek $K^0(f)$ -ből, amelyeket nem jelöltünk meg, Z^0 -ba kerülnek.
- 4/ $i = 1$
- 5/ Osztályozzuk az i -kockákat oly módon, hogy az x -el jelölt helyek egymás alá kerüljenek. Keressünk oszlopon belül 1 -távolságu elemeket, ha ilyeneket találunk, jelöljük meg és képezzünk belőlük $(i+1)$ -kockát.
- 6/ Azok az i -kockák, amelyeket nem jelöltünk meg, alkotják Z^i -t.
- 7/ Ha nincs $(i+1)$ -kocka, akkor $K^1 = Z^i$, az algoritmus folytatódik a 9 / lépésnél.
- 8/ $i := i + 1$; az algoritmust az 5/ lépésnél folytatjuk.

$$9/ \quad Z = \bigcup_{i=0}^{n-1} Z^i$$

Az algoritmust illusztráljuk a következő példával.

Legyen adott $K^0(f)$ súly szerint csoportosítva:

$$K^0 = \left\{ \begin{array}{c|c|c|c|c} S_0 & S_1 & S_2 & S_3 & S_4 \\ \hline 0000 \checkmark & 0001 \checkmark & 0011 \checkmark & 0111 \checkmark & \\ \hline & 0010 \checkmark & 1001 \checkmark & 1011 \checkmark & 1111 \checkmark \\ \hline & 1000 \checkmark & 1100 \checkmark & 1101 \checkmark & \end{array} \right\}$$

$$Z^0 = \emptyset$$

$$K^1 = \left\{ \begin{array}{c|c|c|c} x000 & 0x11 \checkmark & 00x0 \checkmark & 100x \checkmark \\ \hline x111 & 1x11 \checkmark & 00x1 \checkmark & 110x \checkmark \\ \hline & & 10x1 \checkmark & \end{array} \right\}$$

$$i = 1 \quad Z^1 = \left\{ \begin{array}{c} x000 \\ x111 \end{array} \right\} \quad i = 2$$

$$K^2 = \left\{ \begin{array}{c} xx11 \\ 00xx \\ xox1 \\ lxox \end{array} \right\} \quad K^2 = Z^2 \quad Z = Z^1 \cup Z^2 = \left\{ \begin{array}{c} x000 \\ x111 \\ xx11 \\ 00xx \\ xox1 \\ lxox \end{array} \right\}$$

A lényeges primkockák keresésére bontakozik a Quine által adott

17. Algoritmus.

- 1/ Konstruálunk egy mátrixot, sorait $K^0(f)$ elemei alkotják, oszlopait pedig Z elemei.
- 2/ Ha az i -edik $K^0(f)$ -beli elemet tartalmazza a j -edik Z -beli elem, akkor az ij -edik helyre 1-et, ellenkező esetben 0-át írunk. /Egy $A=(a_1, \dots, a_n)$, $a_i \in \{0,1\}$ 0-kockát tartalmaz egy $B=(b_1, \dots, b_n)$, $b_i \in \{0,1,x\}$ prim részkočka, akkor és csak akkor, ha $i = 1, 2, \dots, n$ esetén $b_i = x$ vagy, ha $b_i \neq x$ akkor $b_i = a_i$ /.
- 3/ Kijelöljük azokat a sorokat, amelyekben csak egyetlen 1 szerepel a mátrixban; a megfelelő primkočka lényeges.
- 4/ $A = \bigcup_{i=0}^{n-1} A^i$ ahol A^i r -dimenziós lényeges primkočka.

Tekintsük az előző példát! Számoljuk ki K^0 és Z ismeretében

A -t!

$K^0 \setminus Z$	xooo	xlll	xxll	ooxx	xoxl	lxox
0000	1	0	0	1	0	0
0001	0	0	0	1	1	0
0010	0	0	0	1	0	0
1000	1	0	0	0	0	1
0011	0	0	1	1	1	0
1001	0	0	0	0	1	1
1100	0	0	0	0	0	1
0111	0	1	1	0	0	0
1011	0	0	1	0	1	0
1101	0	0	0	0	0	1
1111	0	1	1	0	0	0

$$A = \begin{Bmatrix} 00xx \\ 1x0x \end{Bmatrix}$$

Megjegyezzük, még, hogy (xooo) lényegtelen primimplikáns.

A 10. Tétel értelmében A szerepel minden olyan kifejezésben, amelyik f-et reprezentálja.

A Quine algoritmus harmadik része megkeresi azon $K^0(f)$ -beli elemek primkockákkal való irredundáns lefedést, amelyeket A -val nem fedtünk le.

18. Algoritmus.

- 1/ $N^r = Z^r - A^r$, $r=0,1,\dots, n-1$ Legyen $C = \emptyset$.
- 2/ Legyen N^m a legmagasabb dimenziós nem üres részkocka. Rendezzük ezeket az m -kockákat valamilyen módon és jelöljük a_i -vel.
- 3/ Legyen $i = 1$
- 4/ $C' = C \cup \{a_i\}$
- 5/ Törlöljük N^0 -nak azon pontjait, amelyek C' -höz tartoznak. Ha az új $N^0 = \emptyset$, akkor az algoritmus a 8/ lépésnél folytatódik.
- 6/ Ha az új $N^0 \neq \emptyset$, akkor $i := i+1$; $C := C'$; ha $i \leq m$ akkor folytassuk a 4/ lépésnél.
- 7/ Ha $i > m$ és $N^m = \emptyset$ folytassuk a 2/ lépésnél.
- 8/ A C' a keresett lefedés.

Folytassuk az előzőekben elkezdett példát! Készítsünk mátrixot; sorait K^0 -nak azon elemei alkotják, amelyeket A -val nem fedtünk le, oszlopait pedig $Z \setminus A$.

	x000	x111	xx11	x0x1
0111	0	1	1	0
1011	0	0	1	1
1111	0	1	1	0

$K^0(f)$ lehetséges lefedései:

$$C_1 = A \cup \{x0x1, x111\}$$

$$C_2 = A \cup \{xx11\}$$

Az $f(x_1, \dots, x_n)$ függvényt reprezentáló irredundáns DNF az $A \cup C'$ lefedőrendszerekhez tartozik.

A Quine algoritmus, amelynek Roth-féle topológikus megfogalmazását ismertettük, egy irredundáns kifejezést ad adott $f(x_1, \dots, x_n)$ függvényhez.

A 18. Algoritmus 2/ lépése nem egyértelmű, s ennek következménye az, hogy MDNF-et csak az összes IDNF-eket meghatározva nyerhetünk.

Ismertetünk egy módszert, amelynek segítségével az összes IDNF-ek meghatározhatók.

Legyen az $f(x_1, \dots, x_n)$ diszjunktív normálformában adott, és $o(K^0(f)) = m$. Képezzük a primimplikánsokat, és rendeljünk hozzá mindegyik primimplikánshoz egy új logikai változót, legyenek azok y_1, y_2, \dots, y_ℓ ahol $\ell \leq m$.

Legyen $K_r \in K^0(f)$, $r = 1, 2, \dots, m$

Jelölje $y_{i_1}, y_{i_2}, \dots, y_{i_k}$ ($k \leq \ell$) azokat a primimplikánsokat, amelyek lefedik K_r -et.

Legyen $\bar{\mathcal{L}} = \{0, 1, \tilde{y}_1, \tilde{y}_2, \dots, \tilde{y}_\ell\}$

Az $y_{k_1} + y_{k_2} + \dots + y_{k_r}$ ($r \leq \ell$) elemi diszjunktció az $\bar{\mathcal{L}} \setminus \{0, 1\}$ fölött; értelmezettek a + és a 0 az előzőkhöz hasonlóan $\bar{\mathcal{L}}$ -en. Az elemi diszjunktciót az elemi konjunkcióval analóg módon definiálhatjuk.

Az $Y_{i_1} + Y_{i_2} + \dots + Y_{i_k}$ elemi diszjunkció lefedi K_r -et.

Írjuk fel azt az $\mathcal{L} \setminus \{0,1\}$ -beli kifejezést, amelyik lefedi $K^0(f)$ -et, és jelöljük ezt E -vel.

$$E = (Y_{1_1} + \dots + Y_{1_{k_1}}) (Y_{2_1} + \dots + Y_{2_{k_2}}) \dots (Y_{m_1} + \dots + Y_{m_{k_m}})$$

E -t kiválasztási kifejezésnek nevezzük.

E tehát maga is egy Boole-kifejezés \mathcal{L}^+ -ban, mégpedig konjunktív normálformában adott, és nem tartalmaz negált változót.

Az
$$Y_i (Y_i + Y_k) = Y_i$$

$$Y_i Y_i = Y_i$$

$$(Y_i + Y_k)(Y_i + Y_\ell) = Y_i + Y_k Y_\ell$$

azonosságok felhasználásával az E kifejezést diszjunktív normál formára hozhatjuk.

A fenti azonosságok nem hoznak be negált változót, tehát E a következőképpen írható fel:

$$E = Y_{1_1} Y_{1_2} \dots Y_{1_{j_1}} + Y_{2_1} Y_{2_2} \dots Y_{2_{j_2}} + \dots + Y_{q_1} Y_{q_2} \dots Y_{q_{j_n}}$$

E definíciójából következik, hogy az egyes tagok az Y_1, Y_2, \dots, Y_ℓ -eknek megfelelő primimplikánsokból egy-egy olyan kiválasztást adnak meg, amelyek lefedik $K^0(f)$ -et. Mivel E nem tartalmaz negált változót, ezért

E -re alkalmazhatjuk a következő tételt.

19. Tétel. Egy Boole-függvény, amelyik a diszjunktív vagy konjunktív normálformájában csak negált vagy csak negálatlan változókat tartalmaz, azonos a magjával, azaz csak lényeges primimplikánsokat tartalmaz.

Alkalmazva a tételt azt mondjuk, hogy E csupa lényeges primimplikánsot tartalmaz, tehát E tagjai az összes nem redundáns megoldást megadják.

Igaz az is, hogy E -t elegendő a választható primimplikánsokra felírni.

A minimum-keresés egy speciális esete, amikor a függvény részben értelmezett.

20. Definíció. Legyen adva $f(x_1, \dots, x_n)$ n -változós Boole-függvény és legyen $o(K^0(\bar{f}) \cup K^0(f)) \leq 2^n$.

Legyen $T = K \setminus \{K^0(\bar{f}) \cup K^0(f)\}$, ahol K az n -dimenziós bináris vektorok halmaza.

$t \in T$ esetén $f(t)$ a $\{0,1\}$ bármelyik elemét felveheti. Ekkor f -et részben értelmezett függvénynek nevezzük.

A minimum-problémában a T halmazhoz tartozó függvényértékek paraméterként szerepelnek, s a paraméterek értékét úgy választjuk meg, hogy a lefedés optimális legyen. Minimum kereséskor mindig $K^0(f)$ elemeiből indulunk ki, T elemeiből soha! Ha $K^1(f)$ -beli elemekből úgy tudunk csak $(i + 1)$ -dimenziós részkockát készíteni, hogy T -beli elemet vagy elemeket használunk fel, akkor ezen T -beli elemekhez tartozó függvényértéket 1 -nek tekintjük. Azon T -beli elemekhez pedig 0 -t rendelünk függvényértékként, melyeket nem tudtunk felhasználni magasabb dimenziós részkockák kialakításánál.

Minimalizálás más bázisban

Az eddigiekben adott $f(x_1, \dots, x_n)$ -változás Boole-függvényhez az \mathcal{L}^{+0} fölött kerestünk minimális kifejezést vagy kifejezéseket.

A minimalizáció problémája felvetődik és megfogalmazható más bázisban is.

Legyen adott $\{f_1, f_2, \dots, f_r\}$ Boole-függvények egy teljes rendszere. Minimális kifejezéssel kívánjuk ábrázolni ebben a rendszerben a $\phi(x_1, \dots, x_n)$ függvényt. Ehhez két problémát kell megoldani:

1/ f_1, f_2, \dots, f_r függvényeknek milyen alaku kapcsolata állítja elő $\phi(x_1, \dots, x_n)$ -et.

2/ Minimum feltétel megfogalmazása ezen függvényekkel.

1/ Feleltessük meg x_1, \dots, x_n -nek az ismert módon, az n -dimenziós bináris vektorokat és számozzuk meg őket 0 -tól $2^n - 1$ -ig. Defináljuk a következő karakterisztikus függvényeket:

$F_i = \begin{cases} 1 \\ 0 \end{cases}$ az i -edik (x_1, \dots, x_n) esetén
egyébként

$\phi_i = \begin{cases} 0 \\ 1 \end{cases}$ az i -edik (x_1, \dots, x_n) esetén
egyébként

Igaz az, hogy $F_i = \bar{\phi}_i$ illetve $\phi_i = \bar{F}_i$.

Jelöljük T_1 -el azon (x_1, \dots, x_n) vektorok halmazát, ahol $\phi(x_1, \dots, x_n) = 1$ és T_0 -vel pedig ahol $\phi(x_1, \dots, x_n) = 0$. A karakterisztikus függvényekkel $\phi(x_1, \dots, x_n)$ a következő módon írható le.

$$a/ \quad \phi(x_1, \dots, x_n) = \sum_{i \in T_1} F_i$$

$$b/ \quad \phi(x_1, \dots, x_n) = \prod_{i \in T_0} \phi_i$$

Definíció szerint a/ kitüntetett diszjunktív normálformája ϕ -nek, b/ pedig kitüntetett konjunktív normálformája ϕ -nek. Ezek után ábrázolni kell az $\{f_1, \dots, f_r\}$ bázisban az összeadást és szorzást, valamint a karakterisztikus függvényeket. a/ és b/-be helyettesítve ezeket, nyerjük ϕ -nek az $\{f_1, \dots, f_r\}$ bázisban való előállítását.

2/ A minimum meghatározása sokkal nehezebb probléma. Eddig csak a Sheffer és Pierce-függvényből álló egy-egy bázisban vizsgálták. Legelterjedtebb módszer jelenleg még az, hogy megkeresik a minimumot diszjunktív normálformára és a minimális alakot írják át egy másik bázisban, pl. Sheffer illetve Pierce-függvényekre.

A másik kérdéskör a Boole-egyenletrendszerekkel kapcsolatos.

Logikai tervezés során a mellékfeltételek gyakran Boole-egyenletek formájában adhatók meg, továbbá szekvenciális hálózatok esetén is rekurzív Boole-egyenletek, illetve egyenletrendszerek lépnek fel.

Legyenek A, B, C, D Boole-kifejezések, továbbá

$$A = B$$

és

$$C = D$$

egyenlőségek.

Az egyenletrendszer visszavezethető egyetlen, bonyolultabb Boole-egyenletre:

$$A\bar{B} + \bar{A}B = 0$$

$$C\bar{D} + \bar{C}D = 0$$

és innen

$$A\bar{B} + \bar{A}B + C\bar{D} + \bar{C}D = 0$$

egyetlen egyenlet adódik.

Egy egyenlet megoldása viszont az itt alkalmazott eljárás megfordítását használja fel.

A kimenetet meghatározó egyenletben a kimenetek függvényei a bemeneti függvényeknek és az időnek. Ezért a három megengedett műveleten kívül / 0, +, - / még szükséges bevezetni a d idő operátort: $dx_t = x_{t+1}$ értelmezéssel. d hatványai és egyszerű tulajdonságai:

$$d^0 A = A, d^{k+1} A = d(d^k A);$$

$$d(A') = (dA)'$$

$$d^k G(A, \dots, B) = G(d^k A, \dots, d^k B)$$

Mint ahogy egyrészt az előbbiekben láttuk, hogy minden Boole-egyenletrendszerhez konstruálható egy vele ekvivalens Boole-egyenlet, másrészt bizonyítható, hogy minden Boole-egyenlet visszavezethető olyanra, amely a d idő operátort csak első hatványon tartalmazza, ezért elegendő az alábbi alakú Boole-egyenletekkel foglalkozni:

$$H(i, \dots, j, x, \dots, y, d_1, \dots, d_j, dx, \dots, dy) = 0$$

ahol

H az argumentumának valódi Boole-függvénye
i, ..., j jelentik a bemeneti
x, ..., y a kimeneti Boole-függvényeket.

A megoldási algoritmusok tárgyalása nélkül csak megjegyezzük, hogy három eset lehetséges:

- a/ a megoldás egyértelmű /determinisztikus/
- b/ megoldás létezik, de nem egyértelmű /prediktív/
- c/ nem létezik megoldás.

[1, 8, 10, 11, 15, 16, 18, 20, 21, 22, 27].

VI. Minimális költségű Boole-kifejezések halmazának konstruálása

Az algoritmus előállítja az összes lehetséges n -változós nem konstans Boole-függvényeket ábrázoló költségminimális kifejezések halmazát. Ebből esetenként kiválasztjuk egy adott $f(x_1, \dots, x_n)$ függvényt reprezentáló költségminimális kifejezéseket.

Az $\mathcal{F}_0 = \mathcal{P}_0 = \mathcal{F} = \{x_1, \bar{x}_1, \dots, x_n, \bar{x}_n\}$ halmazból kiindulva, az alábbi tulajdonságokkal rendelkező $\mathcal{F}_0, \mathcal{F}_1, \mathcal{P}_1, \mathcal{F}_2, \mathcal{P}_2, \dots$ kifejezéshalmaz sorozatot konstruáljuk rekurzív módon:

- 1/ Létezik olyan m természetes szám, hogy $\mathcal{F}_{m+j} = \mathcal{F}_m, \mathcal{P}_{m+j} = \mathcal{P}_m$

minden $j \geq 0$ -ra.

2/ $2 \leq i \leq m$ -re $\mathcal{F}_i \cup \mathcal{P}_i$ tartalmazza az i -nél nem nagyobb rendű kifejezéseket, melyek bármely nem konstans n -változós f Boole-függvényt előállítanak.

3/ $\mathcal{F}_i \cup \mathcal{P}_i$ halmazban minden kifejezés költsége minimális, vagy határozottan nagyobb, mint az ekvivalens kifejezések költsége $\mathcal{F}_{i+j} \cup \mathcal{P}_{i+j}$ halmazban, minden $j \geq 0$ -ra.

4/ $\mathcal{F}_m \cup \mathcal{P}_m$ a leggazdaságosabb kifejezések halmaza.

A δ -operátor és a költségfüggvény

1. Definíció. Az F kifejezés δF duálisa F -ből úgy nyerhető, hogy felcseréljük benne a $+$ és \cdot műveleteket. Továbbá, ha \mathcal{F} kifejezések halmaza, a duális halmaz:

$$\delta \mathcal{F} = \{\delta F | F \in \mathcal{F}\}$$

A definícióból adódik: $\delta \delta F = F$ és $\delta \delta \mathcal{F} = \mathcal{F}$.

2. Definíció. A kifejezés B -tartalmazó ($B < A$) ha $A \circ B = B$ /vagy: $A+B=A$ /.
3. Lemma. Ha $F < G$, akkor $\delta G < \delta F$ és ha $F \equiv G$ akkor $\delta F \equiv \delta G$.

Igy, ha F_1, \dots, F_r komponensei F -nek, akkor $\delta F_1, \dots, \delta F_r$ komponensei δF -nek, továbbá $\omega(\delta F) = \omega(F)$.

Ha $F < G$ akkor $\delta G < \delta F$ s hasonló állítás igaz \mathcal{P} -típusu F -ekre. /A továbbiakban a duál-állítást általában nem mondjuk ki./

Belátása: Definiáljuk a λ operátort úgy, hogy δF jelentse F betűnkénti komplementálását. Ekkor $\lambda \delta F = \bar{F}$. Ismeretes, hogy $F < G$ esetén $\bar{G} < \bar{F}$ és nyilvánvalóan $\lambda F < \lambda G$ következik ekképpen $\delta G < \delta F$. A további állítások triviálisak.

4. Definíció. Az F kifejezés költségét leíró költségfüggvénynek nevezzük a C leképezést, amely minden kifejezéshez hozzárendel egy $C(F)$ nem negatív egész számot, ha

- 1/ $C(F) > C(G)$ valahányszor $F = G \circ H$
- 2/ $C(F) > C(G) \implies C(F \circ H) > C(G \circ H)$
- 3/ $C(\delta F) = C(F)$

Egy adott C költségfüggvényre vonatkozólag az F kifejezést minimális költségűnek mondjuk az \mathcal{F} halmazon, ha $F \in \mathcal{F}$ és $G \equiv F, G \in \mathcal{F}$ esetén $C(F) \leq C(G)$.

Megjegyzések:

a/ Ha F minimális költségű \mathcal{F} -en, akkor δF is minimális költségű $\delta \mathcal{F}$ -en.

b/ Az F kifejezés költsége az $1/ - 3/-$ -nak elegettevő olyan "függvény", amely nem az f -et reprezentáló Boole-kifejezés tartalmával, hanem annak szerkezetével kapcsolatos.

Az ω rendű F kifejezés komponensei legyenek F_1, \dots, F_r ; $F = \bigcirc_{i=1}^r F_i$. A költségfüggvényt elég jól közelíti a következő rekurzió: $c(F) = \phi_{\omega}(c(F_1), \dots, c(F_r), r)$. Megadását a mindenkori műszaki realizáció határozza meg; más a helyzet relés, diódás, tranzisztoros vagy ferrites elemek használata esetén, s más akkor, ha blokkokból vagy kártyákból, illetve integrált áramkörökből építjük fel a készüléket.

A rekurzió kezdő értékeit nyilvánvalóan e tényezők határozzák meg. A probléma lényegében abból adódik, hogy a költségek /áramköri elemek árai, a készülékek megépítéséhez szükséges munkabér, stb./ direkt módon áramköri szinten jelentkeznek, s ezt akarjuk megbecsülni logikai szinten. Ezért célszerűnek látszik /különösen nagyobb volumenű gyártás esetén/ a költségfüggvényt a méréskiértékelések elméletéből ismert empirikus módszerekkel meghatározni.

Mintogy a logikai szintet jelenleg lényegében az ÉS VAGY, Inverter szintek száma /a kifejezés rendje/ meghatározza /az áramköri terhelhetőségi feltételekkel együtt/, ezért a fent megadott típusu költségfüggvényre sok, viszonylag nagyméretű elektronikus készülék adataiból következtethetünk.

Ha speciálisan a költségfüggvényt lineárisnak tekintjük és r -ről függetlennek, valamint az inverterek súlyát zérusnak vesszük, $C(\text{ÉS}) = C(\text{VAGY}) = C_0$ választás mellett adódik az ismert hosszjellegű minimalizálás. Legyen a továbbiakban C egy rögzített költségfüggvény. Jelölje \mathcal{L} az $x_1, \bar{x}_1, \dots, x_n, \bar{x}_n$ betűkből felépített összes kifejezések halmazát, és legyen $\mathcal{L}(\dots)$ azon kifejezésekből álló részhalmaz, melyek kielégítik a zárójelben álló feltételeket. Pl. $\mathcal{L}(\omega \leq h)$ azon kifejezések halmaza, melyeknek rendje nem haladja meg h -t.

5. Lemma. Ha F minimális költségű a $\mathcal{L}(\omega < h)$ [vagy $\mathcal{L}(\omega = h, \text{sum})$, vagy $\mathcal{L}(\omega = h, \text{product})$] halmazon $h > 1$ esetén, akkor F komponensei minimális költségűek a $\mathcal{L}(\omega < h - 1)$ [vagy $\mathcal{L}(\omega \leq h - 1, \text{product})$, vagy $\mathcal{L}(\omega \leq h, \text{sum})$] halmazon.

Nyilvánvaló, hogy ez az eredmény az alapja minden rekurzív konstrukciónak.

6. Lemma. Van olyan m nem negatív egész szám, hogy $\omega(F) \leq m$ teljesül minden \mathcal{F} -ben minimális költségű F -re.

Γ operátor

Jelölje $\mathcal{S}\mathcal{F}$ az \mathcal{F} halmaz által tartalmazott kifejezések összegét.

7. Definíció. \mathcal{G} minimális \mathcal{G} -tartalmazó halmaz, ha $\mathcal{G} \in \mathcal{S}\mathcal{G}$ és \mathcal{G} tetszőleges elemét elhagyva, $\mathcal{G} \notin \mathcal{S}\mathcal{G}' / \mathcal{G} \setminus \mathcal{G}'$ az elhagyott elem./

Legyen F egy kifejezés és \mathcal{F} a kifejezések olyan halmaza, amelyre $F \in \mathcal{S}\mathcal{F}$. Ha $\mathcal{M}_1, \dots, \mathcal{M}_s$ minimális F -tartalmazó részhalmazai \mathcal{F} halmaznak, akkor jelöljük: $\Gamma(F, \mathcal{F}) = \{ \mathcal{S}\mathcal{M}_j; \mathcal{S}\mathcal{M}_j \equiv F$

és $\mathcal{S}\mathcal{M}_j$ minimális költségű $\{ \mathcal{S}\mathcal{M}_i, i \leq s \}$ -ben}.

Nyilván, ha $F \equiv G$ akkor $\Gamma(F, \mathcal{F}) = \Gamma(G, \mathcal{F})$. Ezért, ha F reprezentálja az f Boole-függvényt, definiálható

$$\Gamma(f, \mathcal{F}) = \Gamma(F, \mathcal{F})$$

Végül jelölje $\Gamma\mathcal{F} = \cup \Gamma(f, \mathcal{F})$ ahol az egyesítés az összes nem konstans n -változós Boole-függvényre van kiterjesztve. Γ tulajdonságaira az alábbi három Lemma ad információt:

8. Lemma. Ha \mathcal{F} az összes állapotot tartalmazza /"kanonikus termék"/, akkor $\Gamma\mathcal{F} \neq \emptyset$ minden nem konstans függvényre.

9. Lemma. Ha $F \in \Gamma\mathcal{F}$ és F \mathcal{P} -tipusu, akkor $F \in \mathcal{F}$.

Minden esetben $\omega(F) - 1 \leq \max \omega(G); G \in \mathcal{F}$.

10. Lemma. Ha $F \in \Gamma\mathcal{F}$ és $G \equiv F$, továbbá $c(G) > c(F)$, akkor $G \in \Gamma\mathcal{F}$.

11. Konstrukció. Legyen $\mathcal{Y} = \mathcal{Y}_0 = \mathcal{P}_0$ az összes egyetlen betűre /nem számra/ redukált kifejezések halmaza: $\mathcal{Y} = \{x_1, \bar{x}_1, \dots, x_n, \bar{x}_n\}$ és legyenek \mathcal{Y}_1 és \mathcal{P}_1 halmazok rekurzive megadva a következőképpen:

$$1/ \mathcal{Y}_1 = \Gamma\mathcal{Y}_0$$

$$2.a/ \mathcal{P}_{2k-1} = \delta\mathcal{Y}_{2k-1}, \quad k > 0$$

$$2.b/ \mathcal{P}_{2k} = \Gamma\mathcal{P}_{2k-1}, \quad k > 0$$

$$3.a/ \mathcal{Y}_{2k} = \delta\mathcal{P}_{2k}, \quad k > 0$$

$$3.b/ \mathcal{Y}_{2k+1} = \Gamma \mathcal{Y}_{2k}, \quad k > 0$$

Itt \mathcal{Y}_1 és \mathcal{P}_1 az n betüből álló összes lehetséges egyszerűsített összeg, illetve szorzat halmaza, \mathcal{P}_2 a normálformákat, \mathcal{S}_2 az összeg szorzatokat tartalmazza. /Egyszerűsített szorzatok, illetve összegek: $x \circ \bar{x} = 0$, $x + \bar{x} = 1$ azonosságok által adott egyszerűsítések elvégzése után adódó kifejezések/.

A 9. Lemma felhasználásával i -re vonatkozó indukcióval adódik:

A 12. Lemma. Ha $F \in \mathcal{P}_i \cup \mathcal{Y}_i$ akkor $\omega(F) \leq i$. Továbbá, ha $\omega(F) = i$ és $F \in \mathcal{P}_i$ [vagy $F \in \mathcal{Y}_i$] akkor $F \in \mathcal{P}_i \setminus \mathcal{P}_{i-1}$ [vagy $F \in \mathcal{Y}_i \setminus \mathcal{Y}_{i-1}$] és ha i páros [páratlan], F s-tipusu, ha i páratlan [páros] F p-tipusu.

A 8. Lemma alkalmazásával adódik:

13. Tétel. Ha f nem konstans Boole-függvény, akkor $i \geq 2$ -re minden \mathcal{P}_i és \mathcal{Y}_i halmaz tartalmaz f függvényt reprezentáló kifejezéseket. Ezen kifejezések minimalitás tulajdonsággal rendelkeznek.

14. Lemma. a/ Legyen F minimális költségű a $\mathcal{L}(\omega < i) \cup \mathcal{L}(\omega > i, \text{sum})$ kifejezés halmazon; akkor $F \in \mathcal{P}_i$ ha i páros és $F \in \mathcal{Y}_i$ ha i páratlan. b/ Legyen F minimális költségű a $\mathcal{L}(\omega < i) \cup \mathcal{L}(\omega = i, \text{produkt})$ kifejezés-halmazon; akkor $F \in \mathcal{Y}_i$ ha i páros és $F \in \mathcal{P}_i$ ha i páratlan.

A 14. Lemma megfordítása is igaz:

15. Tétel. $i \geq 0$ -ra $\mathcal{P}_i \cup \mathcal{Y}_i$ azon kifejezések halmaza, amelyek minimális költségűek a $\mathcal{L}(\omega < i) \cup \mathcal{L}(\omega = i, \text{sum})$ vagy a $\mathcal{L}(\omega < i) \cup \mathcal{L}(\omega = i, \text{product})$ halmazban.

16. Lemma. Legyen F minimális költségű \mathcal{L} -ben és $\omega(F) = i$. Ha F összeg és i páros /páratlan/, akkor $F \in \mathcal{P}_k$ ($F \in \mathcal{Y}_k$), $k \geq i$ -re. Ha F szorzat és i páros /páratlan/, akkor $F \in \mathcal{Y}_k$ ($F \in \mathcal{P}_k$), $k \geq i$ -re.

A 6. Lemma és a 16. Lemma együtt az algoritmus végességét eredményezi.

16. Tétel. Létezik m egész szám úgy, hogy $\mathcal{P}_{m+j} = \mathcal{P}_m$, $\mathcal{Y}_{m+j} = \mathcal{Y}_m$ minden $j \geq 0$ -ra. Továbbá $\mathcal{P}_m \cup \mathcal{Y}_m$ az összes, \mathcal{L} -ben minimális költségű kifejezések halmaza. [1, 4, 5, 24].

VII. Számológépek alkalmazása a minimalizálásban

Az elektronikus számológépek felhasználása nem numerikus számítások elvégzésére ma már igen elterjedt. Mivel a kézi minimalizáló algoritmusok $n \geq 5$ esetén már áttekinthetetlenekké, illetve nehezen kezelhetőkké váltak, felmerült annak szükségessége, hogy adott $f(x_1, \dots, x_n)$ Boole-függvényhez irredundáns kifejezéseket számológéppel kerestessünk. A számológép használata átmenetileg megoldotta a problémát, n értékét 10-ig növelve lehetett találni jó algoritmust, illetve problémamentesen meg lehetett oldani a minimalizálandó mennyiségek egy jó gépi ábrázolását. /Természetesen itt csak a kétszintes eljárásokról beszélünk, mert költségminimális eljárásoknál már $n = 4$ esetén is komoly nehézségek adódnak./ A gépi

módszerek egy része az ismert kézi eljárások gépesített változatai voltak /Harward kártya-módszer, Quine Mc Cluskey módszer stb./.

A változószám növelésével viszont, mivel a Boole-függvény értelmezési tartománya ezzel exponenciálisan nő, korlátozásokat kell bevezetnünk, amely viszont a vizsgálható Boole-függvények számára, a "minimalitás" mértékére stb. jelenthet erős megkötést, illetve korlátozásokat nem téve, a futtatási idő lenne megengedhetetlenül nagy. Valószínű, hogy a jövőben olyan algoritmusokat kell kidolgozni, amelyek a Boole-függvényeknek csak egy-egy osztályát vizsgálják, s az algoritmusok alapját az osztály-tulajdonságok fogják szolgáltatni. "Szerencsés" függvényosztály pl. a monoton függvények osztálya, amelyről ismert, hogy $IDNF = MDNF = RDNF$.

Gépi algoritmusokhoz a két legismertebb megadási módja a Boole-függvényeknek a következő:

1/ ha a függvény értéktáblázattal adott /KDNF reprezentálja/, akkor az értelmezési tartomány valamely pl. nagyság szerinti rendezéséhez hozzárendelünk egy 2^n hosszúságú bináris vektort, amelyik számológépen egy 2^n hosszúságú bit sorozatnak felel meg. /ICT 1905-ös számológépen ez $[2^n/23] + 1$ szónak felel meg./ Itt tehát az értékkészletet ábrázoltuk. Ez az ábrázolási mód akkor gazdaságos, ha $K^0(\bar{f}) \ll K^0(f)$ illetve, ha n nem túl nagy.

2/ $K^0(f)$ -et ábrázoljuk, illetve ha részben értelmezett a függvény, akkor $K^0(f)$ -et és T -t. Ha $k \in K^0(f)$ -nek egyetlen szót feleltetünk meg, akkor a szükséges szavak száma $o(K^0(f))$.

Mindkét esetben a számológép szóhossza felső határt szab n -re - 1/ esetén is a számítás során elő kell állítani 2/-t - bár többszörös aritmetikát feltételezve n a szóhossz többszöröse is lehet, de a 2^n -es érték kétessé teszi a klasszikus eset ilyen kiterjesztését.

A részkockák ábrázolása a következőképpen történhet:

1/ kétdimenziós tömbökben ábrázoljuk. A tömb első eleme az előforduló, illetve az elhagyott változóról (1 - 0) ad információt, a tömb második eleme pedig a változóról feljegyzzi, hogy negátlanok vagy negáltak (1 - 0).

2/ hármasszámrendszerben ábrázoljuk, x_1 előfordul: 1, \bar{x}_1 fordul elő: 0, sem x_1 sem \bar{x}_1 nem fordul elő: 2. Itt csak néhány ábrázolási módot említettünk, főként azokat, amelyeket az ICT 1905-ös számológépre készített programjainkban magunk is felhasználtunk.

Két programot készítettünk. Az egyik program AM01 Butler, Warfield algoritmusát valósítja meg. A program legfeljebb 14 változós Boole-függvényhez keres irredundáns diszjunktív normálformát. $K^0(f)$ -et ábrázoljuk, a részkockák ábrázolása binárisan kódolt hármas számrendszerben történik.

Megszorítás: $0 \leq o(K^0(f)) \leq 3 \cdot 10^3$ és a $(0, \dots, 0)$ vektor nem szerepelhet. Az utóbbi oka programozástechnikai. A lényeges primimplikánsok megkeresése után a választható primimplikánsok keresésénél első szempontnak azt tekinti, hogy a lefedő részkocka minél magasabb dimenziós legyen. Egyenlő dimenzió esetén úgy választ, hogy azt a részkockát tartja meg, amelyik több, lényeges implikánsok által le nem fedett pontot tartalmaz. Az eredményül kapott irredundáns Boole-kifejezés függ a kiinduló adatok sorrendjétől.

A program forrásnyelve: ALGOL

480 ALGOL utasítást tartalmaz, memória-igénye 10-12000 szó $o(K^0(f))$ -től függően.

Az eredményt LP /sornyomtató/-n kapjuk hármas számrendszerben tagonként.

A program periféria igénye: TR, LP időigénye: $o(K^0(f))/10$ perc elég jó közelítés, bár az adatok minősége befolyásolja ezt.

A másik program AV01 és AV02 legfeljebb 23 változós Boole-függvényhez keresi meg az összes /illetve limitált/ IDNF-t. A program részben értelmezett függvényeket is tud kezelni.

A függvény megadása $K^0(f)$ -el és T -vel a részkockák ábrázolása pedig 2-dimenziós tömbökkel történik. Egy IDNF megadása után folytatja a keresést egy ettől különböző IDNF-re, majd a választható implikánsok egy sorrend-cseréjét elvégezve folytatja az eljárást addig, amíg minden IDNF-t meg nem határozott, vagy az IDNF-ek számára megadott határt el nem érte.

A program forrásnyelve: ALGOL/PLAN

700 ALGOL utasítást tartalmaz és 6 db egyenként kb. 30 utasításból álló PLAN szegmenst.

Memóriaigénye $o(K^0(f))$ -től függően 16-20000 szó együttesen, de a két program egymás után futtatható, tehát esetenként 8-12000 szó elegendő.

Futási időkre a következő formulák adnak becslést:

$$n \cdot o(K^0(f) \cup T) / 10$$

/AVO1/

és AVO2 -re $n \cdot o(K^0(f) \setminus K_1^0(f)) / 5$ ahol $K_1^0(f)$ jelöli a lényeges implikánsok által lefedett elemek halmazát $K^0(f)$ -ben.

Az eredményt LP -n kapjuk az x_1 , 'not', 'and', 'or', '=', '(', ')' szavak és jelek felhasználásával, Y_1, Y_2, \dots, Y_W -vel jelölve a különböző IDNF-eket.

A programok blokk-sémáját a függelékben adjuk meg.

[3, 12, 14, 17, 19].

VIII. Automatikus tervezés néhány problémája

A logikai tervezés további útja a digitális rendszerek automatikus tervezése, amelynek a gépi minimalizálás egyik fejezete.

A legutóbbi időkig a számítógépes áramköri tervezést paraméterek optimalizálására használták, bár komplett integrált áramkör automatikus tervezése és gyártása is megvalósult már. Az alapvető probléma az áramköri elemek - elsősorban az aktiv alkatrészek - megfelelő számítógépes modelljeinek kidolgozása és az ember és a gép közötti információcsere kialakítása.

Az automatikus logikai tervezés területéhez tartozó részfeladat a következő: egy elektronikus berendezést kell építeni adott R számú logikai egységből, melyek egymással való kapcsolata, valamint az egységek funkciója ismert. Adott ezen kívül H féle kártya, minden kártyán meghatározott mennyiségű és minőségű logikai egység. Építsük fel az elektronikus készüléket egy adott méretű dobozban limitált számú kártya felhasználásával úgy, hogy az a felépítés a leggazdaságosabb legyen. A feladat nagyon sokrétű, s igen sok problémát kell megoldani. A feladat egy speciális esete, amikor adott már egy kártyaelrendezés, és a csatlakozó pontok egy összeköttetéséről szóló lista, s ennek alapján olyan elrendezést kívánunk megvalósítani, ahol a huzalhossz minimális. A huzalhossz minimalizálása először kártyák, majd csatlakozópontok cseréjével történik. Az algoritmus egyik része egy kártyakiválasztáson belül, csak a kártyák helyzetét változtatja, miközben az össz-huzalhosszra gyakorolt hatását vizsgálja.

Ezt csak példaként említettük, ezzel is jelezni kívántuk azt, hogy a logikai tervezés számos területe közül csak kiragadtunk néhányat, a problémakör sokkal szélesebb mind tartalmában mind módszerében. [25]

I r o d a l o m

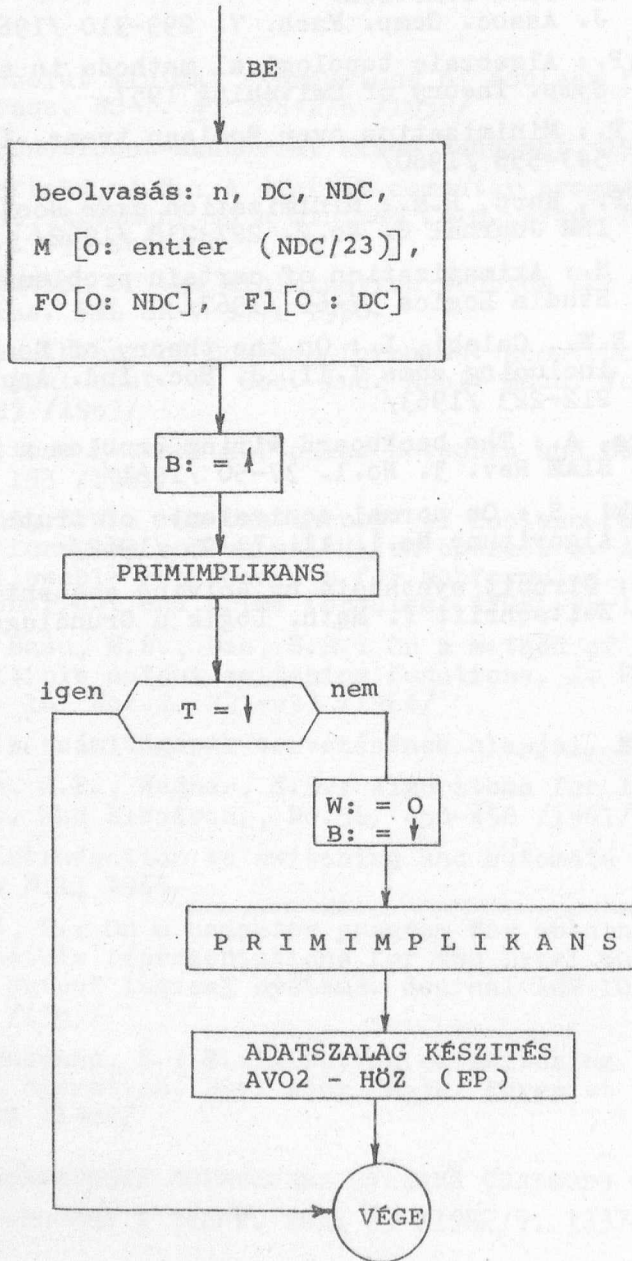
- [1] Abhyankar, S.: Absolut minimal expressions of Boolean functions. IRE Trans. EC-7. 4, 268-276 /1958/
- [2] Ádám, A.: Truth functions. Akadémiai Kiadó Budapest, 1968.
- [3] Butler, K.J., Warfield, J.N.: A digital computer program for reducing logical statement to a minimal form. Proc. Nat. Electr. Conf. 1959. Chicago.
- [4] Galabi, L.: A solution of the minimization problem for Boolean formulas. PML SR-7-3471 1960.
- [5] Calabi, L.: On the theory of Boolean formulas: construction of formulas of minimal cost. J. Soc. Ind. Appl. Math. Vol 11. 3, 521-525 /1963/
- [6] Calabi, L.: Relations between switching networks and Boolean formulas. AFCRL 153 /1961/
- [7] Calabi, L., Samson, E.W.: On the theory of Boolean formulas:
I. Subformulas and substitution operators. AFCRL 65-321.
II. Allowable replacements for subformulas. AFCRL 65-640.
III. Shortest and prime formulas. AFCRL 66-101.
- [8] Choudhury, A.K., Basu, M.S., Das, S.R.: On a method of simplification of multiple output switching functions. J. Electr. and Contr. 16. No. 2. 223-237 /1964/
- [9] Chu, Y.: Digitális számítógépek tervezésének alapjai. Müsz.K. Bp. 1966.
- [10] Ewing, A.C., Roth, J.P., Wagner, E.G.: Algorithms for logical design. Commun. and Electron., No.56. 450-458 /1961/
- [11] Harrison, M.A.: Introduction to switching and automata theory. McGraw Hill 1965.
- [12] House, R.W., Radó, T.: On a computer program for obtaining irreducible representations for two level multiple input output logical systems. Journal ACM 10. No.1. 48-77 /1963/
- [13] Ivanescu, P.L., Rudeanu, S.: Minimization of switching circuits in actual operation. Rev. Roum. Math. Pures et Appl. XII. 3. 407-444 /1967/
- [14] Казаков, В.Д.: Минимизация логических функций большого числа переменных. Автоматика и телем. вып. 23 /1962/9. I237-I242
- [15] Ledley, R.S.: Boolean matrix equations in digital circuit design. IRE Trans. EC-8 131-139 /1959/
- [16] McCluskey, E.J.: Simplifying of Boolean functions. BSTJ 35. 6. 1417-1444 /1956/

- [17] Mott, H., Carrol, C.C.: Numerical procedures for Boolean function minimization.
IEEE Electr. Comput. EC-13 No.4. 470 /1964/
- [18] Поспелов, Д.А.: Логические методы анализа и синтеза схем.
Москва, 1964.
- [19] Prather, R.: Computational aids for determining the minimal form of a truth function.
J. Assoc. Comp. Mach. 7. 299-310 /1960/
- [20] Roth, J.P.: Algebraic topological methods in synthesis. Proc. Inform. Symp. Theory of Switching 1957.
- [21] Roth, J.P.: Minimization over Boolean trees. IBM Journal 4. No.5. 543-558 /1960/
- [22] Roth, J.P., Karp, R.M.: Minimization over Boolean graphs.
IBM Journal 6. No.2. 227-238 /1962/
- [23] Rudeanu, S.: Aximatization of certain problems of minimization.
Studia Logica 37-61 /1967/
- [24] Samson, E.W., Calabi, L.: On the theory of Boolean Formulas: minimal including sums I.II. J. Soc. Ind. Appl. Math. 11. 212-223 /1963/
- [25] Steinberg, A.: The backboard wiring problem a placement algorithm.
SIAM Rev. 3. No.1. 37-50 /1961/
- [26] Waligórski, S.: On normal equivalents of truth functions.
Algorithmy No.1. 11. 73-95 /1962/
- [27] Wang-Hao: Circuit synthesis by solving sequential Boolean equations.
Zeitschrift f. Math. Logik u Grundlagen d. Math. 5 /1959/

F Ü G G E L É K 1

AZ AVO1 PROGRAM BLOKKVÁZLAT

/FŐPROGRAM/



n: változók száma

FO = $K^0(f)$

F1 = $K^0(f) \cup T$

M: FO "előjel" tömbje

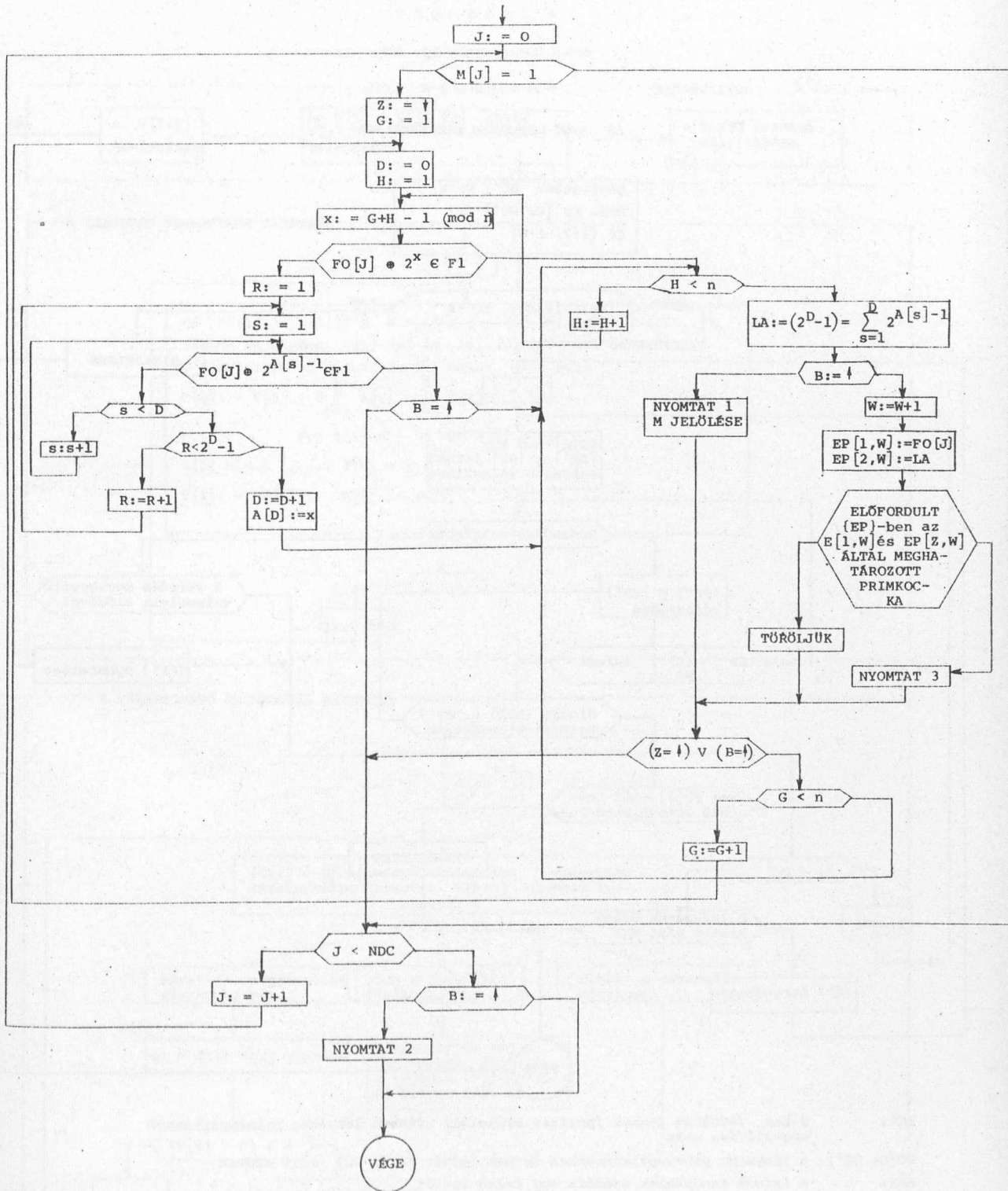
EP: a választható primkockákat gyűjtő tömb

T = ↓ ha FO minden elemét lefedték lényeges primkockákkal

B = ↑ lényeges primkockák keresése

B = ↓ választható primkockák keresése

F Ü G G E L É K 2
AZ AV01 PROGRAM BLOKKVÁZLATA / PRIMIMPLIKANS /



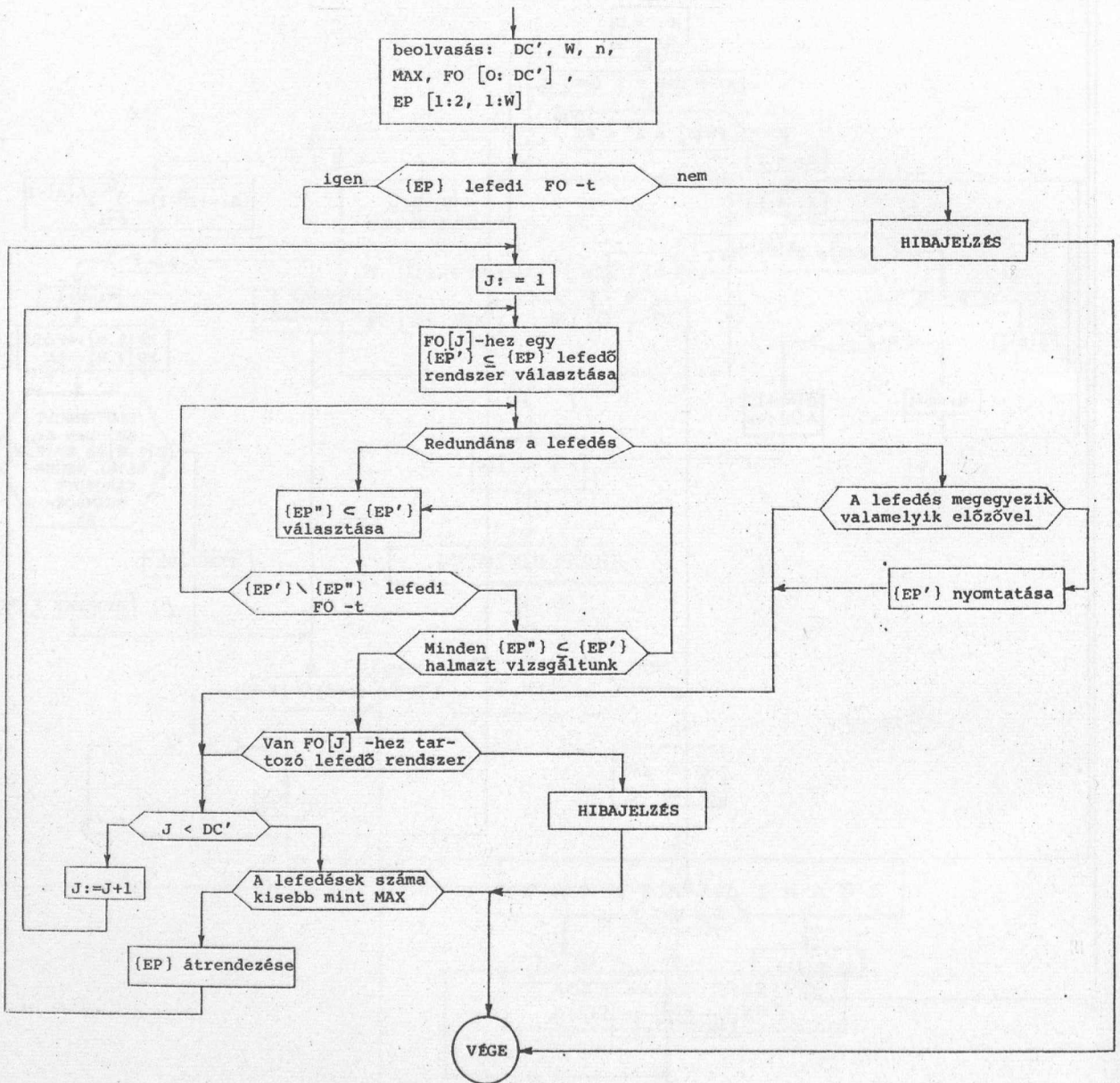
M JELÖLÉSE: a lényeges primkockák képzésére felhasznált elemeknek megfelelő előjelek ellenkezőjére változtatása

NYOMTAT 1 és NYOMTAT 2: a lényeges primkockák nyomtatása

NYOMTAT 3: a választható primkockák nyomtatása

F Ü G G E L É K 3

AZ AVO2 PROGRAM BLOKKVÁZLATA



DC': M-ben /AVO1/az 1-esek /pozitív előjelek/ száma a lényeges primimplikánsok megtalálása után

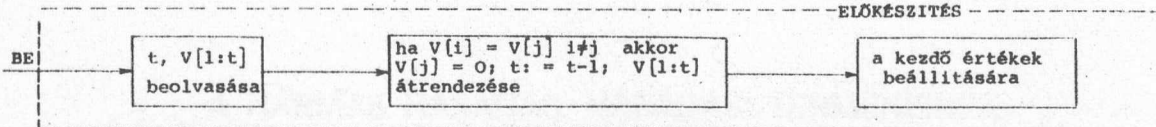
FO[0: DC']: a lényeges primimplikánsokkal le nem fedett FO[0: DC] -beli elemek

MAX: a lefedő rendszerek számára egy felső korlát

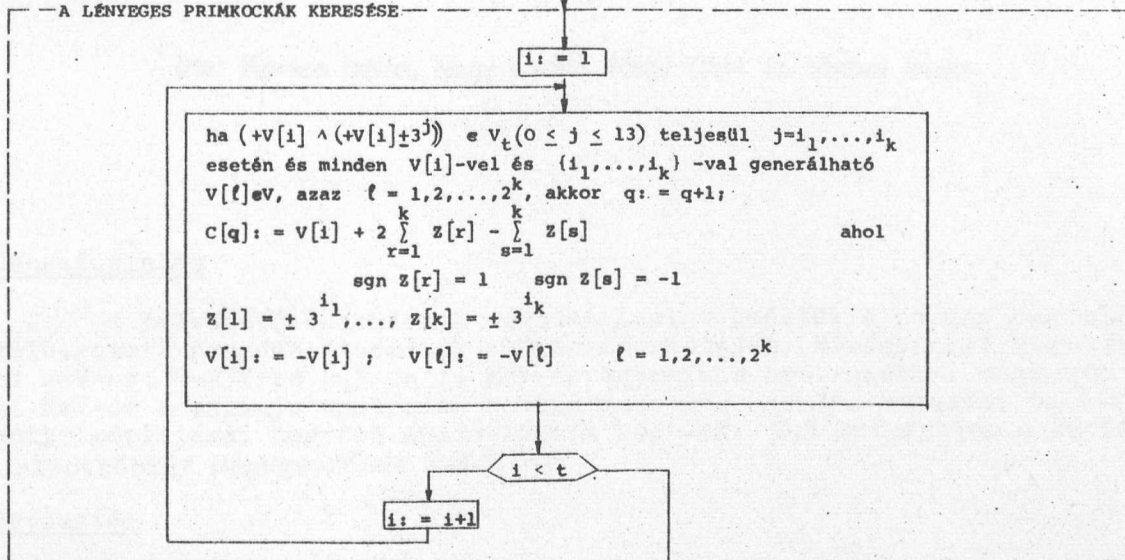
F Ü G G E L É K 4

AZ AM01 PROGRAM BLOKVÁZLATA

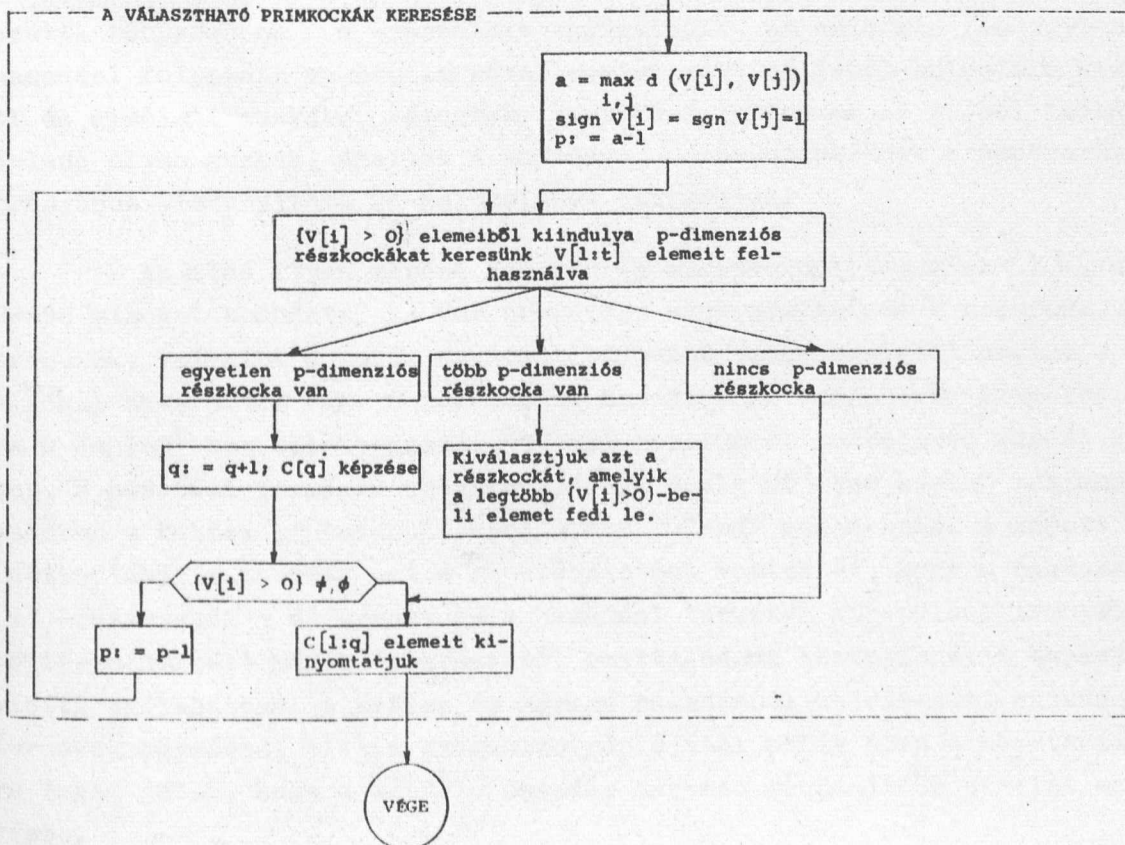
ELŐKÉSZÍTÉS



A LÉNYEGES PRIMKOCKÁK KERESÉSE



A VÁLASZTHATÓ PRIMKOCKÁK KERESÉSE



A HÁRMAS HASADÁS HASADÁSI TERMÉKEINEK SZÖGANIZOTRÓPIÁJA U-235 és U-238 ESETÉN

Írta: Kovács István, Nagy László, Nagy Tibor és Vinnay István

Összefoglalás

Félvezető detektorok segítségével megmértük a hármashasadáskor keletkezett hasadási termékek szöganizotrópiáját. Méréseinket U-238 magra 14 MeV-os, U-235-re 2,5 és 14 MeV-os energiájú neutronokkal végeztük. 14 MeV-os energiájú neutronok esetén a kettes hasadás hasadási termékeinek anizotrópiájánál nagyobb anizotrópiát kaptunk. 2,5 MeV esetén a kétféle anizotrópiát megegyezőnek találtuk.

Bevezetés

A könnyű töltött részecske emisszióval járó hármashasadásnál az esetek többségében α -részecske emittálódik. Az emisszió /és egyben a hasadási folyamat/ mechanizmusának megismerése céljából különféle kísérleti és elméleti munkákat végeztek. Ezek közé tartoznak az utóbbi időben megjelenő olyan munkák, amelyek a hasadási α -részecskéknél a neutronnyaláb irányához viszonyított szögeloszlását vizsgálják.

Az első ilyen mérést Ramanna és munkatársai végezték [1], akik U-238 magokat bombáztak 14 MeV energiájú neutronokkal, és a hasadási α -részecskéket, valamint a nehéz hasadási termékek szögeloszlását emulziós technikával határozták meg. A kb. 180 db hasadási α -részecske szögeloszlására 0 és 180°-ban kicsucsosodó, 90°-nál minimummal rendelkező görbét kaptak, a hasadási termékek szögeloszlására pedig 90°-ban kaptak maximumot, szemben a kettes hasadással, ahol a max. 0°-nál mutatkozik. A kapott anizotrópiából a szerzők azt a következtetést vonták le, hogy a hasadási α -részecskék a deformált és a hasadási termékek kirepülési irányába töltéspolarizált magok nyakrészéből emittálódnak közvetlenül a hasadás előtti pillanatban. A kettes és hármashasadásnál keletkezett hasadási termékek egymástól eltérő szöganizotrópiájából pedig arra a következtetésre lehet jutni, hogy a kétféle hasadás más-más mechanizmus szerint megy végbe.

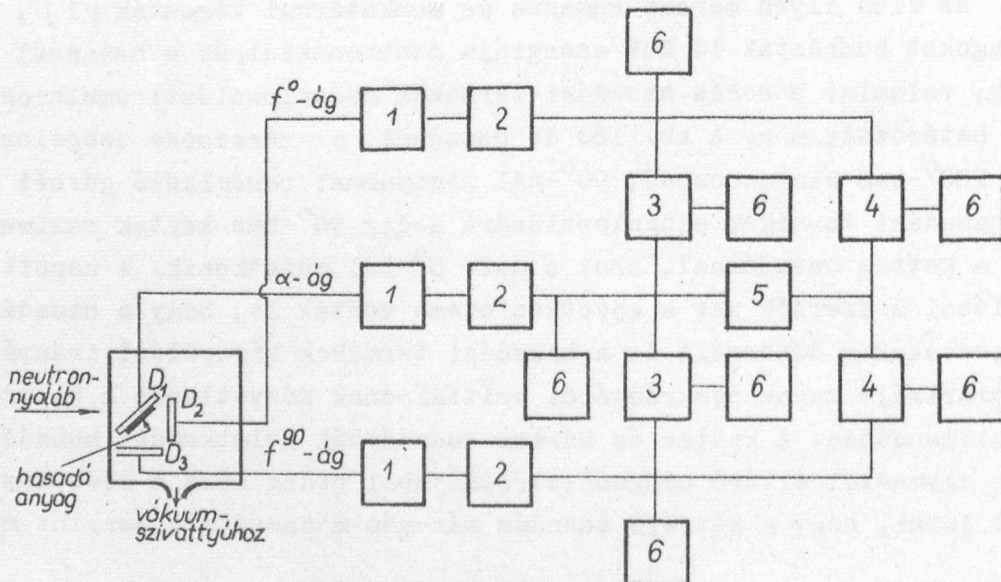
Hattangadi és munkatársai 3 MeV-os neutronokkal bombázott U-235 magok hasadásánál keletkezett hasadási α -részecskék szögeloszlását vizsgálták [2]. Az α -részecskéket szilícium félvezető detektorokkal, a hasadási termékeket pedig gázszcintillációs számlálóval regisztrálták. Az α -részecskék szögeloszlására a mérések eredményeként az [1] munkában 14 MeV-os neutronokkal kapott anizotrópiával megegyező irányu, $(32 \pm 12)\%$ -os anizotrópiát találtak. Nadkarni két különböző módszerrel megismételte a [2]-ben közölt mérést, s a pontosabb mérések eredményeként a hasadási termékek anizotrópiájára $N(17^\circ) / N(80^\circ) = (0,85 \pm 0,12)$, illetve $N(0^\circ) / N(90^\circ) = (0,89 \pm 0,10)$ értéket kapott [3]. Az első esetben a hasadási termékeket rácsos ionizációs kamrával, az α -részecskéket CsI szcintillátorral, a második esetben mindkét részecsketípust félvezető detektorral detektálta.

Gillet és munkatársai [4] megismételték az [1] mérést. Publikációjukban 106 hármass hasadásból kapott hasadási α -részecske szögeloszlását közlik. Szerzők szerint, szemben az [1]-ben kapott eredménnyel, legfeljebb kis anizotrópia lehetséges.

A hasadási α -részecskék szögeloszlásának kérdése tehát még nem tisztázódott megnyugtatóan. További vizsgálatok szükségesek. Jelen munkában U-238 mag esetén 14 MeV energiájú neutronokkal, U-235 mag esetén pedig 2,5 és 14 MeV energiájú neutronokkal végeztünk az előzőekhez hasonló jellegű méréseket.

Mérési módszer

A berendezés blokksémáját az 1. ábra mutatja.



1. ábra

A hasadási α -részecskéket és a hasadási termékeket szilícium félvezető detektorokkal detektáltuk (D_1, D_2, D_3), amelyek vákuumkamrában foglaltak helyet. A D_1 detektor detektálta a hasadási α -részecskéket, D_2 és D_3 a nehéz hasadási termékeket. A D_2 detektor a neutronyaláb irányához képest 0° -ban, a D_3 a 90° -ban kilépő hasadási termékeket regisztrálta. Ez az elrendezés lényegében azonos a méréseink befejezése után megjelent publikációban közölttel [3]. A detektorban keletkezett impulzusok töltésérzékeny előerősítőknél (1) át 50 mV határérzékenységi diszkriminátorok (2) bemeneteire, majd koincidencia-berendezésbe (3) jutottak. A véletlen koincidenciákat az α -ág jeleinek 2 μ sec-os késleltetése (5) után a (4) koincidencia-berendezésekkel számoltuk. A blokk-sémában (6) jelzi a skálereket. A formált impulzusok 120-170 nsec-os fel-futásuak voltak. Ennek megfelelően a koincidencia-csatornák szélességeit 200 nsec-nak választottuk.

A detektorok hatásos felülete 300 mm^2 , a D_2 és D_3 detektornak D_1 detektortól való távolsága 2-2 cm volt. A D_1 detektort az 1,4 cm átmérőjű neutronforrástól 2,5 cm-re helyeztük el. A D_1 fajlagos ellenállása 3000, a D_2 és D_3 detektoré 300-300 ohmcm.

A hasadó anyagokat $9,7 \text{ mg/cm}^2$ vastagságú rozsdamentes acélfóliára vittük fel. A fólia a hasadási termékeket és a hasadó anyag radioaktív bomlásából származó α -részecskéket elnyeli, a hasadási α -részecskék többsége viszont át tud rajta hatolni. A fóliára a réteget ecseteléssel vittük fel, vastagságuk kb. 2 mg/cm^2 . A rétegek átmérője 22 mm, amit blendevel 19 mm-re csökkentettünk le. A rétegtartót a D_1 detektorra úgy helyeztük rá, hogy a rajta levő réteg a D_2 - D_3 detektorok irányába nézzen. A D_2 és D_3 detektoroknak a D_1 detektortól való távolságát a rétegből kirepülő α -részecskék számlálásával állítottuk be azonosra. A rétegtartó hátlapjára az α -oldali detektor és elektronika ellenőrzése céljából percenként kb. 500 α -részecskét sugárzó U-235 réteget kentünk fel.

A rétegek besugárzásához a neutronokat 200 kV-os gyorsítóval [5] $D(d,n)$ és $T(d,n)$ reakció útján állítottuk elő. Deutérium-target alkalmazásakor kb. $500 \mu\text{A}$ targetárammal dolgoztunk, trícium-target esetén azonban ezt az értéket a 14 MeV-os neutronok okozta nagy háttér miatt 10-20 μA -re kellett korlátozni.

Az α -oldalán a hasadási α -részecskék energiájából a target-tartó által elnyelt energián kívül elektromos diszkriminációval kb. 5 MeV-ot vágunk le. Az f -oldalán a diszkriminációs szinteket a hasadási termékek alsó határára, kb. 30 MeV-re állítottuk be.

A 14 MeV-os neutronokkal végzett méréseknél óránként átlagban 5, 2,5 MeV-os neutronok esetén 1 koincidencia-eseményt regisztráltunk. Ezért a mérések hosszú időt vettek igénybe. Az azonos mérési feltételek biztosítása érdekében a mérőberendezés főbb paramétereit a [6] cikkben leírt módon naponta kétszer ellenőriztük és szükség esetén helyesbítettük. Különös gondot kellett fordítani a detektorok működésére, mivel azok /főleg a nagyobb fajlagos ellenállású D_1 -detektor/ a nagy neutronintenzitás hatására fokozatosan leromlottak. A detektorok és az erősítők működésének stabilitását a természetes α -részecskék spektrumainak rendszeres felvétele alapján ellenőriztük.

A teljes mérőberendezés hitelesítése végett megmértük a termikus neutronok hatására előálló kettes hasadások hasadási termékeinek szögeloszlását. Ez esetben a várakozásnak megfelelően izotróp szögeloszlást kaptunk.

Mérési eredmények

Az f^0 - és f^{90} -ágban a D_2 és D_3 detektorból jövő impulzusok a nagy diszkriminációs küszöb miatt kizárólag hasadásokból származtak, ezek száma tehát a kettes hasadások számát adta. Ugyanakkor a D_1 detektor jeleinek a D_2 és D_3 detektor jeleivel adott koincidenciák száma - a véletlen koincidenciák levonása után - a hármas hasadások számát szolgáltatta.

Az I. táblázat mérési eredményeinket tartalmazza. Itt H^0 és H^{90} azoknak a hármas hasadásoknak a számát jelenti - a véletlen koincidenciák számának levonása után - amelyeknél a hasadási termékek a neutronnyaláb irányához képest 0^0 -, ill. 90^0 -ban repültek ki. $(H/K)^0$ és $(H/K)^{90}$ a hármas és kettes hasadások viszonyszámát jelenti a megfelelő irányokban. E viszonyszámok hányadosa nem függ a kettes hasadások anizotrópiájától, továbbá érzéketlen a D_2 és D_3 detektorok és a hasadóanyag közötti távolság beállításának pontatlanságára, az energiaküszöbök esetleges megváltozására.

	U-235			U-238		
	$\frac{(H/K)^0}{(H/K)^{90}}$	H^0	H^{90}	$\frac{(H/K)^0}{(H/K)^{90}}$	H^0	H^{90}
2,5 MeV	$1,06 \pm 0,13$	153	130			
14 MeV	$1,30 \pm 0,11$	949	592	$1,45 \pm 0,12$	1204	607

Ismeretes, hogy a kettes hasadás hasadási termékei előre irányuló szöganizotrópiát mutatnak. Méréseink szerint 14 MeV-os neutronok hatására bekövetkező hármas hasadás esetén az anizotrópia még erőteljesebb: U-235 esetén 30 %-kal, U-238 esetén pedig 45 %-kal nagyobb, mint kettes hasadásnál. Minthogy a hasadási α -részecskék nagy valószínűséggel a hasadási termékek repülési irányára merőleges irányba emittálódnak, eredményeinkből az következik, hogy a hasadási α -részecskék szögeloszlása a neutronok irányához képest 90° -ban kicsucsosodó; vagyis ellentétes irányu anizotrópiát kaptunk, mint Ramanna és munkatársai [1].

2,5 MeV-os energiájú neutronokkal végzett méréseink szerint a hármas és kettes hasadáskor a hasadási termékek szöganizotrópiája a hibahatáron belül megegyezik és összefér Nadkarni [3] eredményével.

Magas gerjesztési energiákon, a statisztikus modellen alapuló számítások szerint [7] a hasadási termékek szögeloszlásának anizotrópiája:

$$\frac{w(0^\circ)}{w(90^\circ)} = 1 + \frac{I_m^2}{8K_0^2}$$

ahol K_0 a hasadó mag impulzusmomentum-vetületének átlagértéke a mag szimmetriatengelyének irányában, I_m pedig a lehetséges maximális impulzusmomentuma.

Méréseink szerint a hármas hasadás hasadási termékeinek anizotrópiája nagyobb, mint a kettes hasadás termékeinek anizotrópiája, amiből a fenti képlet alapján arra következtethetünk, hogy a hármas hasadáshoz vezető állapotokban a K_0 átlagérték kisebb, vagyis az α -emisszió valószínűsége kisebb K értékek esetén nagyobb.

A mérésben felhasznált berendezések jelentős részének megtervezéséért köszönetünket fejezzük ki Szabó Lászlónak.

Balás Dénes és Udvarhelyi Pál kartársaknak a mérésekhez nyújtott technikai segítségért, Keve Kingának a szükséges numerikus számítások elvégzéséért mondunk köszönetet.

I r o d a l o m

- [1] Ramanna, R., Nair, K.G., Kapoor, S.S.: Phys. Rev. 129, 1350 /1963/
- [2] Hattangadi, V.A., Methasiri, T., Nadkarni, D.M., Ramanna, R., Rama Rao, P.N.: Proceedings of the Symposium on the Physics and Chemistry of Fission, Vienna, Vol. II. 397 /1965/

- [3] Nadkarni, D.M.: Nucl.Phys. A112, 241 /1968/
- [4] Gillet, A., Thu Phong Doan, Carles, C., Chastel, R.: Compt.Rend.
262, 296 /1966/
- [5] Pásztor E., Veress I.: KFKI Közl. 13, 273 /1965/
- [6] Nagy L., Nagy T., Vinnay I.: KFKI Közl., 15 85 /1967/
- [7] Halpern, I., Strutinski, V.M.: Proc.Soc.U.N.Conf. Peaceful Uses At.
Energy, Geneva, 1958, v. 15, p. 408.

Érkezett: 1968. jul. 9.

KFKI Közl., 16.évf. 5.szám, 1968.

MEGJEGYZÉSEK AZ (n, 2n) REAKCIÓK HATÁSKERESZTMETSZETÉNEK HÉJEFFEKTUSÁRÓL

Irta: Ádám András és Jéki László

Összefoglalás

Megmutatjuk, hogy a Q reakció küszöbenergia héjefektusának figyelembevételével az /n,2n/ reakciók hatáskeresztmetszete leírható egy csak az (N-Z)/A szimmetriaparamétertől függő összefüggéssel. A számított hatáskeresztmetszet értékek jó egyezése a kísérleti értékekkel arra mutat, hogy az a nivósűrűség-paraméter héjefektusának és a δ párenergia hatására a kísérleti adatok jelenlegi pontossága mellett nem mutatható ki az /n,2n/ reakció hatáskeresztmetszeteiben.

Bevezetés

Az utóbbi években számos szerző megállapította, hogy a 14 MeV energiájú neutronokkal előidézett /n,p/, /n, α / és /n,2n/ reakciók hatáskeresztmetszeteiben héjefektusok jelentkeznek, amelyeket az állapotsűrűség-paraméter /a/ és a reakció küszöbenergia / Q / mágikus neutron- illetve protonszámoknál jelentkező változásaival, valamint a δ párenergiaával hoztak kapcsolatba [1-5].

Az /n,p/ reakciókat vizsgálva Gardner és Rosenblum [6] megmutatta, hogy a kísérleti adatok jelenlegi pontossága mellett héjefektus nem mutatható ki a hatáskeresztmetszetben. Az /n,p/ reakciók hatáskeresztmetszetét széles tömegszám-tartományban a kísérleti adatokkal igen jó egyezésben írja le a Levkovski-egyenlet [7]:

$$\sigma(n,p) = c_1 \cdot f(A) \cdot \exp\left(-c_2 \cdot \frac{N-Z}{A}\right) \quad /1/$$

ahol $f(A) = (A^{1/3} + 1)^2$

Gardner szerint a Levkovski-egyenlet által leírt "target effektus" a meghatározója a hatáskeresztmetszetnek, a valódi héjefektusok csak másodrendben jelenthetnek korrekciót.

Az /n,2n/ reakciók hatáskeresztmetszeteiben jelentkező héjefektusok területén kevésbé tisztázott a helyzet, mint az /n,p/ reakciók esetében. P. Strohal [1] erős minimumot mutatott ki az /n,2n/ hatáskereszt-

metszetben $N = 50$ -nél. M. Bormann [2] páratlan protonszámánál $N = 20$, páros protonszámánál $N = 28, 50$ körül fellépő maximumot, illetve minimumokat a reakció küszöbenergia változásaival magyarázza, míg a páratlan protonszámánál $N = 28, 50, 82$ és 126 -nál, páros protonszámánál $N = 82, 126$ -nál fellépő maximumokat az állapotsűrűség-paraméter héjefektusának hatására vezeti vissza. F. Manero [3], a protonpárosságot is figyelembe véve, kapcsolatot talált a neutron és proton héjak és alhéjak lezáródása és a hatáskeresztmetszet értékei között. B. Cuzzocrea és S. Notarrigo [4] a Q függés eliminálása után is minimumokat mutat ki $N = 20, 28, 50$, valamint $N = 71$ és 90 -nél. R. Rieder [20] saját mérései alapján cáfolja a héjefektus létezését az $N = 50$ körüli tartományban. P. Hille [9] a mért hatáskeresztmetszet adatok sima $\frac{N-Z}{A}$ függése alapján kvalitatíve megállapítja, hogy a jelenlegi mérési hibák mellett nem mutatható ki semmilyen héjefektus. M.P. Menon és M.Y. Cuypers [21] mérései alapján megállapítja a nivósűrűség-paraméter héjefektusának és a párenergia hatásait a hatáskeresztmetszetre $N = 82$ környékén.

Fenomenológikus egyenlet

Az $/n,p/$ reakciókra vonatkozóan Levkovski megállapította, hogy a protonkibocsátás valószínűsége nő a relatív protonkoncentráció növekedésével. Várható, hogy a neutronkibocsátás valószínűsége a relatív neutronkoncentrációval lesz kapcsolatos, tehát növekvő $\frac{N-Z}{A}$ -val növekvő $/n,2n/$ hatáskeresztmetszet várható. Mint már megmutatták [8-9], az $/n,2n/$ reakció hatáskeresztmetszetében erős $N-Z$ függés észlelhető. Az összegyűjtött kísérleti adatokat megkíséreljük leírni egy

$$\sigma_{\text{emp}}(n,2n) = \left[1 - c_1 \cdot f(A) \cdot \exp\left(-c_2 \cdot \frac{N-Z}{A}\right) \right] \cdot c_3$$

/2/

$$\text{ahol } f(A) = (A^{1/3} + 1)^2$$

alku fenomenológikus egyenlettel, mely a Levkovski megállapításai alapján várt összefüggést tartalmazza a hatáskeresztmetszet és a relatív neutronkoncentráció között. Az egyenletben szereplő konstansokat fitteléssel határozzuk meg.

A különböző magokon 14 MeV bombázó neutronenergiánál mért hatáskeresztmetszet-adatok összevetését megnehezítik a különböző Q értékek, mivel a reakcióküszöb közelében a hatáskeresztmetszet erősen függ $E_{\text{exc}} = E_n - Q$ értékétől. Ahhoz, hogy az $/n,2n/$ hatáskeresztmetszetek alapján a nivósűrűség és a párenergia héjefektusának hatására következtethessünk, ki kell

küszöbölni a reakció küszöbenergia héjeffektusát oly módon, hogy $E_{exc} = E_n - Q = \text{const}$ -nak megfelelő bombázó energiánál hasonlítjuk össze a hatáskeresztmetszet-értékeket. Célunk az, hogy a Q függést kiküszöbölve megvizsgáljuk, leírhatók-e a kísérleti adatok a /2/ fenomenológikus egyenlettel. Így eldönthető, hogy van-e szerepe az a és δ héjeffektusának.

Eredmények

Az összegyűjtött adatok többsége közvetlen mérési eredmény $E_n = Q + 3$ MeV energián. Néhány esetben a 14 MeV-en mért értékből extrapoláltunk $E_n = Q + 3$ MeV energiára. Az extrapolációt a Weisskopf-formulával végeztük [10]:

$$\sigma(n, 2n) = \sigma_c \cdot \left[1 - \left(1 + \frac{E_{exc}}{T} \right) e^{-\frac{E_{exc}}{T}} \right]$$

$$\text{és } T = \sqrt{\frac{E_n}{0,115 \cdot A}}$$

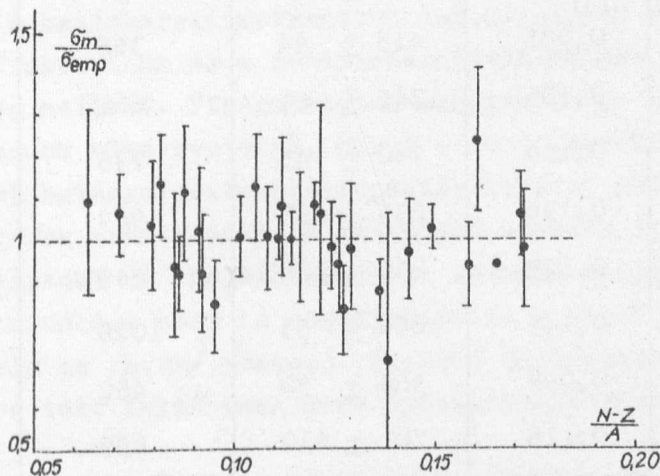
σ_c értékét a Weisskopf-formulának a gerjesztési függvényhez illesztéséből határoztuk meg. Q értékeit [11] táblázatából vettük. A kísérleti adatokat a /2/ egyenlettel fitteltük. A fittelésből meghatározott legjobb paraméterek:

$$c_1 = 0,061$$

$$c_2 = 8,6$$

$$c_3 = 2050 \text{ mbarn}$$

A kísérleti és a számított értékek egyezése a $4 \leq N-Z \leq 21$ tartományba eső magok esetében igen jónak mondható /1. ábra, 1. táblázat/.



1. ábra

A mért és /2/ egyenletből számított hatáskeresztmetszet-értékek hányadosa $\frac{N-Z}{A}$ függvényében

1. táblázat

A /2/ egyenlet paramétereinek meghatározására felhasznált /n,2n/ hatáskeresztmetszet mérési eredmények / σ_m / és a legjobb paraméterrel számított hatáskeresztmetszet-értékek / σ_{emp} /.

Target mag	$\frac{N-Z}{A}$	σ_m	σ_{emp}	Ref
1.	2.	3.	4.	5.
^{55}Mn	0,091	750 \pm 112	731	8 M ^x
^{56}Fe	0,071	500 \pm 40	470	2 M
^{59}Co	0,085	570 \pm 105	609	13 M
^{63}Cu	0,079	495 \pm 74	478	8 M
^{65}Cu	0,108	810 \pm 120	805	8 M
^{64}Zn	0,063	254 \pm 50	232	2 M
^{66}Zn	0,091	550 \pm 83	598	8 M
^{70}Zn	0,143	1065 \pm 130	1092	8 E ^x
^{69}Ga	0,101	690 \pm 65	685	13 M
^{71}Ga	0,127	780 \pm 100	941	8 M
^{70}Ge	0,086	447 \pm 45	486	14 M
^{76}Ge	0,158	1095 \pm 120	1169	14 E
^{75}As	0,120	910 \pm 40	838	13 M
^{74}Se	0,081	415 \pm 44	368	15 E
^{76}Se	0,105	745 \pm 81	661	15 E
^{79}Br	0,114	740 \pm 45	738	16 E
^{81}Br	0,136	835 \pm 65	949	16 E
^{85}Rb	0,129	830 \pm 125	849	8 M
^{87}Rb	0,149	1056 \pm 53	1026	13 M
^{84}Sr	0,095	380 \pm 50	452	1 M
^{86}Sr	0,116	701 \pm 110	699	2 M

^x M: mérés $E_n = Q + 3$ MeV energián
 E: $E_n = Q \mp 3$ MeV energiára extrapolált 14 MeV-es mérési adat

1.	2.	3.	4.	5.
^{88}Sr	0,136	215 ± 24 ^{xx}	898	1 M
^{89}Y	0,124	751 ± 80	764	2,8,20 M
^{90}Zr	0,111	608 ± 30	605	2 M
^{93}Nb	0,118	384 ± 60 ^{xx}	664	2 E
^{92}Mo	0,087	280 ± 40	251	8 M
^{100}Mo	0,160	1295 ± 180	1045	17 E
^{103}Rh	0,126	642 ± 80	682	2 E
^{107}Ag	0,121	630 ± 141	592	18 E
^{109}Ag	0,138	553 ± 262	777	18 E
^{108}Cd	0,111	490 ± 75	453	19 E
^{116}Cd	0,172	1044 ± 147	1066	19 E
^{123}Sb	0,171	1090 ± 100	1025	13 M
^{127}J	0,165	900	951	13 M

^{xx} A mérési eredmény csak az alapállapotra vezető reakció hatáskeresztmetszetét tartalmazza.

Következtetések

Mivel a /2/ fenomenológikus egyenlet egyaránt jól adja meg a hatáskeresztmetszet-értékeket az $N = 50$ mágikus szám környékén és attól távol, megállapíthatjuk, hogy a reakció küszöbenergia héjefektusának kiküszöbölése után a hatáskeresztmetszetben nem mutatható ki az a nivósűrűség-paraméter héjefektusának és a protonenergiának hatása a kísérleti adatok jelenlegi hibája mellett. Vizsgálataink alapján a δ_n neutron párenergia hatására nem tudunk következtetni, mivel a rendelkezésre álló, aktivációs analízissel mért hatáskeresztmetszet-adatok kivétel nélkül páros neutron-számu targetmagokra vonatkoznak. A különböző szerzők által megállapított héjefektusok egyedül Q héjefektusának következményei. P. Guzzocrea [4] a Q függés eliminálása után is megállapította a héjefektusok létezését, azonban az általa az /n,2n/ reakció telítési hatáskeresztmetszetére és a maghőmérsékletre tett feltevések megalapozatlannak tűnnek.

A /2/ egyenlet alapján becsülhető bármely magra az /n,2n/ reakció hatáskeresztmetszete. Az $E_{\text{exc}} = 3$ MeV-re számított értékből /3/ felhasználásával tetszőleges energián meghatározhatjuk a hatáskeresztmetszetet.

I r o d a l o m

- [1] Strohal, P., Cindro, N., Eman, B.: Nucl.Phys. 30, 49 /1951/
- [2] Bormann, M.: Nucl. Phys. 65, 257 /1965/
- [3] Manero, F.: Int. Conf. on the Study of Nuclear Structure with Neutrons, Antwerp /July 19-23 1965/ p. 120
- [4] Cuzzocrea, P., Notarrigo, S.: Report INFN/BE 65/3.
- [5] Chatterjee, A.: Nucl.Phys. 47, 521 /1963/, Nucl.Phys. 49, 686 /1963/
- [6] Gardner, D.G., Rosenblum, S.: Nucl.Phys. A96, 121 /1967/
- [7] Левковский, В.Н., ЭТФ. 45, 305 /1963/
- [8] Csikai, J., Pető, G.: Acta Phys. Hung. 23, 87 /1967/
- [9] Hille, P.: Nucl.Phys. A107, 49 /1968/
- [10] Blatt, J.M., Weisskopf, V.F.: Theoretical Nuclear Physics, John Wiley et Sons Inc., New York /1952/
- [11] Howerton, R.J. et al. Report UCRL-14000 /1964/
- [12] Barr, D.W., Brown, C.I., Gilmore, J.S.: Phys. Rev. 123, 859 /1965/
- [13] Jessen, P. et al. Compilation of experimental excitation function of some fast neutron reactions up to 20 MeV, Hamburg /1965/
- [14] Wood, R.E. et al. Phys. Rev. 154, 1108 /1967/
- [15] Rao, P.V., Fink, R.W.: Phys.Rev. 154, 1023 /1967/
- [16] Minetti, B., Pasquarelli, A.: Report PT-IN 43 /1967.március/
- [17] Cuzzocrea, P., Perillo, E.: Nucl.Phys. A103, 616 /1967/
- [18] Cuzzocrea, P., Perillo, E., Notarrigo, S.: Report INFN/BE 867/13.
- [19] Yu, Y.W., Gardner, D.G.: Nucl.Phys. A98, 451 /1967/
- [20] Rieder, R.: Int. Conf. on the Study of Nuclear Structure with Neutrons, Antwerp /July 19-23 1965/, p. 123.
- [21] Menon, H.P., Cuypers, M.Y.: Phys. Rev. 156, 1340 /1967/

Érkezett: 1968. jun. 18.

KFKI Közl., 16.évf. 5.szám, 1968.

DIGITÁLIS SPEKTRUMSTABILIZÁTOR VIZSGÁLATA

Irta: Vajda Ferenc

Összefoglalás

Számításokat végeztünk az Elektronikus Főosztályon kifejlesztett digitális spektrumstabilizátor legfontosabb paramétereinek meghatározására. A berendezés alkalmazása stacioner esetben is a referenciacsucs kiszélesedését okozza, ez azonban a szabályozó által szolgáltatott beavatkozó jel ingadozás-eloszlásának szórásától függ, és így jól kézben tartható és korlátozható. Ha a hibát okozó paraméter változása az időben állandó, a csucs-eltolódás mértéke a korrekciós lépésméret/beütések közötti átlagos idő formájában definiált hibajelsebességtől függ, és a szabályozó rendszer paramétereinek megválasztásával gyakorlatilag tetszőleges kicsivé tehető. A létrehozott berendezés vizsgálatának eredményei jó egyezést mutatnak a számított értékekkel.

1. Bevezetés

Az elmúlt időszakban az Elektronikus Főosztályon egy, az egész energiaspektrométer-rendszert /detektor-erősítő-konverter/ magába foglaló digitális, visszacsatolt szabályozó típusú spektrumstabilizátort fejlesztettünk ki. A nukleáris mérésmetódika fejlődése, valamint az utóbbi időben új, korszerű detektortípusok egyre nagyobb elterjedése szükségessé tették a nukleáris mérőrendszerek továbbfejlesztését. A félvezető részecske-detektorok és elsősorban a germánium detektorok megjelenése a spektroszkópiail mérőrendszerekben egyrészt nagy felbontóképességű konverterek alkalmazását, másrészt az erősítő - analizátor rendszerek stabilitásának növelését teszi szükségessé [1]. Ez azt jelenti, hogy néhány MeV energia közelében, - ahol az előerősítő vonalszélesítő hatása már elhanyagolható, - a detektorok által biztosított felbontóképesség kihasználásához 10^{-4} alapszint /kivonás/, illetve konverziós tényező /erősítés/ stabilitással rendelkező rendszerekre van szükség.

Egy másik alapvető terület, ahol a nyert kísérleti adatok pontosságának, stabilitásának és reprodukálhatóságának a növelése egyre inkább előtérbe kerül, az aktivációs analízis. A sokkomponensű amplitúdóspektrumok gépi dekomponálásánál a kiértékelő módszerek jelentős része szükségesé teszi az energiaskála nagymértékű pontosságát és reprodukálhatóságát [2].

Kis aktivitásokkal való méréseknél /általában az un. alacsony-háttérű rendszereknél, mint például az egésztest számlálók/ az előbbi problémák bizonyos mértékig hatványozottabb formában jelentkeznek. Itt a stabilizálás szükségességét a kis beütésszámokból statisztikusan következő hosszú mérési idők és az így szükséges megfelelő hosszú idejű stabilitásértékek is indokolják [3].

A következőkben a létrehozott digitális spektrumstabilizátor [4] [5] hatását vizsgáljuk meg a mérőrendszer legfontosabb paramétereire, a csúcshelyzetre és a csucs félértékszélességére.

2. Definíciók és közelítések

A következő egységekben számolunk:

Az amplitudót /x/ a korrekciós lépésnagyság egységében fogjuk mérni, vagyis annak a változásnak az egységében, amelyet az eloszlás kezdőpontja végez minden egyes "korrekció" esetén.

Az x koordináta kezdőpontját a mért események eloszlása középértékével egybeesőnek választjuk.

Az időt /t/ a bemenő átlagbeütésszám reciprokának egységében, vagyis a beütések közötti közepes idő egységében mérjük.

A stabilizáló rendszer olyan, hogy adott - a rendszer pillanatnyi origójának megfelelő - értéknél nagyobb amplitudóju beütés ezt az origót pozitív irányba és a kisebb amplitudóju beütés negatív irányba mozgatja egy egységgel.

A következő három eloszlást definiálhatjuk:

A /x/ dx : a "valódi" eloszlás /beütés valószínűsége x és x + dx között/.

B /x/ dx : az előbbieken meghatározott origó valószínűsége x és x + dx között.

C /x/ dx : a mért eloszlás /annak a valószínűsége, hogy egy mért beütés az x és x + dx között van a B/x/ eloszlás által meghatározott origóra vonatkoztatva./

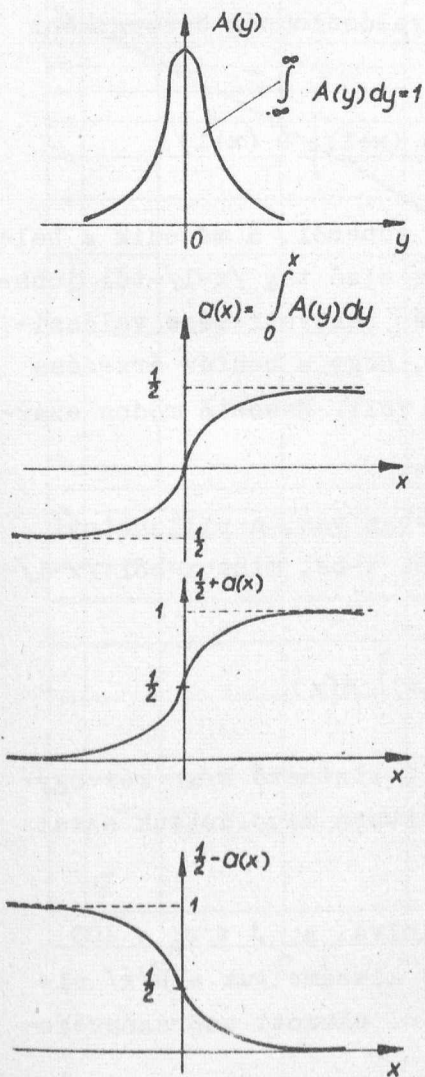
z /t/ dt : annak a valószínűsége, hogy az egymást követő beütések közötti idő t és t + dt közötti időintervallumba esik. Az egységválasztásból következik, hogy

$$\bar{t} = \int_0^{\infty} t \cdot z/t \, dt = 1$$

A következő közelítéseket tesszük:

1/ A számítás során az eloszlásokat x-ben folytonosnak fogjuk tekinteni, tehát figyelmen kívül hagyjuk, hogy az eloszlások hisztogramok a véges számú csatornába való adatgyűjtésnek megfelelően,

2/ Mint ahogy az előbb - a B/x/ eloszlás által meghatározott pillanatnyi origó definiálásánál-hallgatólagosan már feltételeztük, a stabilizáló rendszer ablakszélességeit a számításnál - az eloszlás szempontjából - végtelennek tekintjük, tehát az A/x/ eloszlásnak megfelelő minden beütés részt vesz a stabilizációs folyamatban.



1. ábra

A "valódi" eloszlás és az integrált "valódi" eloszlás

Definiálhatjuk a következő integrált valószínűségi eloszlást:

$$a(x) = \int_0^x A(y) \, dy$$

Mivel A/x/ középvértéke az x = 0-nál van és természetesen

$$\int_{-\infty}^{\infty} A(y) \, dy = 1$$

$$a(\pm\infty) = \pm \frac{1}{2}$$

Igy $\left[\frac{1}{2} - a(x) \right]$, illetve $\left[\frac{1}{2} + a(x) \right]$ beütések előfordulásának valószínűsége az x tengely jobb, illetve bal oldalán. Ha az eredeti A/x/ eloszlás szimmetrikus, akkor a/x/ az x páratlan függvénye /1. ábra/.

Számításainkban a B/x/ eloszlás meghatározására fogunk törekedni. T.i., ha B/x/ egyszer már ismert, a C/x/ eloszlás közvetlenül számítható

$$C(x) = \int_{-\infty}^{\infty} A(x+y) B(y) \, dy$$

Mivel ez az integrál minden olyan lehetséges esetét figyelembe vesz ahhoz, hogy x-nek megfelelő amplitudóju beütést kapjunk a mért eloszlásban; ha a "B" eloszlás által definiált pillanatnyi origó y-nál van és a

valódi eloszlásnak megfelelő amplitudó $/x+y/$.

A várható értékek, illetve szórások közötti összefüggés:

$$\begin{aligned}\bar{x}_C &= \bar{x}_A - \bar{x}_B \\ \sigma_C^2 &= \sigma_A^2 + \sigma_B^2\end{aligned}$$

3. Stacioner /hibajelmentes/ rendszer

A stabilizátor rendszer hatására az eloszlás ki fog szélesedni, vagyis az $A/x/$ valódi eloszlás helyett mért $C/x/$ oszlás szélesebb lesz a pillanatnyi origónak a számlálás következtében való - a $B/x/$ eloszlásnak megfelelő - ingadozása következtében.

Ebben az esetben a $B/x/$ eloszlás - amely más szóval annak a valószínűsége, hogy az origó éppen x -nél van - két valószínűség összegeként írható fel:

$$B(x) = \left[\frac{1}{2} - a(x-1) \right] B(x-1) + \left[\frac{1}{2} + a(x+1) \right] B(x+1)$$

Az egyenlet jobb oldalán az első tag a jobbról, a második a balról x -be való lépés valószínűségét fejezi ki. Az első tag $/x-1/-$ től jobbra lévő tartománynak megfelelő amplitudóju beütés bekövetkezése valószínűségének és annak a valószínűségnek a szorzata, hogy a beütés érkezése előtt a pillanatnyi origó éppen az $/x-1/$ helyen volt. Hasonló módon származtatható a második tag is.

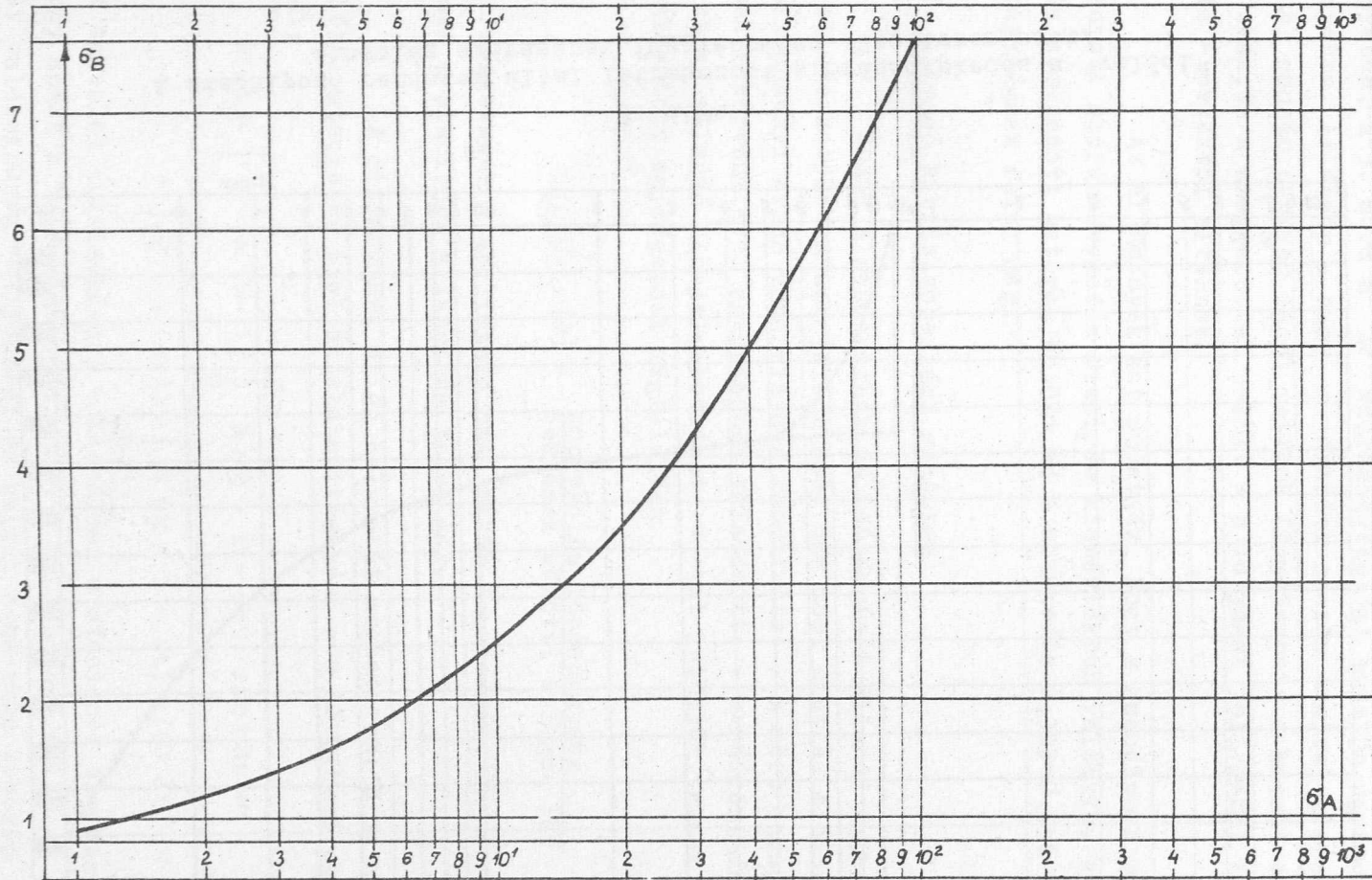
Mivel a rendszer statisztikus egyensúlyban van, a pillanatnyi origó ugyanolyan valószínűséggel mozdul $/x-1/-$ ből x -be, mint x -ből $/x-1/-$ -be, vagyis írható, hogy

$$\left[\frac{1}{2} - a(x-1) \right] B(x-1) = \left[\frac{1}{2} + a(x) \right] B(x)$$

Ez az összefüggés rekurziós formulának tekinthető $B/x/$ két egymás melletti értéke között. Az egyenletet numerikusan megoldottuk azzal a feltételezéssel, hogy $A/x/$ Gauss-eloszlás.

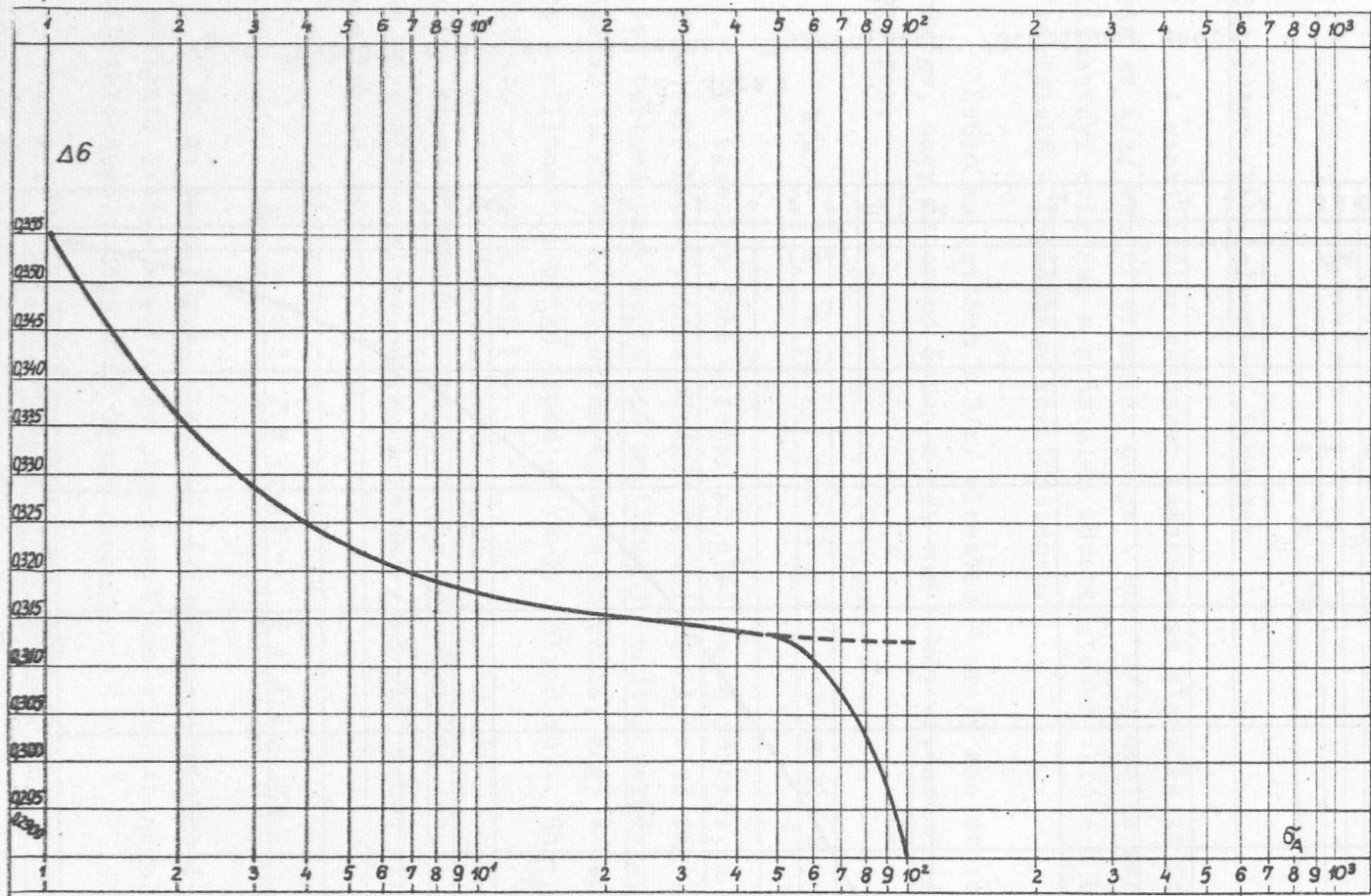
Az $A/x/$ eloszlás szórását σ_A -val jelölve, a $1 \leq \sigma_A \leq 100$ /korrekciós lépésméret nagyságban mért/ határok között kiszámoltuk a $B/x/$ eloszlást /ennek σ_B szórását/ és a szabályozó által okozott szórásnövekedést

$$\Delta\sigma = \sigma_C - \sigma_A$$



2. ábra

σ_B a "valódi" eloszlás szórásának függvényében. /Stacioner eset/



3. ábra

A szabályozó rendszer által létrehozott szórásnövekedés a "valódi" eloszlás szórásának függvényében./Stacioner eset/

vagyis a valódi eloszlás és a szabályozó alkalmazása esetén mért eloszlás szórásainak különbségét. A 2. ábrán a σ_B értékét ábrázoltuk σ_A függvényében, a 3. ábra a $\Delta\sigma$ szórásnövekedést mutatja ugyancsak σ_A függvényében. Az ábrán a nagy σ értékek esetén - mivel a programban a számításnál csupán negyven tagot vettünk figyelembe - a kapott eredmények nem pontosak, és a szaggatottal jelölt - a folyamat jellégéből következően várható - értéktől eltérnek.

Az eredmények azt mutatják, hogy a szabályozó rendszer által okozott szórásnövekedés kicsi, és kismértékben változik. A vizsgált esetben és a megadott határok között ez a növekedés 0,313-0,356 korrekciós lépésnagyságnak felel meg.

4. Állandó hibajelsebességi rendszer

Ennek a rendszernek az időfüggését állandó hibajelsebességgel jellemezhetjük. A hibajelsebesség nem más, mint az előzőekben megadott pillanatnyi origó vándorlása a koordináta, - a mért események eloszlásának középvonalával egybeesőnek választott, - kezdőpontjához képest. Ha ezt az állandó hibajelsebességet α -val jelöljük, ennek dimenziója a választott egységeknek megfelelően

$$[\alpha] = \frac{\text{korrekciós lépésnagyság}}{\text{beütések közötti átlagos idő}}$$

Természetesen stabilizáció csak akkor lehetséges, ha $\alpha < 1$, míg az $\alpha = 0$ eset a stacioner állapotnak felel meg.

A pillanatnyi origó helyzetét meghatározó $B/x/$ eloszlásra - az előbbi stacioner eset általánosításaként - a következő egyenlet írható fel:

$$B(x) = \left[\frac{1}{2} - a(x-1) \right] \int_0^{\infty} B(x-1-\alpha t) z(t) dt + \\ + \left[\frac{1}{2} + a(x+1) \right] \int_0^{\infty} B(x+1-\alpha t) z(t) dt.$$

Az egyenlet értelmezésére - hasonlóan a stacioner esethez - elmondhatjuk, hogy annak a valószínűségét, hogy a pillanatnyi origó az x helyen van, két valószínűség - a jobbról és balról x -be való érkezés valószínűsége - összegeként írhatjuk fel.

Az egyenletet nagymértékben egyszerűsíthetjük azzal a feltételezéssel, hogy $B/x/$ egész értékei között a lineáris interpoláció elegendő pontosságot biztosít.

Vagyis írható, hogy

$$B(x-1-\alpha t) = B(x-1) + \alpha t [B(x-2) - B(x-1)]$$

$$B(x+1-\alpha t) = B(x+1) + \alpha t [B(x) - B(x+1)]$$

mivel $\int_0^{\infty} z(t) dt = 1$ és az időegység választásból következően $\int_0^{\infty} t \cdot z(t) dt = 1$

ezeket az előbbi egyenletbe helyettesítve

$$B(x) = \left[\frac{1}{2} - a(x-1) \right] \left\{ B(x-1) + \alpha [B(x-2) - B(x-1)] \right\} + \left[\frac{1}{2} + a(x+1) \right] \left\{ B(x+1) + \alpha [B(x) - B(x+1)] \right\}$$

Ezt az egyenletet átrendezve egy rekurziós összefüggést kapunk B/x/ négy egymás melletti értéke között.

$$B(x+1) = B(x) \frac{1}{1-\alpha} \left\{ \frac{1}{\frac{1}{2} + a(x+1)} - \alpha \right\} - B(x-1) \frac{\frac{1}{2} - a(x-1)}{\frac{1}{2} + a(x+1)} - B(x-2) \frac{\frac{1}{2} - a(x-1)}{\frac{1}{2} + a(x+1)} \cdot \frac{\alpha}{1-\alpha}$$

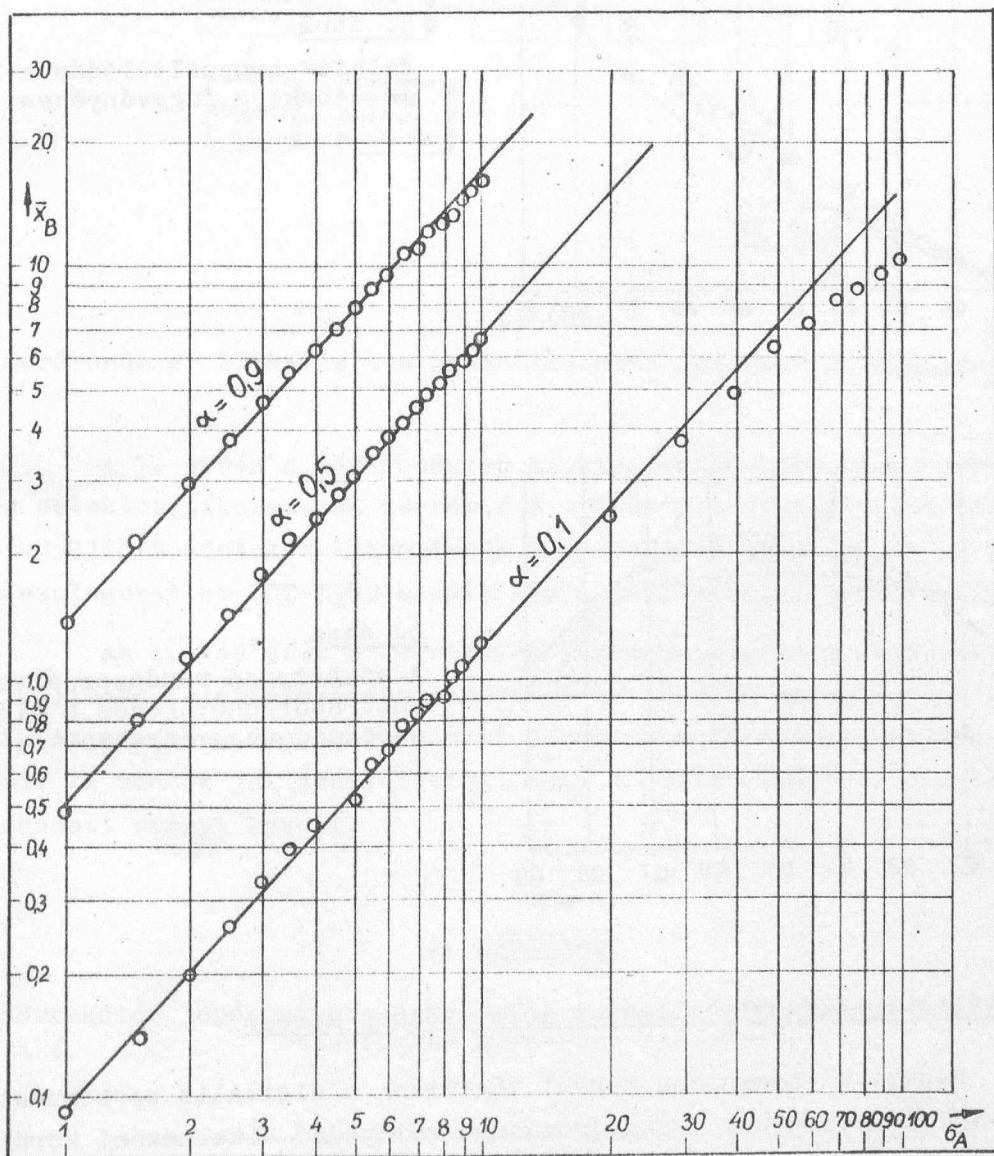
Mint az egyenletből látható, a beütések időbeli eloszlása nem szerepel, ha lineáris interpolációt alkalmazunk, csupán az átlagos beütésszám az α -ban explicit formában.

A számítást A/x/-re Gauss-eloszlást feltételezve különböző α -értékekre végeztük el. A 4. ábrán a B eloszlás várható értékét \bar{x}_B / adtuk meg $\alpha = 0,1; 0,5$ és $0,9$ esetén az "A" valódi eloszlás szórásának σ_A / függvényében. A mért C eloszlás várható értéke, mivel

$$\bar{x}_A = 0, \quad \bar{x}_C = -\bar{x}_B.$$

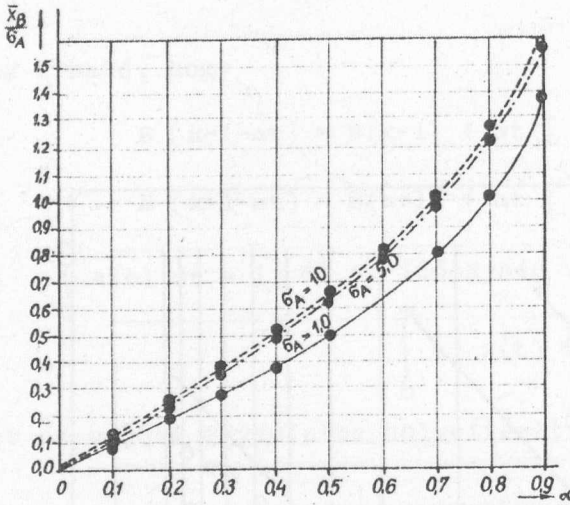
Az 5. ábrán a $\sigma_A = 1,0; 5,0$ és $10,0$ paraméterek mellett σ_A -ra vonatkoztatott - relativ csucseltolódás értékét rajzoltuk fel az α függvényében. Ez az érték arányosan változik α -val, és kis α értékekre az összefüggés közel lineáris.

A 6. ábrán a szabályozó rendszer által okozott szórásnövekedés $\Delta\sigma = \sigma_C - \sigma_A$ / értékét ábrázoltuk α függvényében. Hasonlóan a stationer esethez, a csucsszélesedésre jellemző mennyiség itt is kis értékű és az α ill. σ_A értéktől való függése is kismértékű.



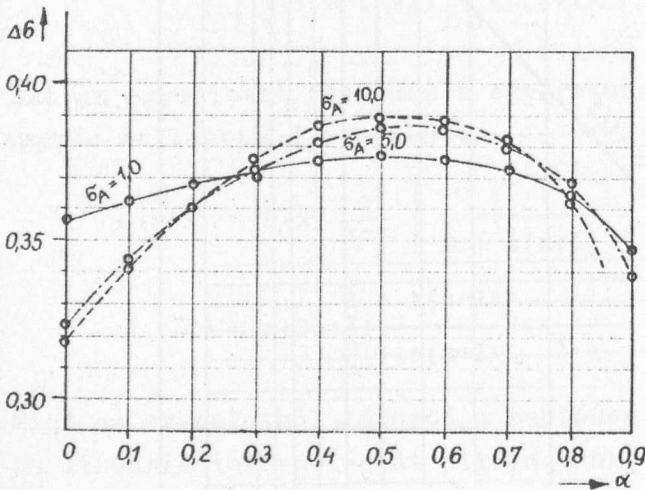
4. ábra

A "B" eloszlás várható értéke a "valódi" eloszlás szórásnak függvényében. /Állandó hibajel sebességű rendszer./



5. ábra

Relatív csúcstolódás a hibajel-sebesség függvényében



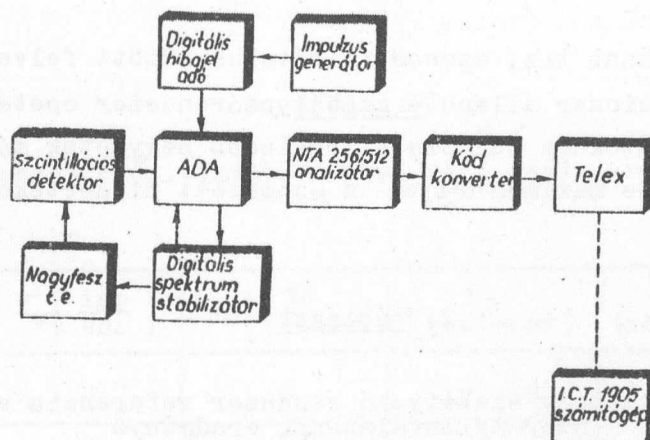
6. ábra

A szabályozó rendszer által okozott szórásnövekedés a hibajel-sebesség függvényében

5. Digitális spektrumstabilizátor jellemzőinek mérése

Rendkívül nagyszámu mérést végeztünk a digitális spektrumstabilizátor tulajdonságainak meghatározására különböző alkalmazási körülmények között. A következőkben itt csupán néhány jellemző mérési példát adunk meg a részletes vizsgálati eredmények közlése helyett.

A vizsgálatokat mesterséges paraméterváltozások segítségével végeztük. Ehhez egy digitális léptetőmotoros segédáramkört használtunk, amelynek segítségével az egyes egységek kezelőszervei változtathatók. Ez lehetővé tette az egyes mérőrendszer paraméterek/erősítés, alapszintkivonás, detektor tápfeszültség stb./ meghatározott változtatását széles határok között és a változási sebesség módosítását is egyszerű és ugyanakkor digitális módon /ennek az áramkörnek a bemenő átlagfrekvenciáját változtatva/.



7. ábra

A mérőrendszer blokkvázlata szcintillációs detektor alkalmazása esetén

A 7. ábrán a mérőrendszer blokkvázlatát láthatjuk. /Szcintillációs detektor alkalmazása esetén./ A sokcsatornás analízátor tárolójában összegyűjtött adatokat közvetlenül lyukszalagra irtuk ki, és az így nyert adatszalagokat az ICT-1905 számítógép segítségével értékeltük ki.

Az 1. táblázat a korrekciós lépésmagyság és a félértékszélesség /illetve félértékszélesség-növekedés/ közötti összefüggést szemlélteti. Az eredmények a szabályozott rendszer referenciavonalának félértékei. Az adatok jól szemléltetik, hogy a félértékszélesség növekedése a megadott arányt követi.

1. táblázat

A korrekciós lépésmagyság és a referenciacsucs félértékszélessége közötti összefüggés mérésének eredménye

Korrekciós lépésmagyság [csatorna]	Referenciavonal félértékszélessége [csatorna]
0,03	18,78 ± 0,15
0,05	18,82 ± 0,15
0,15	18,92 ± 0,15
0,25	19,05 ± 0,15
0,4	19,18 ± 0,15

A 2. táblázat tíz, azonos feltételek között felvett mérés eredményét mutatja stacioner állapotú szabályozórendszer esetén. A megadott adatok a mérési pontokhoz súlyozott legkisebb négyzetek módszerével illesztett Gauss görbe maximumhelyei a számított hibaértékekkel.

2. táblázat

Stacioner állapotú szabályozó rendszer referencia vonalhelyzet szórásvizsgálatának eredménye

$n_o \pm \Delta n_o$ [csatorna]	$193,44 \pm 0,09$	$193,52 \pm 0,06$	$193,46 \pm 0,09$
	$193,46 \pm 0,08$	$193,40 \pm 0,14$	$193,53 \pm 0,09$
	$193,62 \pm 0,09$	$193,49 \pm 0,10$	$193,42 \pm 0,11$
	$193,36 \pm 0,12$		

Az átlagérték $\bar{n}_o = 193,47$ csatorna, a négyzetes szórás értéke pedig $\sigma_{n_o} = 0,05$ csatorna, jó közelítést adja az elméletileg várható értéknek.

Egy állandó hibajelsebességű mesterséges erősítésvaltozással való mérés eredményeit vetjük össze a következőkben az elméleti úton nyert összefüggésekkel.

A 3. táblázatban a következő legfontosabb adatokat foglaltuk össze: f_o : hibajelfrekvencia /a hibajelet előállító digitális segédáramkört meghajtó impulzussorozat frekvenciája/, γ_o : hibajel lépésmagyság /a meghajtó sorozat egy impulzusának hatására bekövetkező erősítésvaltozás/, $n_o \pm \Delta n_o$: a mérési pontokhoz súlyozott legkisebb négyzetek módszerével illesztett Gauss-görbe maximumhelye illetve annak hibája.

További adatok: ablakszélesség: 4 csatorna. Korrekciós lépésmagyság: 0,15 csatorna. Átlagbeütésszám egy-egy ablakban: 17 beütés/sec. Mérési idő $T = 134$ sec.

Ennek alapján a teljes relatív erősítésvaltozás:

$$\frac{\Delta A}{A} = f_o \cdot \gamma_o \cdot T$$

kifejezés alapján számítható /1. 3. táblázat/.

3. táblázat

Mesterséges erősítésváltozással való mérés eredménye

Mérés száma	$f_o \left[\frac{\text{imp}}{\text{sec}} \right]$	$\gamma_o \left[\begin{smallmatrix} \% \\ \text{beütés} \end{smallmatrix} \right]$	n_o [csatorna]	Δn_o [csatorna]	$\frac{\Delta A}{A}$ [%]
1	0	0	192,86	0,05	0
2	1,6	0,46	192,12	0,05	10
3	3,2	0,46	191,57	0,05	20
4	8,0	0,46	190,17	0,07	50

A csucs félértékszélessége: 19,2 csatorna, vagyis $\sigma = 8,1$ csatorna /ami 34-nek felel meg a 0,25 korrekciós lépésmagyság egységében számolva/.

Az egyes ablakokba eső beütések közötti átlagos időegységére vonatkoztatott - korrekciós lépésmagyságban megadott - relatív hibajel-sebességek értékei tehát:

$$\alpha_1 = 0$$

$$\alpha_2 = \frac{19.2/0.15}{134.17} = \frac{128}{2280} = 0,056$$

$$\alpha_3 = 0,112$$

$$\alpha_4 = 0,280$$

A mért csucseltolódások /az $\alpha_1 = 0$ esetre vonatkoztatva/

$$\bar{x}_2 = 0,74 \text{ csatorna} /4,9 \text{ a korrekciós lépésmagyságban számolva.}$$

$$\bar{x}_3 = 1,29 \text{ csatorna} /8,6 \quad - \text{ " } - \quad - \text{ " } - \quad - \text{ " } -$$

$$\bar{x}_4 = 2,69 \text{ csatorna} /17,9 \quad - \text{ " } - \quad - \text{ " } - \quad - \text{ " } -$$

jó egyezést mutatnak az elméletileg számított - a 4. és 5. ábrák görbéiből is nyerhető - értékekkel.

I r o d a l o m

- [1] Heath, R.C., Black, W., Cline, J.E.: Instrumental Requirement for High-resolution Gamma-ray Spectrometry Using Lithium-drifted Germanium Detectors. IEEE Trans NS.13. No.3. June 1966. p. 445.
- [2] Quittner P.: Aktivációs analitikai vizsgálatok reaktor neutronokkal. Kandidátusi értekezés 1967.
- [3] Comunetti, A.M.: A New Gain Stabilizing System for Scintillation Spectrometers. Nuclear Instruments and Methods. 37, 125-134 /1965/
- [4] Vajda F.: Cifrovaja sztabilizacija szpektra. IV. Szimposium po radioelektronike /25-28. 10, 1966/ Prága, 1967. 441-456.old.
- [5] Vajda F., Vajda J.: Digitális spektrumstabilizálás, Mérés és Automatika 15, 269-272 /1967/

Érkezett: 1968. jul. 9.
KFKI Közl. 16.évf. 5.szám, 1968.

SZUBSZTÖCHIOMETRIKUS ÉS CSOPORTOS ELVÁLASZTÁSOK FÉM-KELÁTOK EXTRAKCIÓJÁVAL

Irta: Elek Antal, Bogács János és Szabó Elek

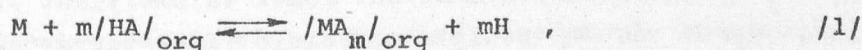
Összefoglalás

A szubsztöchiometria elvét felhasználva egy új elválasztási módszer kidolgozásával kapcsolatos megfontolásainkat közöljük.

A módszer elnevezése több fémnek teljes és egy bizonyos fémnek szubsztöchiometrikus egyidejű extrakciójára utal. Tárgyaljuk a módszer kidolgozásának szükségességét. Általános formulát vezetünk le az elválasztás szelektivitásának jellemzésére és a küszöb pH értékre.

A radiokémiai elválasztásokat igénylő aktivációs analízisben és az izotóphigitásos analízisben a szubsztöchiometrikus elv alkalmazása igen sok előnnyel jár [1, 2]. Legjelentősebb közülük az, hogy az elválasztást a korábban alkalmazott módszerekhez viszonyítva nagyobb szelektivitással és előre megszabott kitermeléssel lehet elvégezni.

A szubsztöchiometrikus folyadékextrakciós elválasztás feltételeinek levezetése Ruzicka és Stary nevéhez fűződik [1, 2]. Ők a következő egyenletből indultak ki:

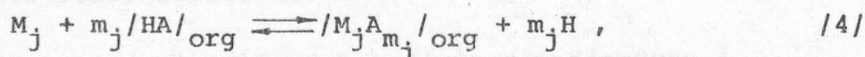
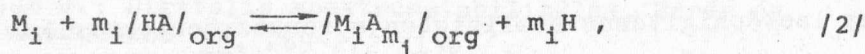


ahol az "org" jel a szerves fázist jelenti. Itt és a továbbiakban a töltéseket az egyszerűség kedvéért nem tüntetjük fel. A szerzők a komplexképző HA reagenst kisebb mennyiségben adagolták, mint amennyi a jelenlévő fém /M/ mennyiségének sztoichiometrikusan megfelelt volna. Levezettek egy összefüggést az elválasztás küszöb pH értékére azon feltétel alapján, hogy a szerves reagensnek több mint 99,9 %-a a komplex /MA_m/ képződésére használódik fel. A szelektivitás elméleti meghatározására szintén levezettek egy formulát.

Az ily módon végzett szubsztöchiometrikus elválasztás az aktivációs analízisben igen előnyösen alkalmazható a keresett elemeknek a matrixtól egyenként történő elkülönítésére. Azonban az egyenként történő

elkülönítésre sok esetben nincs szükség, mivel a kérdéses elemek gyakran egymás jelenlétében is meghatározhatók különböző módszerek segítségével, pl. jó felbontóképességű gamma-spektrométerek alkalmazásával, stb. Hasonló módon határozott meg Krivának munkatársaival rezet különböző anyagokban [3]. A réz-dietil-ditiokarbamátnak kloroformba történő szubsztöchiometrikus extrakciójakor szerves fázisba került a higany és az arany is, de azok nem zavarták a réz gamma-spektrum alapján történő meghatározását. Fordítva is igaz az állítás. A réz sem zavarja a vele együtt extrahálódott és nálánál nagyobb extrakciós állandóval rendelkező higany és arany gamma-spektrometriás azonosítását, és ezáltal lehetőség van mennyiségi meghatározásukra is. Az említett tulajdonságokkal rendelkező elemek valamely más elem szubsztöchiometrikus extrahálásával egyidőben történő mennyiségi elválasztására dolgoztuk ki eljárásunkat. Az elválasztás lényegéből fakadóan adtuk az eljárásnak a szubsztöchiometrikus és csoportos elválasztás nevet.

Tekintsük a következő egyensúlyi rendszert:



ahol $i = 1, \dots, a$ és M_i a gyakorlatilag teljes mértékben extrahálható fémek valamelyikét, M csak a részben extrahálható fémet, $j = 1, \dots, b$ és M_j az extrahálni nem kívánt fémek valamelyikét /beleértve a matrixot is/, m_i , m és m_j pedig a megfelelő fémek vegyértékét jelenti. HA , ill. A valamilyen kelátképzőt, ill. annak egyvegyértékű anionját jelenti.

A /2/, /3/ és /4/ reakciók extrakciós állandói a következők:

$$K_i = \frac{[M_i A_{m_i}]_{\text{org}} [H]^{m_i}}{[M_i] [HA]_{\text{org}}^{m_i}} , \quad /5/$$

$$K = \frac{[M A_m]_{\text{org}} [H]^m}{[M_b] [HA]_{\text{org}}^m} , \quad /6/$$

$$K_j = \frac{[M_j A_{m_j}]_{org} [H]^{m_j}}{[M_j] [HA]_{org}^{m_j}} \quad /7/$$

A további következtetések szempontjából tudni illik, hogy az extrakciós állandók kifejezésének jobb oldalán a $[H]$ -nak mindenhol egy és ugyanaz az érték tulajdonítandó, mivel egy és ugyanabban a rendszerben beálló egyensúlyokról van szó. Ugyanez az állítás érvényes a $[HA]_{org}$ értékét illetően is. Ha tehát az /5/, /6/ és /7/ kifejezéseket átrendezzük, a következőt kapjuk:

$$\frac{[H]}{[HA]_{org}} = \left(K_i \frac{[M_i]}{[M_i A_{m_i}]_{org}} \right)^{\frac{1}{m_i}} = \left(K \frac{[M]}{[MA]_{org}} \right)^{\frac{1}{m}} = \left(K_j \frac{[M_j]}{[M_j A_{m_j}]_{org}} \right)^{\frac{1}{m_j}} \quad /8/$$

A /8/ összefüggésből az a következtetés vonható le, hogy a /2/, /3/ és /4/ reakciókkal jellemzett rendszerben bármely fém extrakciós állandója és reciprok megoszlási hányadosa szorzatának az illető fém töltésének reciprokára emelt hatványa számszerűleg a $[H]/[HA]_{org}$ arány értékével egyenlő, másrészt az említett szorzatok megfelelő hatványai mindig egyenlők egymással, függetlenül attól, hogy a $[H]/[HA]_{org}$ arány milyen értékkel rendelkezik.

A szubsztöchiometrikus és csoportos elválasztáshoz a következő követelményeknek kell teljesülniük:

$$E_i \geq 99,9 \% \quad , \quad /9/$$

$$E = 10-90 \% \quad , \quad /10/$$

és attól függően, hogy az M_j fémek valamelyikének a jelenléte a szerves fázisban mennyire hat zavarólag a további mérések folyamán

$$E_j \leq 10^{-1}-10^{-4} \% \quad . \quad /11/$$

E_i , E és E_j az M_i , M és M_j fémek extrakciós fokát jelenti.

Felhasználva az

$$\frac{[M]}{[MA]_{org}} = \frac{100-E}{E} \cdot \frac{V_{org}}{V} \quad /12/$$

általános összefüggést, ahol V_{org} és V a szerves és a vizes fázisok térfogatát jelenti, a /9/, /10/ és /11/ követelmények figyelembevételével a /8/ kifejezést átrendezve megkapjuk az elválaszthatóság feltételét:

$$\left(10^{-3} K_i \frac{V_{\text{org}}}{V} \right)^{\frac{1}{m_i}} \geq \left(\frac{100-E}{E} K \frac{V_{\text{org}}}{V} \right)^{\frac{1}{m}} \geq \left(\frac{100-E_j}{E_j} K_j \frac{V_{\text{org}}}{V} \right)^{\frac{1}{m_j}}, \quad /13/$$

amely információt ad az elválasztás szelektivitásáról olyan esetekben is, amikor a jelenlévő fémek vegyértékei nem egyenlők egymással.

Ahhoz, hogy az M elem tényleg a kívánt E kihozattal extrahálódjon, a $[H]/[HA]_{\text{org}}$ viszonynak a következő képlet szerint számolható értékkel kellene egyenlőnek lennie:

$$\frac{[H]}{[HA]_{\text{org}}} = \left(\frac{100-E}{E} K \frac{V_{\text{org}}}{V} \right)^{\frac{1}{m}} \quad /14/$$

Azonban a $[H]/[HA]_{\text{org}}$ viszonynak a /14/ képlet által megkövetelt értéken való tartása fölöslegesen komplikálná az extrakció végrehajtását. Helyette Ruzickához és Staryhoz [1, 2] hasonlóan a pH küszöb értékére vezetünk le egy kifejezést, abból a követelményből kiindulva, hogy az adagolt kelátképző reagensnek 99,9 %-a az M_i és M fémek kelátjai képződésére használódik fel, vagyis

$$[HA]_{\text{org}} V_{\text{org}} \leq 0,001 c_{\text{HA}} V_{\text{org}} \quad /15/$$

A szükséges reagens mennyiséget a következő kifejezés adja meg:

$$c_{\text{HA}} V_{\text{org}} = \left(\sum_{i=1}^a m_i c_{M_i} + \frac{E m}{100} c_M \right) V \quad /16/$$

ahol c_{M_i} és c_M az extrahálendő fémek eredeti koncentrációját jelenti a vizes fázisban.

A /15/ és /16/ kifejezések figyelembevételével a /14/ képletet átrendezve a pH küszöbértékére a következőt kapjuk:

$$\text{pH} \geq -\frac{1}{m} \lg \left(\frac{100-E}{E} \cdot \frac{V_{\text{org}}}{V} \right) - \frac{1}{m} \lg K$$

$$- \lg \left[0,001 \left(\sum_{i=1}^a m_i c_{M_i} + \frac{E}{100} m c_M \right) \frac{V}{V_{\text{org}}} \right], \quad /17/$$

amely a Ruzicka és Sary [1, 2] által levezetett formulának egy általánosabb változata.

A /17/ képlet alapján számolt pH-nál csak abban az esetben végezhető el az extrakció, ha a szerves reagens disszociációja elhanyagolható, vagyis $\text{pH} \leq \text{p}K_{\text{HA}} + \lg P_{\text{HA}} + \lg (V_{\text{org}}/V)$, ahol K_{HA} és P_{HA} a szerves reagens disszociációs állandóját és megoszlási hányadosát jelenti.

A fém-kelátok extrakciós állandói és a /13/, /17/ kifejezések alapján előre megállapítható, hogy milyen fémekre, milyen pH érték fölött alkalmazható a szubsztöchiometrikus és csoportos elválasztás módszere. Ha a kiválasztott M_i , M és M_j fémek kielégítik a /13/ feltételt, akkor a /17/ kifejezés alapján számolt pH érték fölött történő extrakciókor a /9/, /10/ és /11/ követelmények teljesülni fognak.

I r o d a l o m

- [1] Ruzicka, I., Sary, I.: Atomic Energy Review, Vol. 2. No.4, Vienna 1964
- [2] Ruzicka, I., Sary, I.: Talanta 8, 228 /1961/
- [3] Krivánek, M., Kukula, F., Slunecko, I.: Talanta 12, 721 /1965/

Érkezett: 1968. aug. 6.

KFKI Közl. 16.évf. 5.szám, 1968.

GRAFIT PRIZMA ALKALMAZOTT NEUTRONFIZIKAI MÉRÉSEKHEZ

Irta: Deme Sándor, Makra Zsigmond, és Veres Zoltán^{*}/

Összefoglalás

Széles energiatartományban végzett neutrondozimetriai méréseink szükségessé tették olyan hitelesítő berendezés építését, mely alkalmas a termikus és epitermikus neutrondetektorok kalibrálására, a kisintenzitású neutronforrások /elsősorban fotoneutron források/ hozamának meghatározására, valamint a moderációs elven alapuló dózismérők széles energiaspektrumú neutronokkal történő ellenőrzésére. A leírt célra a rendelkezésre álló reaktortisztaságú grafitból a gyorsneutronok szabad uthosszához képest nagyméretű grafitprizmát építettünk.

Jelen közleményünkben leírjuk a prizma iránt támasztott követelményeket, az alkalmazott konstrukciót, és utalunk a felhasználás lehetőségeire.

Bevezetés

A neutrondozimetriában használt termikus neutrondetektorok, valamint a termikus neutronokra is érzékeny doziméterek közvetlen hitelesítése nagy nehézségekbe ütközik, különösen abban az esetben, ha a detektorok izotrop sugárzási térre vonatkozó érzékenységét kívánjuk meghatározni. Termikus neutron pontforrást utánozni lehet parafin, vagy polietilén gömbbe helyezett gyorsneutron-forrással [1], de ilyen megoldásnál a gyorsneutron-forrás hozamának legfeljebb 10-15 %-át kitevő termikus neutronhozammal lehet számolni, így a gyors neutronok zavaró hatása igen jelentős. Sok alkalmazásnál hátrány az a körülmény is, hogy a lassu neutronok spektruma - a kisméretű moderátor miatt - nem felel meg a Maxwell-eloszlásnak. Ilyen esetekben a termikus neutronok iránti érzékenység meghatározása a kadmiumviszony méréssel - különösen a nagy méretű detektoroknál - csak közelítő pontossággal végezhető el. A kisméretű detektorok, elsősorban az aktiváláson alapuló kalibrálására jól megfelel az NBS /National Bureau of Standards, USA/ által kidolgozott - két neutronforrást, valamint parafinmoderátort és homogenizáló grafitbetétet tartalmazó - összeállítás [2], de ez nem megfelelő a nagyméretű, egyes esetekben

^{*} Jelenleg az MTA Izotóp Intézete munkatársa.

30 cm-es átmérőt is elérő, moderációs elven alapuló doziméterek hitelesítésére.

A doziméterek keV-es tartományban végrehajtandó hitelesítéséhez jól megfelelnek az egy vagy több monoenergiás neutroncsoportot kibocsátó fotoneutron-források [3]. Ha ezeket a forrásokat kalibrálásra kívánjuk használni, akkor ismerni kell abszolút hozamukat. Az abszolút hozam csak nagyon durva közelítésben számítható, meghatározása a szokásos módszerrel mangánfürdő aktiválásával [4] a kis $/10^5$ neutron/s nagyságrendű forrásnozam következtében fellépő nagy statisztikus hiba miatt pontatlan. Az egyenletes érzékenységű fluxusmérő /long counter/ érzékenysége a termikus-0,5 MeV energiájú tartományban minegy 10-20 % energiafüggést mutat, ezért segítségével a fotoneutron források energiatartományában nem érhető el olyan pontosság, mint a gyors tartományban.

A széles energiatartományban alkalmazott neutrondoziméterek mért, illetve számított hatásfokának ellenőrzésére nagyon alkalmasak azok a neutronforrások, melyek a termikustól több MeV-es energiáig terjedő tartományban folytonos, ismert energiaeloszlású és emellett jól számítható abszolút intenzitású spektrumot bocsátanak ki.

Az előzőekben leírt feladatok mindegyikét sikerrel oldhatjuk meg a gyorsneutronok szabad uthosszánál lényegesen nagyobb méretű grafit-prizmával [5], amely lehetővé teszi a különböző neutronforrásoknak, valamint neutrondetektoroknak a prizmában, illetve az utóbbiaknak a prizma közelében való elhelyezését is. A mérési feladatok megoldásának módját közleményünk "Alkalmazások" részében ismertetjük.

A prizma konstrukciója

A prizma felépítéséhez szovjet gyártmányú reaktortisztaságú grafitot használtunk. E grafit főbb jellemzői a következők [6]:

Termikus neutron abszorpciós hatáskeresztmetszet	4,5 mbarn
Termikus neutron szórási hatáskeresztmetszet	4,8 barn
Sűrűség	1,65 g/cm ³
Nyomószilárdság	7 ... 10 kp/cm ² .

A grafit 200x200x600 mm-es élhosszuságú, $\pm 0,3$ mm-es pontossággal megmunkált tömbök formájában állt rendelkezésre. A prizma teljes méreteinek kiválasztásánál nem törekedtünk az irodalomban leírt 2135 x 2135 x 3050 mm-es méret [5] reprodukálására, mert esetünkben nem számítással meghatározott abszolút fluxus megvalósítása, vagy a grafit reaktorfizikai tulaj-

donságainak tanulmányozása volt az elsődleges cél, hanem az előzőkben ismertetett feladatok megoldása. Ugyanezen okból hagyhattuk el a prizma kadmiumborítását is, mely az eredeti kísérleteknél a termikus neutronok szempontjából a vákuummal megegyező határfeltételeket biztosította.

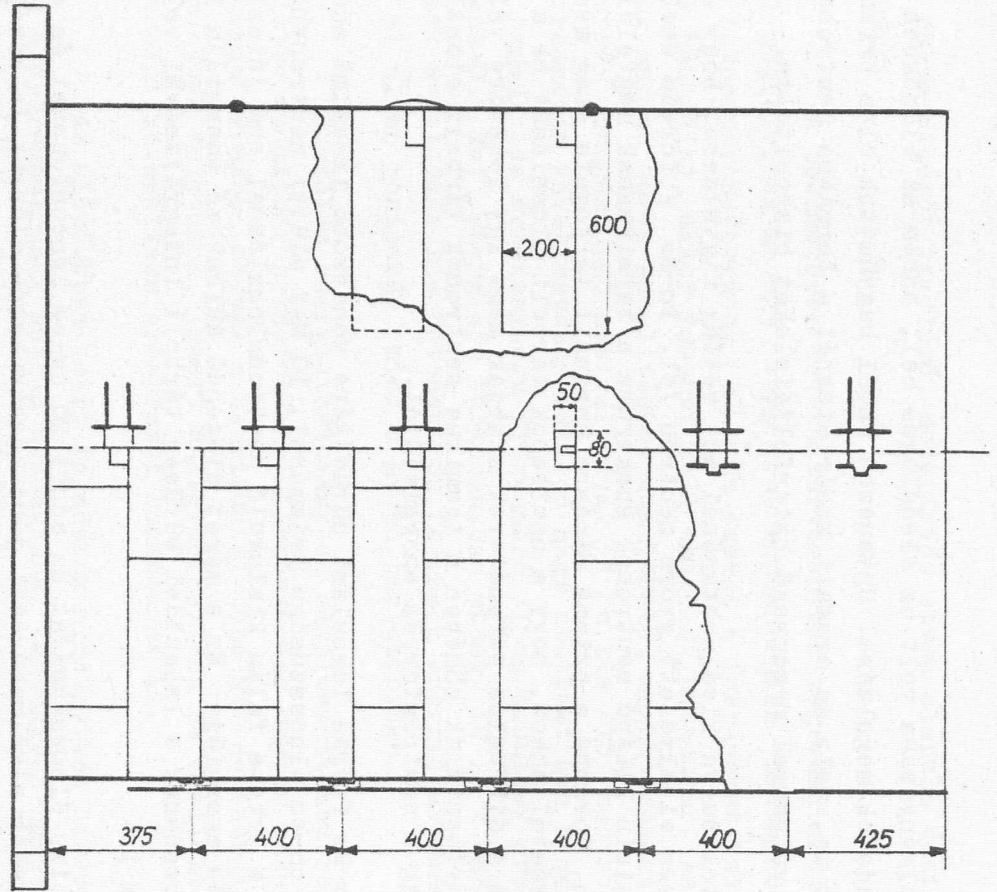
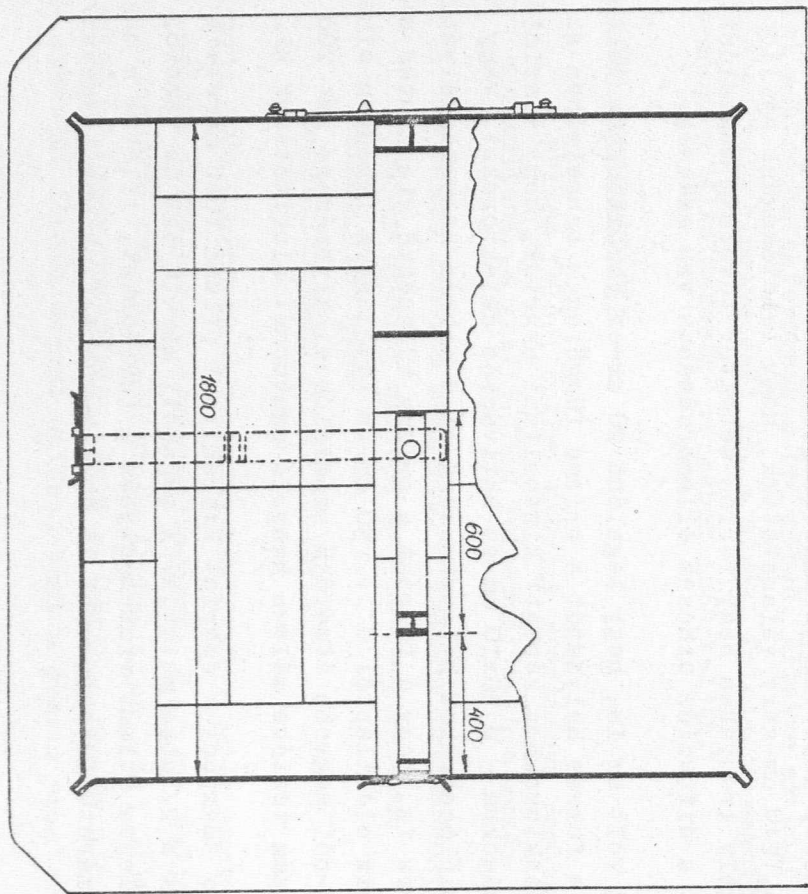
A méretek durva kiválasztásánál azt vettük figyelembe, hogy a prizma tengelyében elhelyezett gyors neutron /pl. Po-Be / forrás esetén a prizma oldalfalain kilépő neutronok spektruma a termikusnak megfelelő eloszlású legyen, továbbá a prizma mérésre használt térfogata elég messze essék a forrástól ahhoz, hogy a neutronok térbeli eloszlását ne a lassulási, hanem a diffúziós paraméterek szabják meg. Így lehetővé válik, hogy a prizma térfogatának zömében a termikus neutronok térbeli eloszlása csak kevésbé függ a neutronforrás energiájától.

A Ra- α -Be forrás lassulási sűrűségére vonatkozó irodalmi adatok alapján 150-200 cm-es élhosszuságú prizmánál, 10 MeV alatti neutronenergiákat tekintve a prizma falán kialakuló neutroneloszlásnál nem játszik szerepet a forrás energiája. Ez a méret elegendő különböző energiájú források relatív hozamának a lassulási sűrűség térbeli integrálásával való meghatározásához is.

Az alaplap élhosszuságát az adott 20 cm-es lépcsőfokozat és a páratlan számú hasáb alkalmazásával járó konstrukciós előnyök /a közép-vonalaknál tömbközép lesz/ figyelembevételével 180 cm-esre, míg a magasságot nagyobbra, 240 cm-esre választottuk, hogy lehetőségünk nyíljon legalább egy tengely irányában nagy forrás-detektor távolság megvalósítására. Erre főként a diffúziós uthossz ellenőrzéséhez van szükség.

Célunk volt az is, hogy legalább 20 cm-es fokozatokban változtatni lehessen a forrás helyzetét a prizma függőleges tengelyében az alaphoz és a detektorokhoz képest. Biztosítani akartuk, hogy - szintén 20 cm-es távolságokra - \emptyset 50x10 mm-es aktivációs detektorokat, vagy max. \emptyset 20 mm-es számlálócsöveket helyezhessünk el a prizma hossztengelyében. Szükség volt arra is, hogy a forrást a prizma különböző vízszintes síkjaiban valamelyik oldallaptól 0 ... 90 cm-es távolságra lehessen elhelyezni. A 20 mm-nél nagyobb átmérőjű számlálók elhelyezésére két 200 mm-es átmérőjű, a prizma testébe mélyen benyúló csatornát alakítottunk ki.

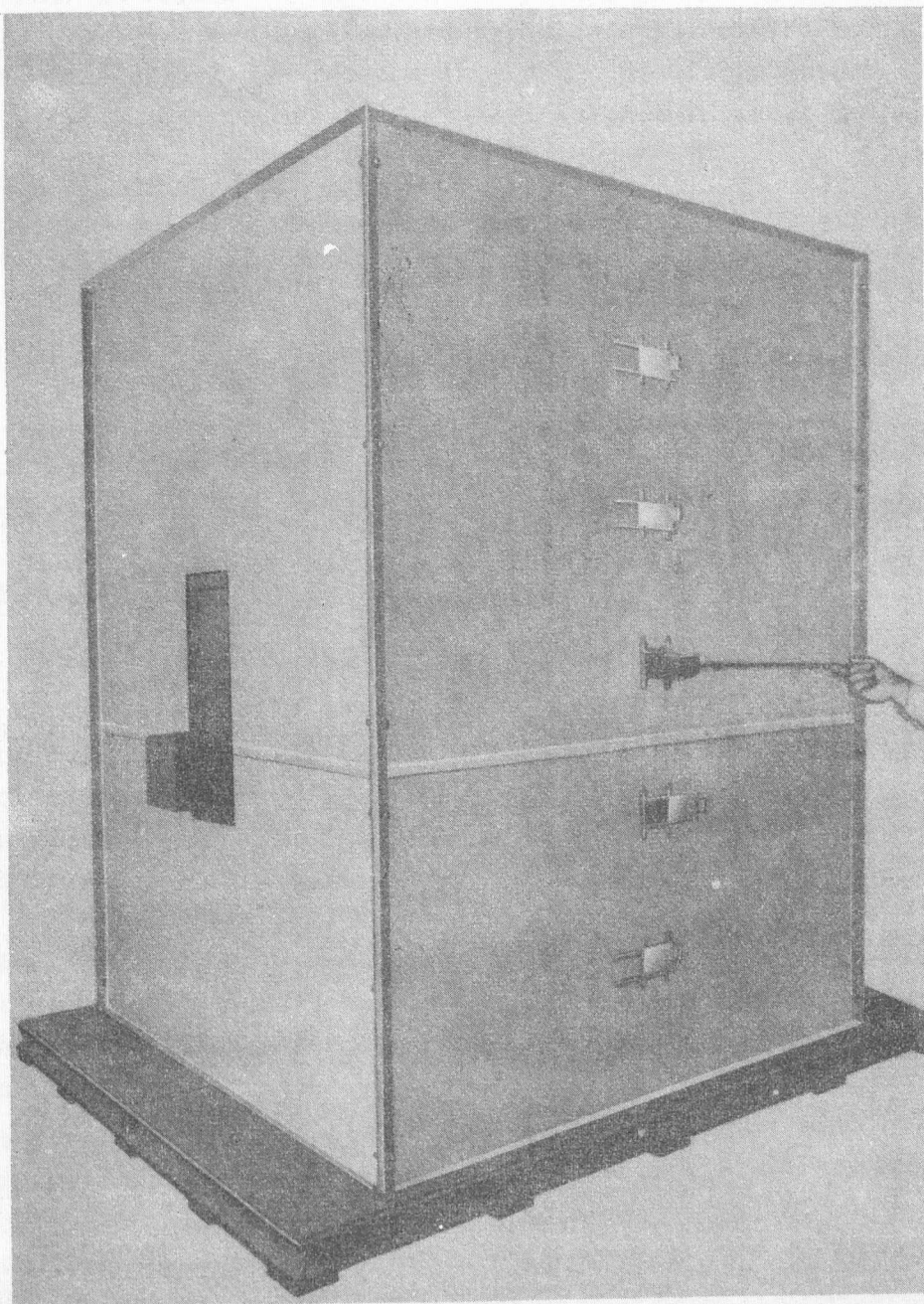
A fenti szempontok szerint kialakított prizma főbb méreteit az 1. ábra, nézetét a 2. ábra mutatja. A megadott méretű 324 db tömbből álló prizma függőleges szimmetriatengelyébe a forrásokat, illetve a megadott maximális méretű detektorokat 11 db kihúzható fiók segítségével le-



1. ábra

A grafitprizma . oldal- és felülnézeti rajza.

- ① alaplap, ② grafit tömbök ③ kihúzható fiókok,
 ④ kihúzható grafit tömbök, ⑤ ajtók, ⑥ alumínium-
 borítás



2. ábra

A prizma nézete. A kihuzható grafit tömbök a hornyaikba
illesztett acél ruddal mozgathatók

het elhelyezni. A fiókok és dugóik a prizma anyagával megegyező grafitból készültek, és semmilyen más anyagot nem tartalmaznak, kihuzásukat a grafitba vágott hornyok teszik lehetővé. A nagyméretű detektorok beméréséhez való két 200 x 200 x 600 mm-es grafit tömböt szintén ki lehet húzni a prizmából.

A prizma alapja hegesztett szögvas kereten elhelyezett simára megmunkált vaslap. Az egész prizmát alumíniumlemez borítás védi a mechanikus behatásoktól és a szennyeződéstől. A kihuzható fiókok nyílását eltolható ajtó takarja.

A tömbök gyári megmunkálása részünkre elegendően pontos volt. A fiókok és a dugók elkészítése forgácsolással történt. A burkolatot csavarok erősítik össze, így ez viszonylag könnyen bontható.

A prizma alkalmazásai

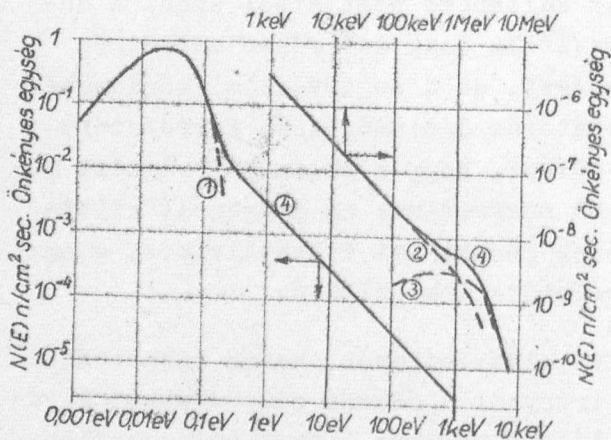
1. Termikus neutron-forrásként. A grafitprizma jól termalizált neutronok létrehozására alkalmas, ha belsejében gyorsneutron-forrást helyezünk el. Ha a gyorsneutron-forrás hozama 10^7 neutron/s nagyságrendű, akkor a prizma belsejében a forrástól számított 20...100 cm-es távolságban a termikus neutronok fluxusa $10^4 \dots 10^3$ neutron/cm².s. Kisebb fluxus a forrás-detektor távolság növelésével, vagy kisebb hozamu forrás alkalmazásával érhető el. Erre nagyméretű számlálócsövek bemérésénél lehet szükség. A prizma nemcsak a belsejébe, hanem a mellé helyezett termikus neutron detektorok bemérésére is alkalmazható. Ilyen esetben a prizma véges kiterjedésű síkforrásnak tekinthető. A középpontban elhelyezett 10^7 neutron/s hozamu forrásnál a felszínen 10^2 neutron/cm².s nagyságrendű fluxust kapunk. A fluxust aktivációs detektor /pl. arany/ abszolút aktivitásának mérésével határozhatjuk meg [7]. A bemérendő detektorra eső neutronfluxus a prizma felszínének különböző pontjaiból ered. A detektor irányérzékenységének figyelembevétele csak az erősen anizotróp érzékenységű detektoroknál okoz nehézséget, de a sugárvédelmi méréseknél leggyakrabban használt gömbalaku moderátoros dózismérőknél korrekcióra nincs szükség. További könnyebbséget jelent, hogy a prizmánál végzett mérések geometriai feltételei rendszerint megfelelnek az árnyékolt kritikus rendszerek közelében végzett mérések geometriai feltételeinek, s így mind a mérés, mind a hitelesítés korrekciója elkerülhető.

Amennyiben nem a prizma teljes oldallapjáról, hanem kisebb felületről - többé-kevésbé meghatározott irányból - érkező neutronokkal kívánunk dolgozni, a prizmára ablakkal ellátott kadmium lemezt helyezhetünk.

2. Neutronforrások kalibrálása. Mint ismeretes [5], a végtelen méretű moderátor közegben - ha az abszorpció elhanyagolható - a q lassítási sűrűség térfogati integrálja megegyezik a forráshozammal. A lassítási sűrűség meghatározása kadmiummal borított rezonanciadetektorral történhet.

A q abszolút értékének pontos meghatározása nehézségekbe ütközik, mert ehhez szükség van a hatáskeresztmetszet, valamint a fluxusdepressziós adatok pontos ismeretére, és a mérést az abszolút aktivitás meghatározásának hibája is terheli. Sokkal jobb eredményt érhetünk el a források relatív hozamának meghatározásával. Ehhez szükséges, hogy legyen egy más módszerrel standardizált forrásunk, melynek hozamát nagy pontossággal ismerjük. Ha a mérendő forrás energiaspektruma közelítőleg megegyezik az etalon forrásával, akkor adott forráshelyzetnél a forrástól elég távol $/L > 50 \text{ cm}/$ mért fluxusok viszonya megadja a források hozamának arányát is. Ha az energiaspektrumok jelentősen eltérnek /pl. a Ra- α -Be és az Sb- γ -Be források esetében/, akkor szükség van a q érték meghatározására a prizma több pontjában, de ebben az esetben csak a térfogati integrálok arányát kell ismerni, s így a mérést a q érték abszolút meghatározásának hibái nem terhelik. Ha a rezonancianeutronok szempontjából közel telítési vastagságu fóliákat és kis háttérű számlálót [8] alkalmazunk, akkor a 10^5 neutron/s hozamu fotoneutron források hozama is $\pm 5\%$ -os pontossággal meghatározható a prizma segítségével.

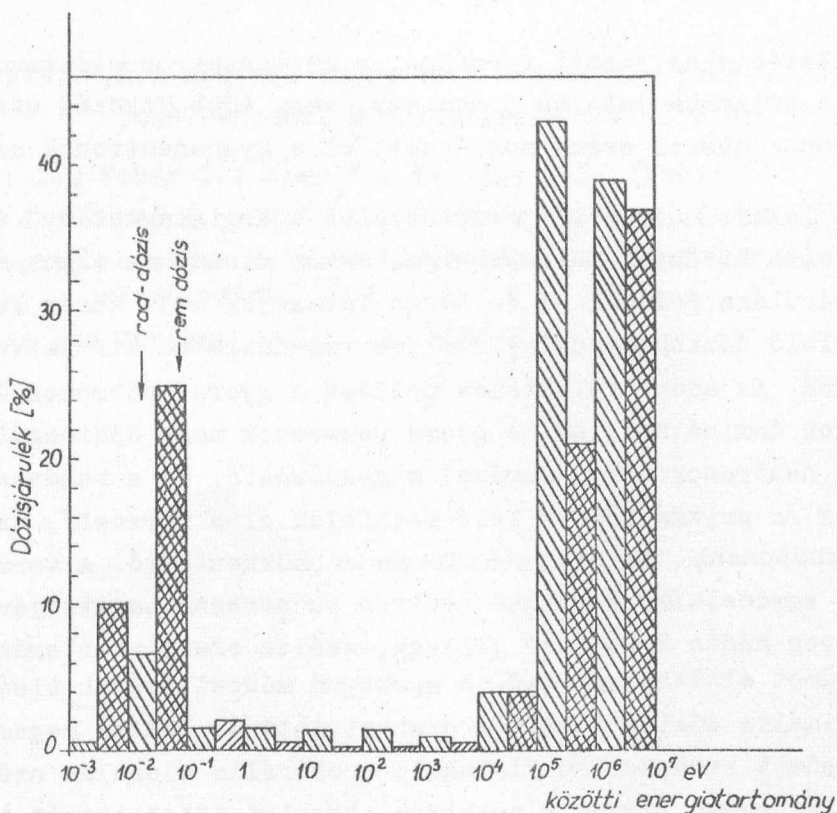
3. Széles energiatartományu hitelesítő forrásként. Ha gyengén abszorbeáló moderátort tartalmazó közegbe gyorsneutron-forrást helyezünk, akkor a moderátorban, vagy annak közelében a 3. ábrán látható spektrumtípus alakul ki. A spektrumot három összetevőre bonthatjuk. A termalizálódott neutronok Maxwell-eloszlásuak, /3. ábra ① jelű görbe/ a még nem termalizálódott, de szóródást szenvedett neutronok $1/E$ eloszlásuak ②



3. ábra

Moderátorban elhelyezett gyorsneutron-forrás hatására kialakuló spektrumtípus.

- ① Maxwell-spektrum,
- ② $1/E$ -spektrum,
- ③ forrás-spektrum
- ④ az előbbi három spektrum összege



4. ábra

Egy-egy energiadekadba eső neutronok dózishányada a 3. ábrán közölt spektrumnál többszörös ütközési rad dózisban /egyszer vonalkázott oszlopok/ és többszörös ütközési rem dózisban /keresztbe vonalkázott oszlopok/ kifejezve. /A dózisékszámítási tényezők a [9] irodalom alapján./

görbe), míg a nem szóródott neutronok spektruma $N_f(E)/\sigma(E)$, ahol $N_f(E)$ a forrás-spektrum, $\sigma(E)$ pedig a moderátor teljes hatáskeresztmetszete. Abban az esetben, ha $\sigma(E) = \text{konst.}$, a nem-szóródott neutronok spektruma megegyezik a forrás-spektrummal /③ görbe/. Az ábrán a teljes neutronspektrumot $N(E)$ -vel jelöltük /④ görbe/. Könnyű belátni, hogy az egyes spektrumkomponensek aránya attól függ, hogy a moderátor mely pontján helyezük el a forrást, és mely pontban vizsgáljuk a spektrumot. Vegyük azt az esetet, amikor a spektrumkomponenseket a moderátoron kívül, de annak közelében kívánjuk megbecsülni. Ha a forrást a prizma középpontjában helyezük el, akkor a termikus neutronok fognak dominálni elhanyagolhatóan kis $1/E$ és gyors neutron komponenssel. Ha a forrást a felszínhez közelítjük, akkor számottevően nem változó termikus komponens mellett a másik két komponens fog erősödni, határesetben,

a prizma felületén elhelyezett forrásnál, a gyorsneutron-spektrum fog dominálni- míg a prizmába jutó és onnan egy, vagy több ütközés után visszaszóródó neutronok összes száma nem érheti el a gyorsneutronok számát.

Ha a leírt, moderált forrást széles energiatartományu doziméterek kalibrálására kívánjuk felhasználni, akkor minket az egyes energiacsoportok dóziszjáruléka érdekel. A 4. ábrán láthatjuk a 3. ábrán közölt spektrumnak megfelelő dózishányadokat rem- és rad-dózisban kifejezve egy-egy energia dekádra. Az adott feltételek mellett a gyors neutronok és a termikus neutronok dominálnak, ami a gyors neutronok nagy dózisegységértékével és a termikus neutronok nagy számával magyarázható. Ha a rendszert erősebben moderáljuk /a prizma közepe felé mozdítjuk el a forrást/, akkor a gyorsneutron-komponens szinte tetszőlegesen csökkenthető. A termikus komponenszel ezzel egyidejűleg termikus neutron abszorbens segítségével szűrhetjük ki. Ilyen módon különböző jellegű, széles energiatartományt átfogó neutronspektrumot állíthatunk elő. A spektrum módosításának elsősorban a szükséges minimális dóziszintenzitás szabhat határt. Fontos megemlíteni azt, hogy az adott rendszerben kialakuló spektrális eloszlás számítógéppel jól meghatározható [10], s a spektrum abszolút intenzitását is kiszámíthatjuk, ha ismerjük a gyorsneutron-forrás erősségét.

A felsorolt alkalmazási lehetőségek elsősorban a sugárvédelmi területet érintették, de a prizma emellett reaktorfizikai méréseknél is felhasználható.

Végezetül köszönetet mondunk Háber Gyulának a prizma részletrajzainak elkészítéséért és a MÜKÜ dolgozóinak a prizma felépítéséért.

I r o d a l o m

- [1] Васильев и др.: Исследование источника тепловых нейтронов. Гос.Ком. Сов.Мин. СССР по исполъз. ат.эн. Москва, 1962.
- [2] Murphey, W.M., Chin, J.: Neutron Dosimetry, Vol. II. 513. IAEA, Bécs 1963.
- [3] Hanson, A.O., Marion, J.B., Fowler, J.L.: Fast Neutron Physics I. Intersci. Publ., New York, 1960. könyvében
- [4] Andrási A., Deme S., Nagy J.: KFKI Közl., 14, 267 /1966/
- [5] Hughes, D.J.: Pile Neutron Research. Addison-Wesley, Cambridge /Mass/, 1953. 80.old.

- [6] Федоров, Н.Д.: Краткий справочник инженера - физика.
Госатомиздат. Москва, 1961. стр. 120
- [7] Dalsi I., Fehér I.: Magy.Fiz.F., 11, 285, /1963/
- [8] Biró J., Fehér I., Szabó L., Szamosi Gy.: Magy.Kém.F., 71, 533 /1965/
- [9] Protection against Neutron Radiation. NBS Handbook 63.
Washington, 1957.
- [10] Vértes P.: Nukleonik, 10, 148 /1967/

Érkezett: 1968. jun. 3.

KFKI Közl., 16.évf. 5.szám, 1968.

